# UNIVERSIDAD NACIONAL AGRARIA DE LA SELVA FACULTAD DE RECURSOS NATURALES RENOVABLES ESCUELA PROFESIONAL DE INGENIERIA AMBIENTAL



# MICROORGANISMOS PRESENTES Y SU CARACTERIZACIÓN AL BIOL ELABORADO DE VISCERAS DE *Oncorhynchus mykiis* J.J.W. "TRUCHA ARCOÍRIS" EN SAN PEDRO DE CARPISH – HUÁNUCO

#### Tesis

Para optar el título de:

**INGENIERO AMBIENTAL** 

Presentado por:

**LEONARDO JAMES CONCHA OLIVARES** 

TINGO MARÍA – PERÚ

2019



#### UNIVERSIDAD NACIONAL AGRARIA DE LA SELVA Tingo Maria - Perù



# FACULTAD DE RECURSOS NATURALES RENOVABLES

# ACTA DE SUSTENTACIÓN DE TESIS

Los que suscriben, Miembros del Jurado de Tesis, reunidos con fecha 03 de Enero de 2019, a horas 8:10 a.m. en la Sala de Sesiones del Departamento Académico de Ciencias Ambientales de la Facultad de Recursos Naturales Renovables, para calificar la Tesis titulada:

"MICROORGANISMOS PRESENTES Y SU CARACTERIZACIÓN AL BIOL ELABORADO DE VISCERAS DE Oncorhynchus myklis J.J.W. "TRUCHA ARCOÍRIS" EN SAN PEDRO DE CARPISH - HUÁNUCO"

Presentado por el Bachiller, CONCHA OLIVARES, Leonardo James después de haber escuchado la sustentación y las respuestas a las interrogantes formuladas por el Jurado, se declara APROBADA con el calificativo de "MUY BUENO"

En consecuencia, el sustentante queda apto para optar el Titulo de INGENIERO AMBIENTAL, que será aprobado por el Consejo de Facultad, tramitándolo al Consejo Universitario para la otorgación del Título correspondiente.

Tingo María, 19 de Febrero de 2019

Bigo. MSc. JOSE KALIÓN GUERRA L

PRESIDENTE

Dr. LUIS EDUARDO ORÉ CIERTO

VOCAL

VOCAL

BIGO, CESAR AUGUSTO GOZME SULCA ING JUAN PABLO RENGIFO TRIGOZO

ASESOR

#### **DEDICATORIA**

A Dios, por ser mi apoyo y fortaleza, quien me permitió cumplir una de mis metas anheladas.

A mis queridos padres, James y María, quienes me apoyaron de forma incondicional y encaminaron hacia el logro de mi carrera profesional ya que sin sus esfuerzos no hubiera logrado mis objetivos.

A un gran amigo Martin Diaz, quien me apoyó cuando estaba en una etapa de mi vida muy difícil y me dio la fuerza necesaria para seguir adelante.

A mis queridos hermanos, Carlos y Roberto, puesto que son el motivo de seguir superándome cada día.

A mis tios y primos: Gandhy, Carmen,
Jaime, Marleny, Nancy, Carola,
Marlene, Miguel, Nancy, Moisés,
David, Abraham y Katherine quienes
fueron mi soporte emocional en
momentos muy difíciles en mi vida.

#### **AGRADECIMIENTO**

- A Dios, por concederme una bendición más en la vida, permitiendo culminar mi carrera profesional y brindándome esperanza en los momentos difíciles.
- A mi alma Mater Universidad Nacional Agraria de la Selva Facultad de Recursos Naturales Renovables y plana docente, por la contribución durante mi formación como profesional.
- A la ONG Naturaleza y Cultura sede Huánuco quienes me dieron las facilidades para poder ejecutar la tesis planteada.
- A los pobladores de San Pedro de Carpish por el apoyo incondicional para ejecutar los estudios de la tesis en su área de jurisdicción.
- Al Ing. Roberto La Rosa Robles, Especialista en agricultura sostenible de la ONG Naturaleza y Cultura; por el apoyo intelectual que permitió el desarrollo y la culminación de este trabajo.
- Al Ing. Juan Pablo Rengifo Trigozo, asesor; por su tiempo, exigencia y confianza para poder culminar el presente trabajo además de influir en el proceso de m formación como profesional.
- Al Ing. Richard Sías Rodríguez, por el apoyo incondicional de sus conocimientos y general aportes valiosos en la presente tesis.
- A mis amigos de la universidad, agradecido por su apoyo, cariño, experiencias compartidas a lo largo de estos años de formación.

## **ÍNDICE GENERAL**

			Pág	gina				
l.	INTE	RODUC	CIÓN	13				
II.	REVISIÓN DE LITERATURA							
	2.1.	Antece	edentes investigativos	15				
	2.2.	Marco	teórico	17				
		2.2.1.	Generalidades de la trucha arcoíris	17				
		2.2.2.	Taxonomía de la trucha arcoíris	18				
		2.2.3.	Producción de trucha a nivel nacional	18				
	2.3.	Contan	ninación ambiental	21				
		2.3.1.	El medio ambiente	21				
		2.3.2.	Tipos de contaminantes	21				
	2.4.	Agricul	tura orgánica	24				
		2.4.1.	Planteamiento de la agricultura orgánica	25				
		2.4.2.	Principios de la producción orgánica	25				
		2.4.3.	Ventajas de la agricultura orgánica	26				
		2.4.4.	Limitantes de la agricultura orgánica	27				
	2.5.	Fertiliz	ación orgánica	27				
		2.5.1.	Abonos orgánicos	27				
		2.5.2.	Clasificación de los abonos orgánicos	28				
	2.6.	El biol.		28				
		2.6.1.	Elaboración de biol	29				
		2.6.2.	Ingredientes para la elaboración del biol	29				
		2.6.3.	Equipos para la elaboración de biol	31				

		2.6.4.	Procedimiento para elaborar biol	31
		2.6.5.	Factores que intervienen en la formación de biol	31
		2.6.6.	Funciones del biol	34
		2.6.7.	Ventajas del biol	34
	2.7.	Microoi	rganismos	35
	2.8.	Macror	nutrientes	37
		2.8.1.	Nitrógeno	38
		2.8.2.	Fósforo	38
		2.8.3.	Sodio	39
		2.8.4.	Potasio	39
		2.8.5.	Calcio	40
		2.8.6.	Magnesio	40
		2.8.7.	Cobre	40
		2.8.8.	Hierro	41
		2.8.9.	Manganeso	41
		2.8.10.	Zinc	42
III.	MAT	ERIALE	S Y MÉTODOS	43
	3.1.	Ubicac	ión y descripción del área de estudio	43
		3.1.1.	Lugar de ejecución	43
		3.1.2.	Descripción del área	44
	3.2.	Materia	les y equipos	47
		3.2.1.	Materiales	47
		3.2.2.	Equipos	47
	3.3.	Metodo	······································	47

	3.3.1.	Identificación y cuantificación de microorganismos	49
	3.3.2.	Determinación de características fisicoquímicas del bio	ol 55
	3.3.3.	Determinación de costos	57
IV.	RESULTAD	os	58
V.	DISCUSIÓN	L	91
VI.	CONCLUSIO	ŃΝά	93
VII.	RECOMEN	DACIONES	94
VIII.	ABSTRACT.		95
IX.	REFERENC	IA BIBLIOGRÁFICAS	96
ANEXO	)		100

## **ÍNDICE DE CUADROS**

Cuadro	Págir	าล
1.	Clasificación taxonómica de la trucha arcoíris1	8
2.	Cosecha de recursos hidrobiológicos procedentes de la activida	ad
	acuicultura, durante los años 2007 – 2014 (TM)1	9
3.	Producción nacional de truchas (TM) por regiones, durante los año	os
	2008 – 20142	20
4.	Especie y agentes activos que responden contra actividade	es
	antagónicas en los cultivos3	36
5.	Dosis de vísceras	48
6.	Tratamiento en estudio4	19
7.	Métodos empleados en el análisis de nutrientes al biol5	6
8.	Análisis de Varianza para un diseño completamente al azar5	57
9.	Microorganismos identificados en el biol	58
10.	Cuantificación de microorganismos identificados en el biol	58
11.	Coeficiente de variación del contenido de base húmeda de nitrógeno.	32
12.	Análisis de varianza base húmeda de nitrógeno6	33
13.	Prueba de Tukey para el contenido de base húmeda de nitrógeno6	33
14.	Coeficiente de variación del contenido de base seca de nitrógeno6	5
15.	Análisis de varianza base seca de nitrógeno6	6
16.	Prueba de Tukey para el contenido de base seca de nitrógeno6	36
17.	Coeficiente de variación del contenido de fósforo	38
18.	Análisis de varianza del fósforo6	39
19	Coeficiente de variación del contenido de calcio 7	<b>7</b> 0

20.	Análisis de varianza del calcio	71
21.	Coeficiente de variación del contenido de potasio	72
22.	Análisis de varianza del potasio	.73
23.	Coeficiente de variación del contenido de sodio	74
24.	Análisis de varianza del sodio	75
25.	Prueba de Tukey para el contenido de sodio	75
26.	Coeficiente de variación del contenido de magnesio	77
27.	Análisis de varianza del magnesio	78
28.	Coeficiente de variación del contenido de cobre	79
29.	Análisis de varianza del cobre	.80
30.	Prueba de Tukey para el contenido de cobre	80
31.	Coeficiente de variación del contenido de hierro	82
32.	Análisis de varianza del hierro	83
33.	Coeficiente de variación del contenido de zinc	.84
34.	Análisis de varianza del zinc	.85
35.	Prueba de Tukey para el contenido de zinc	.85
36.	Coeficiente de variación del contenido de manganeso	87
37.	Análisis de varianza del manganeso	88
38.	Prueba de Tukey para el contenido de manganeso	88
39.	Interpretación de los resultados en el biol	.89
40.	Presupuesto para la elaboración del mejor biol	90
41.	Control de temperatura en el proceso de elaboración del biol	103
42.	Control de pH en el proceso de elaboración del biol	104
43.	Análisis fisicoquímico del biol (T0 = estiércol de bovino)	105

44.	Análisis fisicoquímico del biol (T <sub>1</sub> = viceras de trucha al 21.42%)105
45.	Análisis fisicoquímico del biol (T <sub>2</sub> = viceras de trucha al 30%)106
46.	Análisis fisicoquímico del biol (T <sub>1</sub> = viceras de trucha al 42.85%)106
47.	Análisis microbiológico del biol T <sub>0</sub> R <sub>1</sub> 107
48.	Análisis microbiológico del biol T <sub>0</sub> R <sub>2</sub> 108
49.	Análisis microbiológico del biol T <sub>0</sub> R <sub>3</sub> 109
50.	Análisis microbiológico del biol T <sub>1</sub> R <sub>1</sub> 110
51.	Análisis microbiológico del biol T <sub>1</sub> R <sub>2</sub> 111
52.	Análisis microbiológico del biol T <sub>1</sub> R <sub>3</sub> 112
53.	Análisis microbiológico del biol T <sub>2</sub> R <sub>1</sub> 113
54.	Análisis microbiológico del biol T <sub>2</sub> R <sub>2</sub> ,114
55.	Análisis microbiológico del biol T <sub>2</sub> R <sub>3</sub> 115
56.	Análisis microbiológico del biol T <sub>3</sub> R <sub>1</sub> 116
57.	Análisis microbiológico del biol T <sub>3</sub> R <sub>2</sub> 117
58.	Análisis microbiológico del biol T <sub>3</sub> R <sub>3</sub> 118
59.	Aislamiento e identificación de microorganismos en el biol119
60.	Precios y cantidades de recursos requeridos120
61.	Análisis de precios unitarios121

# ÍNDICE DE FIGURAS

Figura	Página
1.	Ubicación política de San Pedro de Carpish43
2.	Variación de temperatura (°C) en los tratamientos59
3.	Variación de pH en los tratamientos60
4.	Base húmeda del nitrógeno de los tratamientos en el biol61
5.	Base húmeda del nitrógeno de los tratamientos y repeticiones de
	biol62
6.	Porcentaje de base seca del nitrógeno de los tratamientos en el biol64
7.	Base seca del nitrógeno de los tratamientos y repeticiones del biol65
8.	Cantidad de fósforo en los bioles67
9.	Cantidad de fósforo en los tratamientos y repeticiones en el biol68
10.	Cantidad de calcio en los tratamientos en el biol69
11.	Cantidad de calcio en los tratamientos y repeticiones en el biol70
12.	Cantidad de potasio en los bioles71
13.	Cantidad de potasio en los tratamientos y repeticiones en el biol72
14.	Cantidad de sodio en los bioles73
15.	Cantidad de sodio en los tratamientos y repeticiones en el biol74
16.	Cantidad de magnesio en los bioles76
17.	Cantidad de magnesio en los tratamientos y repeticiones en el biol77
18.	Cantidad de cobre en los bioles78
19.	Cantidad de cobre en los tratamientos y repeticiones en el biol79
20.	Cantidad de hierro en los bioles81
21.	Contenido de hierro en los tratamientos y repeticiones en el biol82

22.	Cantidad de zinc en los bioles83
23.	Contenido de zinc en los tratamientos y repeticiones en el biol84
24.	Cantidad de manganeso en los bioles86
25.	Contenido de manganeso en los tratamientos y repeticiones en el
	biol
26.	Recolección de vísceras de truchas de los criaderos piscícolas de San
	Pedro de Carpish121
27.	Instalación de los biodigestores en el local comunal de San Pedro de
	Carpish121
28.	Instalación de los biodigestores con los tratamientos en evaluación en
	el local comunal de San Pedro de Carpish122
29.	Monitoreo del pH en los distintos tratamientos en evaluación122
30.	Monitoreo de temperatura en los distintos tratamientos en
	evaluación123
31.	Obtención de muestras para los análisis de microorganismos y
	nutrientes123
32.	Análisis de microbiológico (Coliformes totales)124
33.	Análisis de microbiológico (Microorganismos aerobios viables)124

#### RESUMEN

Se elaboró un abono orgánico líquido fermentado (biol), a partir de vísceras de Oncorhynchus mykiis trucha arcoíris en San Pedro de Carpish, provincia y región Huánuco con la finalidad de contribuir al uso del fertilizante orgánico en la agricultura y minimiza la problemática ambiental. La investigación se inició con la recolección de las materiales que se sometió a un periodo de descomposición anaerobia durante un tiempo de noventa días. Al concluir el proceso de fermentación del biol se procedió a identificar y caracterizarr los microorganismos presentes, determinar los parámetros fisicoquímicos y el costo de producción por litro del mejor tratamiento. Para la medición estadística de las variables en estudio se experimentó tres tratamientos y un testigo con tres repeticiones cada uno. Se adecuó el área del lugar de investigación para evitar las interferencias de variables externas y el uso de un diseño de bloques completamente al azar. El tratamiento elaborado a partir de 42.85% de vísceras de trucha arcoíris con 42.85% de agua y microorganismos eficientes del bosque de San Pedro de Carpish fue identificado como el mejor tratamiento con presencia de Bacillus sp., Staphylococcus aureus, Actinomyces sp., Aspergillus sp. y Penincilium sp.; una alta calidad nutricional, un pH neutro de 6.6 y el costo por litro de S/.11.00 nuevo soles.

Palabras claves: Biol, anaerobio, víscera de trucha, microorganismo, nutrientes.

#### I. INTRODUCCIÓN

El uso indiscriminado de agroquímicos, provoca un decrecimiento en la fertilidad de los suelos disminuye su carga bacteriana, e interfiere en el aprovechamiento de nutrientes de forma natural lo que obliga a que la planta los absorba forzosamente causando un severo problema de contaminación. Sin embargo, el uso de tecnologías apropiadas permite reducir el riesgo que ocasiona dicha contaminación, una de ellas es la elaboración de abonos orgánicos, para ello se utilizan desperdicios y materiales biodegradables con la finalidad de transformarlos en productos que se devuelven a la naturaleza. En los últimos años, los consumidores prefieren productos sin trazas de agroquímicos, por lo que se ha incorporado al proceso de producción agrícola, denominadas fitoreguladores, como el biol, que tiene como fin de mejorar la producción y calidad de las cosechas y que además no contamina el ambiente.

Las actividades piscícolas reciben una gran variedad de impactos ambientales, en San Pedro de Carpish no es la excepción ya que es evidente observar una inadecuada eliminación de estos residuos producidos por el cultivo de trucha arcoíris. Las vísceras procedentes de esta explotación son utilizadas como fuente de alimentación de animales menores o en su mayoría son arrojadas a los riachuelos existentes, lo que afecta directamente la calidad del agua, e incide en el desarrollo de plagas y enfermedades que producen una grave contaminación ambiental.

La investigación se desarrolló como una necesidad de aprovechar las vísceras resultantes del cultivo de trucha arcoíris de los criaderos existentes en San Pedro de Carpish, de ello se beneficiarán los productores piscícolas y agrícolas del sector disminuyendo el riesgo de contaminación ambiental ya que es una alternativa que propone la elaboración del biol para general impacto ambiental positivo a fin de erradicar, casi en su totalidad el uso inadecuado de los residuos procedentes de la explotación piscícola y a su vez reduciendo la utilización de fertilizantes sintéticos, ante esta problemática se formuló la siguiente interrogante ¿se cuantificará y caracterizará los microorganismos presentes al biol elaborado de vísceras de trucha arcoíris en San Pedro de Carpish?, planteándose para ello la hipótesis: Se encontrará bacterias y hongos al biol elaborado de vísceras de *Oncorhynchus mykiis* "trucha arcoíris" en San Pedro de Carpish. En base a lo propuesto se formulan los objetivos:

#### 2.1. Objetivo General

Realizar la identificación de microorganismos presentes y su caracterización al biol elaborado de vísceras de *Oncorhynchus mykiis* J.J.W. "trucha arcoíris" en San Pedro de Carpish Región Huánuco.

#### 2.2. Objetivos Específicos

- Identificar y cuantificar los microorganismos (bacterias y fungi) existentes en el biol.
  - Determinar las características fisicoquímicas del biol
  - Determinar el costo de producción del biol de mejor calidad.

#### II. REVISIÓN LITERARIA

#### 2.1. Antecedentes investigativos

KATIUSKA (2005), menciona que realizó la evaluación de abonos orgánicos y biofertilizantes líquidos para el desarrollo de plántulas de tomate (*Lycopersicon esculentum*) como alternativa a la fertilización sintética. Los resultados experimentales mostraron que los biofertilizantes evaluados no ejercieron un efecto determinante sobre el crecimiento de las plántulas, sin embargo los abonos orgánicos, desde el punto de vista económico, muestran que el costo de producción es menor si lo comparamos con un sustrato comercial agroquímicos.

GÓMEZ y TOVAR (2008), mencionan que investigaron sobre la elaboración de un abono orgánico fermentado a partir de residuos de flores (pétalos de rosa), donde se concluyó que la búsqueda de alternativas para utilización de subproductos de diferentes explotaciones puede tener resultados favorables, en cuanto a la calidad nutricional del abono.

BASANTES (2009), menciona que estudió la elaboración de dos tipos de abono y su aplicación en el cultivo de brócoli, en la que se pudo determinar que la mejor formulación para obtener un abono con buenas características fisicoquímicas es la formulación en la que interviene 50% de estiércol, 30% de harina de sangre, 10% de roca fosfórica, 10% de ceniza, humus, melaza, leche, alfalfa, levadura y agua.

DIREPRO (2015), menciona que ha incursionado en la conformación de brigadas que se dedicarán al reciclamiento de vísceras de pescado en Lambayeque, a fin de evitar la contaminación ambiental, para lo cual se inició con el desarrollo de un proceso que convierte las vísceras de pescado en abono orgánico compost. Este abono, denominado científicamente ictiocompost, contiene una serie de nutrientes como calcio, magnesio, nitrógeno y otros elementos que renuevan la calidad de las tierras de cultivo.

INIA (2008), menciona que los agricultores adoptaron rápidamente la tecnología del biol porque los insumos necesarios están disponibles en sus comunidades y pueden preparar el biol con los insumos que disponen ya que el biol ayuda a mejorar el rendimiento y tolerar las plagas, enfermedades, granizadas y heladas que afectan a los cultivos en las comunidades.

ALVAREZ (2010), menciona que desarrolló un biol para aplicar a la biodiversidad de papas andinas en comunidades alto andinas gracias a la ejecución de los proyectos "Manejo integrado de recursos naturales de alta montaña e innovaciones tecnológicas y mercados diferenciados para producción de papas nativas". Estos proyectos apuntan a que familias campesinas de comunidades aisladas logren un buen manejo de sus recursos naturales. Dicha iniciativa sirve a técnicos y productores agropecuarios como material de capacitación y consulta en temas relacionados a la elaboración y producción de biol.

NOREÑA (2017), menciona que realizó una investigación buscando reutilizar los residuos pecuarios y las aguas residuales; para la producción de biol utilizando biodigestores de tipo semicontinuo. El objetivo principal fue

evaluar los parámetros físicos y químicos del biol a los 30, 60 y 90 días; como resultado de la interacción del estiércol de cuy (*Cavia porcellus*) de la granja Montero y del agua residual del camal municipal de Huánuco, mediante biodigestores de tipo semi continuo.

AGROSCIENCE (2014), menciona que el biol Calcio - Boro previene y corrige problemas de firmeza integridad y elasticidad en los tejidos jóvenes de los frutos tubérculos y plantas en desarrollo disminuye la evapotranspiración de aquellos tejidos en las fases críticas de su formación. Forman tejidos firmes por formación de pectados de calcio y la fijación de fenoles en la pared mediante el boro los cuales dan lugar a las coloraciones, formaciones, ceras y brillos de la mayoría de los frutos y resistencia de tejidos. El costo por litro es veinte (20) nuevo soles

2.2. Marco teórico

#### 2.2.1. Generalidades de la trucha arcoíris

BLANCO (1984), menciona que son peces de aguas frías, pueden subsistir a temperaturas de 25 °C y con límites inferiores próximos al punto de congelación del agua, desarrollándose óptimamente a 15 °C, óptima para su crecimiento y engorde; los cambios extremos en la temperatura no son convenientes, ya que influye en su actividad metabólica y su reproducción óptima.

HUET (1983), menciona que la trucha arcoíris presenta las siguientes condiciones favorables para dedicarla a la crianza artificial: es adaptada a ambientes confinados, acepta la alimentación artificial y es un buen

convertidor, son resistente al manipuleo y a las enfermedades, se reproduce artificialmente en cautiverio asegurando la disponibilidad de alevinos, tiene un alto valor comercial y buen mercado y poseen un valor proteico necesario para el desarrollo del ser humano.

#### 2.2.2. Taxonomía de la trucha arcoíris

SMITH y STERLEY (1989), menciona que incluyen a la trucha arcoíris en la siguiente clasificación taxonómica propuesta por Johann Julius Walbaum en el año 1892(cuadro 1).

Cuadro 1. Clasificación taxonómica de la trucha arcoíris.

Reino	Animal
Phylum	Chordata
Clase	Osteichtyes
Orden	Salmoniformes
Familia	Salmonidae
Género	Oncorchynchus
Especie	Oncorhynchus mykiss (Walbaum 1892)
Nombre Común	Trucha arcoíris

Fuente: SMITH y STERLEY (1989).

#### 2.2.3. Producción de trucha a nivel nacional

MENDOZA y PALOMINO (2004), manifiestan que la truchicultura en el departamento de Puno se viene desarrollándose con mayor incidencia en

la zona circunlacustre, desde 1983 se ha impulsado la crianza de truchas bajo las modalidades de jaulas flotantes, cercos de confinamiento y piscigranjas, de los cuales las primeras son la que vienen logrando una producción creciente en los últimos años.

MINISTERIO DE LA PRODUCCIÓN (2016), afirmó que la mayor actividad acuícola a nivel continental, es la trucha en relación a las demás especies que actualmente se vienen cultivando a nivel intensivo llegando a 32527 toneladas en el año 2014, en segundo lugar, se tiene la crianza de tilapia y camarón en la región Piura y la crianza de gamitana en las regiones Loreto y San Martín (cuadro 2).

Cuadro 2. Cosecha de recursos hidrobiológicos procedentes de la actividad de acuicultura, durante los años 2007 – 2014 (TM)

Recursos				Д	เกือร			
Hidrobiológico	2007	2008	2009	2010	2011	2012	2013	2014
1. Trucha	6997	12497	12817	14250	19962	24762	34992	32527
2. Tilapia	1741	1714	1261	2013	2423	3174	3840	4610
3. Camarón	4	6	11	15	13	11	20	84
4. Gamitana	414	539	564	680	522	453	531	504

Fuente DIREPRO (2015)

La crianza de trucha arcoíris en el Perú durante los años 2007 al 2014 ha presentado un crecimiento vertiginoso, principalmente en la región

Puno, seguido por las regiones de Junín y Huancavelica, las cuales constituyen el 95% de la producción nacional (Puno 27,972.0 TM, Junín 1,615.0 TM y Huancavelica 1,503.0 TM en el año 2014).

En el cuadro 3, se representa la producción de trucha arcoíris en otras regiones del Perú, reportando desde el año 2008 hasta el 2014 la cantidad en toneladas métricas (TM) a través de la Dirección de Producción en el 2015, en el cual la producción en Puno es la más alta en comparación a las demás regiones el Perú seguida de la región Junin y Huancavelica.

Cuadro 3. Producción de truchas arcoíris en el Perú durante el año 2008 al 2014 en toneladas métricas (TM)

Danién				AÑO			
Región -	2008	2009	2010	2011	2012	2013	2014
Puno	8877	9438	9683	1550	18471	29091	27972
Junín	2079	1758	1848	1967	3413	2127	1615
Huancavelica	154	247	726	1122	1144	1222	1503
Pasco	311	244	171	122	90	8	89
Lima	173	181	794	83	128	197	51
Ancash	146	148	129	128	136	659	60
Cusco	162	133	264	252	438	641	170

Ayacucho	83	97	68	209	240	265	304
Arequipa	45	53	15	44	62	43	90
Huánuco	38	47	112	110	148	198	269
Tacna	19	25	34	21	48	21	68
Apurimac	26	21	51	27	38	50	60

Fuente: DIREPRO (2015)

#### 2.3. Contaminación ambiental

#### 2.3.1. El medio ambiente

El concepto de medio ambiente ha evolucionado en gran manera durante la última década, ha pasado de enfocarse de la conservación ambiental a una concepción más amplia, que incluye temas de gestión de los recursos naturales y calidad de vida (AYOVI, 2010).

El medio ambiente, a través de los bienes y servicios que proporciona a la sociedad y a la economía, juega un papel crítico en nuestro modo de vida, proporciona cuatro categorías de servicios: de aprovisionamiento de regulación, culturales y de apoyo (CEPE, 2007).

#### 2.3.2. Tipos de contaminantes

Los contaminantes biodegradables u orgánicos son aquellos materiales que pueden ser descompuestos por la acción de organismos vivos, como lombrices, hongos y bacterias principalmente. Este fenómeno permite que los elementos que forman tales residuos queden disponibles para su nueva

incorporación a la naturaleza de manera útil. Los contaminantes no biodegradables son aquellas que no pueden desintegrarse naturalmente o bien, si esto es posible, sufren una descomposición demasiado lenta, este factor los hace más peligrosos que los anteriores, su acumulación en la naturaleza es progresiva (ROMERO, 2010).

#### 2.3.2.1. Fuentes de contaminantes orgánicos

#### - Actividad agropecuaria

En esta actividad, se generan una gran variedad de residuos de origen vegetal y animal. Los residuos vegetales están integrados por restos de cosechas y cultivos procedentes de diversas especies cultivadas. Entre los residuos animales, se incluyen excrementos sólidos y semisólidos (estiércoles) y líquidos purines. Desechos de faena, cadáveres, sobrantes de suero y leche, etc. Los estiércoles y purines son los residuos que presentan mayor interés por la concentración espacial que alcanzan en producciones como la lechera, avicultura, entre otros y por el impacto ambiental negativo que producen en la mayoría de los casos (ROMERO, 2010).

#### - Actividad agroindustrial

Existe una gran diversidad de residuos generados en la actividad agroindustrial. Las características cuantitativas y cualitativas de los mismos dependen de numerosos factores. Muchos residuos de las actividades agroindustriales son reutilizados a través de alternativas que se aplican, desde hace ya algunos años, con menor o mayor grado de eficacia. Para otros residuos agroindustriales aún no existen alternativas de transformación en insumos dentro de un marco económico viable (SZTERN y PRAVIA, 2009).

#### Industria de la pesca

La parte aprovechable que se obtiene del pescado para la alimentación es solamente el 62% aproximado de su peso, no se utilizan las cabezas, esqueletos, vísceras, escamas y aletas. Toda esa masa de pescado era y, por desgracia, sigue siendo, en gran parte desaprovechada. La importancia de la industria de los subproductos de pescado es extraordinaria, tanto desde el punto de vista económico como de los elementos que se obtienen de ella útiles al hombre, como son las harinas, aceites, productos farmacéuticos y abonos (SZTERN y PRAVIA, 2009).

#### Vísceras

"Las vísceras de pescado de agua dulce constituyen entre el 5 y 11% del peso corporal. Su composición química promedio es 76,6% agua, 20,4% proteína, y 3% minerales" (SZTERN y PRAVIA, 2009).

El mismo autor declara que el ensilaje de vísceras de pescado se ha venido utilizando como alternativa para conservar los subproductos del pescado, los cuales tienen uso potencial como fuente de proteína en dietas para cerdos. A pesar de ser residuos complejos, las vísceras de pescado se pueden tratar mediante procesos biológicos o una combinación de procesos físico-químicos y biológicos.

#### Colas y aletas

La obtención de pegamentos y gelatinas a partir del pescado se realiza por el tratamiento de tejidos conjuntivos y pieles, es decir, de aquellas estructuras en cuya composición interviene la sustancia colágena (ÁLVAREZ, 2008).

#### Cabezas y espinas

MAROTO (2010), menciona que el contenido medio de calcio de pescados y mariscos ronda el 30% en los esqueletos o espinas de los peces se acumula una rica fuente de calcio mineral que varía en contenido según la especie. Las cabezas y los desechos de camarón permiten fabricar una harina que contiene el 30% de proteínas, esto representa el 30% del peso vivo del animal.

#### Industria forestal

Es una agroindustria es común que se generen volúmenes muy importantes de residuos entre corteza, costaneros, aserrines, entre otros, estos representan aproximadamente un 40 a 50% de la materia bruta. Las alternativas de aprovechamiento que se han implantado hasta el momento están enfocadas a la recuperación energética de estos residuos (SZTERN y PRAVIA, 2009).

#### - Residuos sólidos urbanos

La denominación Residuos Sólidos Urbanos hace referencia, en términos generales, a los residuos generados por cualquier actividad en los centros urbanos y en sus zonas de influencia (ROMERO, 2010).

#### 2.4. Agricultura orgánica

En un sistema de producción orgánica, se procura potenciar los ciclos naturales de la vida, no la supresión de la naturaleza y por tanto es el resultado de la interacción dinámica del suelo, plantas, animales, seres humanos y el medio ambiente. La agricultura orgánica se basa principalmente

en el aprovechamiento adecuado de los recursos existentes localmente (SÁNCHEZ, 2003).

El término agricultura orgánica está relacionado con la utilización de estiércol animal y otros insumos naturales, lo que implícitamente deja fuera la utilización de fertilizantes y plaguicidas sintéticos o químicos, el término agricultura biológica se basa en el aprovechamiento del mecanismo de productividad de los organismos vivos, por su parte la agricultura ecológica integra la producción agropecuaria al ecosistema, finalmente la agricultura alternativa propone opciones a los sistemas convencionales (CÉSPEDES, 2005).

#### 2.4.1. Planteamientos de la agricultura orgánica

SANCHEZ (2003), menciona que la agricultura orgánica aparece como una propuesta alternativa a la agricultura convencional, mientras la agricultura convencional proporciona alimentar a las plantas mediante el suministro de fertilizantes y compuestos hormonales sintéticos Lagricultura orgánica por su parte propone alimentar los microorganismos del suelo para que estos a su vez de manera indirecta alimenten a las plantas. Esta alimentación se hará mediante la adición al suelo de desechos vegetales reciclados, abonos verdes, estiércoles animales, desechos orgánicos así mismo plantea para el manejo de plagas y enfermedades la conservación del principio de biodiversidad.

#### 2.4.2. Principios de la producción orgánica

FÓSERO (2005) menciona que para mejorar o por lo menos mantener la fertilidad y la actividad biológica del suelo, la base de los

programas de fertilización debe estar sustentada en la utilización de materiales biodegradables de origen microbiano, vegetal o animal producido en las propiedades orgánicas.

ΕI recomienda utilización mismo autor la de abonos biodegradables, para minimizar las pérdidas de los nutrientes. Se debe evitar la acumulación de metales pesados y otros contaminantes. Así como también que los fertilizantes minerales no sintéticos y otros abonos de origen biológico, deben considerarse como suplementos y no como sustitutos de los producidos en el huerto. Además debe establecerse límites de las cantidades de fertilizantes de origen biológico traídas de otras fincas, considerando las condiciones locales y tipo de cultivo. Los fertilizantes minerales deben ser aplicados al suelo en su estado natural y no se debe hacer tratamientos químicos para aumentar su solubilidad.

#### 2.4.3. Ventajas de la agricultura orgánica

ZAMORA y TORRES (2008) mencionan que las ventajas que proporciona la utilización de la agricultura orgánica son:

- Permite aprovechar al máximo los recursos naturales presentes en una explotación agrícola
- Mejora la calidad de los suelos aumentando cada vez más su productividad.
  - Permite obtener productos sanos de buena calidad
  - Tiende a abaratar los costos de producción.
- Permite ubicar productos no tradicionales en mercados internacionales.

#### 2.4.4. Limitantes de la agricultura orgánica

SÁNCHEZ (2003) afirma que los limitantes que enfrenta la agricultura orgánica son: La no existencia de grandes volúmenes de materia orgánica para la realización de enmiendas en los suelos de cultivo. No hay todavía disponibilidad de suficientes insumos biológicos en el mercado local. Además el carácter inmediatista de muchos productores impiden la implementación de cultivos orgánicos, pues no comprenden de éste nuevo tipo de agricultura es un proceso natural que no responde a recetas.

#### 2.5. Fertilización orgánica

La fertilización orgánica tiene como objetivo efectuar los aportes necesarios para que el suelo sea capaz, por medio de los fenómenos físico-químicos que tiene lugar en su seno, de proporcionar a las plantas una alimentación suficiente y equilibrada. Además, el método de fertilización orgánica, desiste conscientemente del abastecimiento con sustancias nutritivas solubles en agua y de la ósmosis forzada, proponiendo alimentar a la inmensa cantidad de microorganismos del suelo de manera correcta y abundante, dejando a cargo de ella la preparación de sustancias nutritivas en forma altamente biológica y más provechosa para las plantas (SUQUILANDA, 2006).

#### 2.5.1. Abonos orgánicos

Un abono orgánico es cualquier material de origen animal o vegetal capaz de proporcionar uno o más de los elementos que son esenciales para el desarrollo de las plantas cultivadas, y que a su vez, mejoran las características físicas, biológicas y químicas del suelo. Esta clase de abono no solo

proporciona al suelo materiales nutritivos sino que influye favorablemente en la estructura del suelo (SALGADO y NUÑEZ, 2010).

Los abonos orgánicos han sido catalogados principalmente como enmiendas o mejoradores del suelo, una de las principales preguntas que siempre ha generado con respecto a estos materiales, es con relación a su capacidad de suplemento de nutrimento a los cultivos. Se sabe que esta propiedad depende del grado de mineralización delos materiales y está en función no solo de las propiedades de la materia prima y del proceso de fabricación, sino también de las condiciones imperantes en el campo para su consecuente descomposición (ZAMORA y TORRES, 2008).

#### 2.5.2. Clasificación de los abonos orgánicos

RESTREPO (2007) los abonos orgánicos, se clasifican en sin procesar (excretas animales, desechos vegetales y abonos verdes) y procesados (compost, bocashi, lombricompost, ácidos húmicos, abono líquido fermentado, te de estiércol)

#### 2.6. El biol

Es un abono orgánico líquido, resultado de la descomposición de los residuos animales y vegetales en ausencia de oxígeno, contiene nutrientes que son asimilados fácilmente por las plantas haciéndolas más vigorosas y resistentes (INIA, 2005).

Puede ser considerado como una fuente de fitoreguladores que se obtiene como producto del proceso de descomposición anaeróbica de los desechos orgánicos en mangas de plástico (biodigestores), que actúa como

bioestimulante orgánico en pequeños cantidades y es capaz de promover el crecimiento y desarrollo de las plantas (SUQUILANDA, 2006).

#### 2.6.1. Elaboración de biol

En la elaboración de biol la proporción del peso y el volumen con los residuos entrantes es de 0.9 a 1, contiene una fase sólida, conocida como biosol y su fase liquida conocida como biol, ambos componentes tienen extraordinarias cualidades agronómicas beneficiosas para los cultivos. Dependiendo de las características de los residuos a fermentar se tiene que en promedio el fango resultante del biodigestor presenta aproximadamente entre el 85 y 90% de la materia entrante, de esto aproximadamente el 90 % corresponde al biol y el 10% al biosol, estos porcentajes varían según los residuos a fermentar y el método de separación empleado (APARCANA, 2008).

#### 2.6.1.1. Biosol

La parte sólida que resulta en el biodigestor que es el biosol puede alcanzar entre 25% a solo 10% de humedad, su composición depende mucho de los residuos que se emplearon para su fabricación. Se puede emplear solo o en conjunto con compost o fertilizantes químicos (APARCANA, 2008).

#### 2.6.2. Ingredientes para la elaboración del biol

#### Estiércol

Tiene principalmente la función de aportar los ingredientes vivos para que ocurra la fermentación del biol, aporta principalmente inóculos de levaduras, hongos, protozoos, y bacterias los cuales son los responsables de digerir, metabolizar y colocar en forma disponible para las plantas y el suelo

todos los elementos nutritivos que se encuentran en el tanque de fermentación (RESTREPO, 2007).

#### Leche o suero de leche

Tiene la función de reavivar el biol preparado de la misma forma que lo hace la melaza, aporta vitaminas, proteínas, grasa y aminoácidos para la formación de otros compuestos orgánicos que se generan durante el periodo de la fermentación del biol, al mismo tiempo permite la reproducción de la microbiología de la fermentación (RESTREPO, 2007).

#### - Melaza

Su función es aportar la energía necesaria para activar el metabolismo microbiológico, para que el proceso de fermentación se potencialice además de aportar otros componentes en menor escala como son algunos minerales entre ellos calcio, fosforo boro, hierro, azufre zinc y magnesio (MEDINA, 2000).

#### - Agua

Favorece en la creación de condiciones óptimas para el desarrollo de la actividad y reproducción de los microorganismos durante la fermentación. El exceso de humedad al igual que la falta de esta, afecta la obtención de un abono de buena calidad (SALGADO y NUÑEZ, 2010).

Tiene la función de facilitar el medio liquido donde se multiplica todas las reacciones bioenergéticas y químicas de la fermentación anaerobia del biol (MEDINA, 2000).

#### 2.6.3. Equipo para la elaboración de biol

El biodigestor es un tanque donde se almacena residuos, estiércol de animales, y otros elementos que diluidos en agua forman una mezcla que se descompone biológicamente, en el proceso de descomposición se forma el biogás, por lo que el tanque debe disponer de algún sistema que le permite capturar el biogás (SALAYA, 2010).

#### 2.6.4. Procedimiento para elaborar biol

CÉSPEDES (2005) afirma que la manera adecuada para elaborar biol en una caneca de 200 litros es que en un recipiente de plástico de 75 litros poner 30 litros de agua, luego colocar la majada fresca de bovino, cuy, pollos y humus de lombriz. Picar raíz, hojas, flores y fruto de dos o tres leguminosas. En otro recipiente pequeño con 4 litros de leche o suero se mezcla la levadura, melaza y los diferentes minerales. Lo preparado en el recipiente pequeño colocar en el tacho grande y completar con agua, se deja un espacio vacío de 20 centímetros y revolver la mezcla. Seguidamente poner la tapa se asegura con un alambre, luego un extremo de la manguera se introduce en una botella con agua, para permitir el desfogue de gases.

#### 2.6.5. Factores que intervienen en la formación del biol

#### La temperatura

Representa el incremento de la actividad microbiológica del abono, que comienza después de la mezcla de todos los ingredientes. Aproximadamente, después de 12 horas de haberlo preparado, el abono debe presentar temperatura que puede superar fácilmente los 50°C, lo que es buena señal para continuar con las demás etapas del proceso (HUYATA, 2006).

La temperatura interna del biodigestor, aunque el proceso se lleva a cabo en un amplio rango de temperaturas desde 14 hasta 60°C, aunque la mayor eficiencia se alcanza cuando se trabaja en temperaturas de 30 a 40 °C donde la mayoría de las bacterias metanogénicas digieren la materia orgánica más eficientemente en estos rangos de temperatura (BOTERO y PRESTON, 1987).

#### La humedad interna del biodigestor

HUYATA (2006), menciona que la humedad óptima, para lograr la máxima eficiencia del proceso de la fermentación del abono, oscila entre un (50 y 60) % (en peso). Bajo del 40% de humedad, hay una descomposición aeróbica muy lenta de los materiales orgánicos que hacen parte del compuesto. Por otro lado, cuando la humedad supera el 60%, la cantidad de poros que están libres de agua son muy pocos, lo que dificulta la oxigenación de la fermentación.

#### Relación carbono-nitrógeno

La relación teórica e ideal para la fabricación de un buen abono de rápida fermentación se calcula que sea entre 25 a 35%. Las relaciones menores pueden resultar en pérdidas considerables de nitrógeno por volatilización, por otro lado, relaciones mayores resultan en una fermentación más lenta. (RESTREPO, 2007)

#### - Relación materia orgánica agua

La cantidad de materia orgánica varía de acuerdo a su origen con respecto al agua, pero se puede trabajar en concentraciones de 50-50 o 25-75 respectivamente, dependiendo de la disponibilidad de la materia prima aunque

lo más recomendable es utilizar 1/3 de materia orgánica y 2/3 de agua, dejando siempre un espacio de 10 a 20 cm en el borde superior del recipiente (RESTREPO, 2007).

#### - El potencial hidrógeno (pH)

La fabricación de este tipo de abono, requiere que el pH oscile entre un 6 y 7, los valores extremos inhiben la actividad microbiológica durante el proceso de la degradación de los materiales. El pH desciende en los primeros días hasta 5 por la producción de ácidos orgánicos (FAO 2011).

#### - El tamaño de las partículas

La reducción del tamaño de las partículas de los componentes del abono, pueden presentar la ventaja de aumentar la superficie para la descomposición microbiológica de los mismos. Sin embargo, el exceso de partículas muy pequeñas pueden llevar fácilmente a una compactación favoreciendo el desarrollo de un proceso anaeróbico, lo que no es ideal para obtener un buen abono orgánico fermentado (HUYATA, 2006).

#### - Aditivos

Los microorganismos beneficiosos contienen principalmente organismos beneficiosos de cuatro géneros principales: bacterias fototróficas, levaduras, bacterias productoras de ácido láctico y hongos de fermentación (HUYATA, 2006).

Estos microorganismos cuando entran en contacto con la materia orgánica secretan substancias beneficiosas como vitaminas, ácidos orgánicos, minerales, y fundamentalmente substancias antioxidantes que promueven la

descomposición de materia orgánica aumentando el contenido de humus (MEDINA, 2000).

#### Fermentación anaerobia

INIA (2005), señala que el método básico consiste en alimentar al biodigestor con materiales orgánicos y agua, dejándolos un periodo de semanas o meses, a lo largo de los cuales, e condiciones ambientales y químicas favorables, el proceso bioquímico y la acción bacteriana se desarrollan simultáneamente y gradualmente, descomponiendo la materia orgánica hasta producir grandes burbujas que fuerzan su salida a la superficie donde se acumula el gas metano

#### 2.6.6. Funciones del biol

Funcionan principalmente al interior de las plantas, activando el fortalecimiento del equilibrio nutricional como un mecanismo de defensa de las mismas a través de los ácidos orgánicos, las hormonas de crecimiento, antibióticos, vitaminas, minerales, enzimas, co-enzimas, carbohidratos, aminoácidos, azucares entre otros, presentes en la complejidad de las relaciones biológicas, químicas, físicas energéticas que se establecen entre las plantas y la vida del suelo (INIA, 2005).

#### 2.6.7. Ventajas del biol

TOMKINS (2004), menciona que el uso de biol permite un mejor intercambio catiónico en el suelo con ello se amplía la disponibilidad de nutrientes del suelo, también ayuda a mantener la humedad del suelo y a la creación de un microclima adecuado para las plantas. Además manifiesta que siendo el biol una fuente de fitoreguladores en pequeñas cantidades es capaz

de promover actividades fisiológicas y estimular el desarrollo de las plantas, sirviendo para enraizamiento aumentando y fortaleciendo la base radicular, acción sobre el forraje, mejora el vigor y poder germinativo de las semillas.

#### 2.7. Microorganismos

MURRAY (1968), manifiesta que con el desarrollo del microscopio fue posible el reconocimiento de las células eucariotas y procariotas y eso condujo a la ubicación de las bacterias en un reino separado de microorganismos sin núcleo al que se le dio el nombre de Procariotae. Organismos eucarióticos son aquellos en cuyas células puede diferenciarse un núcleo que contiene el material genético separado de un citoplasma en el que se encuentran diferentes orgánulos celulares. Los microorganismos eucarióticos más relevantes en agronomía son los hongos unicelulares o pluricelulares; y los organismos procarióticos son aquellos en los que no existe la separación entre núcleo y citoplasmaque incluyen las bacterias.

WOESE (1978), propuso elevar los tres tipos de células a un nivel por encima del reino, llamado dominio y de ahí surgió el sistema de clasificación de tres dominios que se conoce en la actualidad y que comprende: Bacteria (procariotas unicelulares cuya pared celular contiene peptidoglucano), Arquea (procariotas unicelulares cuya pared celular no contiene peptidoglucano) y Eukarya. Los virus no son asignados a ningún reino ya que ellos son microorganismos acelulares.

RESTREPO (2007), menciona que la autodesinfección de un abono se logra por medio de la descomposición que bacterias, actinomicetos y

hongos hacen de los restos orgánicos presentes en el suelo. Los productos resultantes de la actividad microbiológica poseen un efecto antagonista sobre las enfermedades del ser humano, animales y plantas. En el cuadro 4 se observa las especies y agentes activos que responden contra actividades antagónicas en diversos cultivos.

Cuadro 4. Especie y agentes activos que responden contra actividades antagónicas en los cultivos.

Especie y agente activo	Actividad antagónica			
Trichoderma (Moho)	Ataca a los patógenos que provocan enfermedades de las raíces.			
Trichoderma lignorum	Ataca al tizón de las raíces en los cítricos o fitófto de la raíz.			
Trichoderma viridis	Ataca al hongo <i>Rhizoctonia solani</i> que provoca pudriciones en el repollo joven			
Trichoderma lignorum	Ataca al hongo <i>Phymatotrichum omnivorum</i> en sandía capturando las hifas de este hongo filamentoso y provocando su muerte.			
Varios hongos	Atacan al hongo <i>Fusarium lini</i> que provoca la marchites de la planta de linaza.			
Penicillium expansum	Ataca a los hongos <i>Pythium</i> o <i>Baryanum</i> que provoca la podredumbre de gramíneas.			
Antimicina (actinomices)	Produce la inhibición más o menos fuerte (Streptomyces griseoviridis) de 33 hongos que han sido investigados por provocar enfermedades			

Actinomices 105	Ataca a los patógenos responsables de las podredumbres del tallo de las plántulas de zanahoria, café y negra del manzano, de la botritis, y monilia, de la mancha de fuego, del cancro del castaño, de la enfermedad del olmo holandés, del tizón de la papa/patata, y otras enfermedades.				
Bacilos cortos (de trinidad)	Produce un antibiótico resistente a altas temperaturas que inhibe el crecimiento de 40 especies conocidas de hongos y levaduras en una dilución 1 : 1.000.000				
Numerosas bacterias	Atacan la roña de la papa/patata y al carbón del maíz (Ustilago maydis)				
Bacillus simples	Presenta un efecto antagonista sobre <i>Rhizoctonia</i> solani (pudrición de las raíces). Produce un antibiótico que ataca a las enfermedades de las arvejas/guisantes y pepinos.				
Varias bacterias	Eliminan a los hongos Fusarium y Helminthosporium que destruyen los cereales y la linaza				

Fuente: RESTREPO (2007).

#### 2.8. Macronutrientes

Se caracterizan por sus concentraciones superiores al 0.1% de la materia seca. Los tres elementos que se encuentran en mayor concentración son el carbono, hidrogeno y el oxígeno; los cuales se toman del agua y de la atmosfera. El nitrógeno el fosforo y el potasio son llamados macronutrientes primarios y es muy frecuente fertilizar con esos nutrientes. Los macronutriente

secundarios son el calcio magnesio y azufre. Se resume las principales características de cada uno de los elementos esenciales y los síntomas de deficiencia en la plantas (BARRERA *et al.* 2008).

# 2.8.1. Nitrógeno

Constituyente de cada uno de los aminoácidos, es decir, presente en cada proteína. También hace parte de la molécula de clorofila y de los ácidos nucleicos. El nitrógeno estimula el crecimiento de tallos y hojas. Además estimula la producción de proteínas en frutas y granos, y ayuda a que la planta utilice otros nutrientes como fósforo y potasio (KOVACIK *et al.*, 2007).

El mismo autor menciona por su gran movilidad, los primeros síntomas se observan en hojas maduras. Su deficiencia causa falta de poder turgor y cambios de color en las hojas, las cuales primero se tornan verde claro, luego presentan clorosis y finalmente mueren; los sistemas radicales se ven reducidos

#### 2.8.2. Fósforo

Constituyente de coenzimas, ácidos nucleicos y sustratos metabólicos. Hace parte del nucleótido más importante en la obtención de energía celular, el ATP. Promueve el desarrollo radical, y ayuda a desarrollar resistencia a enfermedades (XIANG WEN et al., 2008)

El mismo autor menciona que es uno de los nutrientes más limitantes en el crecimiento y desarrollo de la planta junto con el Nitrógeno. En general, hojas, tallos y peciolos maduros se observan de color verde oscuro o azulado o pueden ser morados. Las hojas pueden verse enrolladas. Las

plantas tienen un desarrollo lento, la floración se demora, el sistema radical es pobre y las plantas son bastante susceptibles a infecciones.

#### 2.8.3. Sodio

El sodio no es un elemento esencial para las plantas, pero puede ser usado en pequeñas cantidades, al igual que los micronutrientes, como auxiliar para el metabolismo y la síntesis de clorofila. (KOVACIK *et al.* 2007).

El mismo autor menciona que los síntomas de deficiencia de sodio no son muy evidentes puesto que no se trata de un elemento esencial. La deficiencia de cloruro, puede presentarse, de manera permanente, el sustrato contiene menos de 2ppm de esta sal. Sus síntomas se presentan como manchas cloróticas acampadas de puntos necrosados localizados entre las venas o en las orillas de las hojas más jóvenes.

#### 2.8.4. **Potasio**

Importante en fotosíntesis, traslocación de carbohidratos y síntesis de proteínas. Es un catalizador o activador de ciertas enzimas, participa en la osmorregulación y también en el mantenimiento del potencial de membrana (GIERTH y MASER, 2007).

EL mismo autor menciona que en su ausencia, inicialmente se observa en las hojas maduras clorosis marginal e intervenal, enrollamientos, hojas arrugadas y brotes muy cortos. En general, la planta con déficit de potasio se observa débil, con un sistema radical pobre, y con muy baja tolerancia a situaciones de estrés o ataques de enfermedades. La deficiencia estomática implica reducción de las tasas de transpiración e intercambio de gases.

#### 2.8.5. Calcio

Hace parte de las paredes celulares, tiene una función importante en la estructura y permeabilidad de las membranas. Es un activador de las enzimas amilasa y ATPasa. En árboles, el contenido de Calcio está relacionado con la calidad y resistencia de la madera (LITTKE y ZABOWAKI, 2007)

El mismo autor menciona que los síntomas de su deficiencia se observan inicialmente en hojas jóvenes dado su baja movilidad. En general, se observan meristemas apicales deformados, pequeños o sin crecimiento; las yemas en forma de gancho, los brotes del tallo o de flores se caen y en las hojas maduras se presenta clorosis marginal y pérdida de turgor.

#### 2.8.6. Magnesio

Es el componente principal de la clorofila. Combinado con ATP o ADP actúa como activador de enzimas que usan dos sustratos. (MARSCHNER, 1995).

El mismo autor menciona que cuando este elemento se encuentra en bajas concentraciones, la producción de clorofila disminuye, lo que se traduce en clorosis intervenal y finalmente necrosis. En las hojas maduras se presentan primero los síntomas, ellas se tornan quebradizas y enrolladas.

## 2.8.7. Cobre

MARSCHNER (1995) menciona que está implicado en la síntesis de clorofila. Es constituyente de la plastocianina, que funciona en la transferencia de electrones y de proteínas con actividad oxidasa. Está implicado en la síntesis de ADN y ARN. Los síntomas de su deficiencia incluyen acortamiento de entrenudos, hojas nuevas que crecen atrofiadas,

enanas o retorcidas, débiles y de color verde oscuro, con puntos necróticos. El sistema radical también se presenta atrofiado, y la floración y fructificación se reducen dramáticamente.

#### 2.8.8. Hierro

MARSCHNER (1995), menciona que es un catalizador involucrado en la activación de enzimas necesarias en las reacciones de oxidoreducción y transferencia de electrones y actúa como transportador de oxígeno. Además actúa como cofactor en la síntesis de clorofila y en el correcto funcionamiento de otras enzimas importantes como catalasa, peroxidasa, ferredoxina y citocromos.

Los primeros síntomas incluyen clorosis intervenal y amarillamiento o blanqueamiento de las láminas foliares de las hojas jóvenes. En casos de deficiencia severa, se observan manchas angulares cafés intervenales y en los márgenes de las hojas un color café oscuro con una apariencia de quemadura. Estos síntomas pueden presentarse en una rama o en la planta entera.

#### 2.8.9. Manganeso

Está implicado en la activación de enzimas que son catalizadores importantes de la reducción de carbohidratos, formación de clorofilas, y síntesis de DNA y RNA. Está directamente implicado en la producción de oxígeno durante la fotosíntesis La clorosis intervenal es evidente y similar a la observada en deficiencia de magnesio, zinc o hierro. En casos severos, se presentan puntos necróticos y caída de hojas; la formación de flores se reduce o se detiene (SHENKER *et al.*, 2004).

## 2.8.10. Zinc

Este elemento es un activador de enzimas que están implicadas en la regulación de varios procesos metabólicos, como la síntesis de DNA, RNA, proteínas, algunas hormonas. En general, los síntomas incluyen un crecimiento atrofiado y acortamiento de entrenudos. Las hojas se tornan amarillas o cafés, típicamente otoñales y con menor área foliar. El sistema radical presenta anormalidades, así como los tallos. Las deficiencias de Zinc pueden inducir elevados niveles de fósforo, nitrógeno, cobre o hierro (KALAYCIA *et al.*, 1999).

#### III. MATERIALES Y METODOS

# 3.1. Ubicación y descripción del área de estudio

# 3.1.1. Lugar de ejecución

El presente trabajo se desarrolló en la localidad de San Pedro de Carpish, ubicado en el distrito de Chinchao, provincia y región Huánuco; la cual limita con los siguientes caseríos: por el norte con Mirador, por el sur Cancejos, por el oeste con Cerro Verde y por el este con el Área de Conservación Regional Bosque Montano de Carpish.

La ubicación geográfica de área en estudio dentro de la localidad de San Pedro de Carpish es de 8928777 N y 381121 E, con una altitud de 2532m

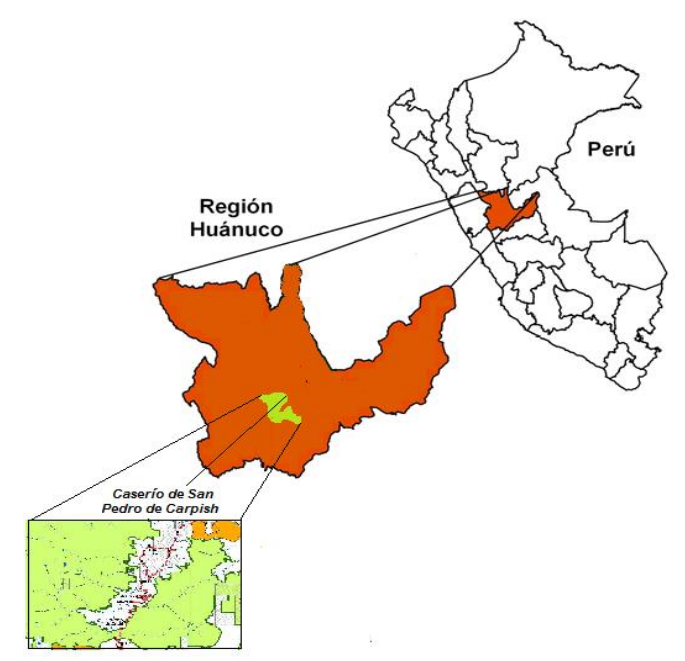


Figura 1. Ubicación política de San Pedro de Carpish.

# 3.1.2. Descripción del área

## - Geología y geomorfologia

SALINAS (2005), menciona que las estribaciones fluctúan entre los 1200 a 2200 m de altitud hay gran cobertura vegetal a excepción del curso de los ríos donde en cierta forma ha sido modificada eventualmente. El drenaje principal está controlado por el río Chinchao las estribaciones tienen fuerte pendiente por encontrarse cerca de una nacientes estas dan origen a un valle de etapa juvenil; la red hidrográfica es dendrítica y sus tributarios son de recorrido corto con pendiente fuerte. Litológicamente, comprende rocas neoproterozoicas como la de los grupos Mitu y Pucará. La erosión es intensa debido principalmente a la axón del rio.

# - Hidrografía

SALINAS (2005), menciona que el sistema de distribución de las aguas de escorrentía superficial que atraviesa son el rio Huallaga y el rio Chinchao ambos confluyen finalmente en uno la gran cuenca hidrográfica del río Huallaga la cual pertenece a la red hidrográfica del Amazonas.

#### - Clima

SALINAS (2005), menciona que la temperatura media anual en el bosque montano de Carpish varía entre 7° a 15° C en la parte superior (2500 a 3500m) y entre los 15° a 19°C en la parte inferior (1500 a 2500m) no existen diferencias significativas de norte a sur, las temperaturas nocturnas son frescas, lo que permite la condensación de la humedad atmosférica sobre las hojas de las plantas en forma de rocío, en la primera hora del da estas caen como gotas de agua.

Las precipitacioón registrada en la localidad de Carpish en fue 93.3 mm de lluvia / semana (SENAMHI, 2015)

Según la clasificación de distribución climática de W.Koppen se distingue el tipo de clima de Selva Tropical (Af) ya que se caracteriza por permanente humedad, temperatura media anual superior a 18°C.

#### - Suelos

SALINAS (2005), menciona que debido a las fuerte lluvias que ocurren los suelos son delgados y frecuentemente disturbados. La mayor parte de este ecosistema se desarrolla en suelos ácidos superficiales formados sobre rocas denominados Litosoles-Cambisoles (útricos y dístricos), seguido de formas transicionales hacia cambisoles eútricos y dístricos según el predominio de materiales calcáreos así como también acrisoles órticos, es decir, suelos ácidos de tono rojos, amarillos a oscuros (presencia de humus) y arcillas friables de naturaleza caolinítica, siendo común el desarrollo de una capa u horizonte superficial orgánico

#### Vegetación

SALINAS (2005), menciona que está comprendido en un sistema boscoso montano húmedo denominado comúnmente "bosque de neblina", "bosque de ceja de montaña" o "elfin forest" entre otros. Se define como un complejo de vegetación única caracterizado por la presencia persistente o frecuente de nubes en momento dicho complejo absorbe la humedad de las nubes esta stuacoin es común en las montañas de las regiones tropicales y subtropicales sometidas a influencias oceánicas. Estos bosques albergan árboles de menor altura y de troncos más gruesos los árboles en bóveda tienen

generalmente troncos y ramas nudosas, copas densas y compactas, y hojas pequeñas, gruesas y duras (esclerófilas). Una gran proporción de biomasa se forma por diversos organismos como líquenes, musgos, briofitas y helechos que crecen en los troncos de árboles, rocas y materia orgánica inerte. Los helechos arborescentes son comunes en muchos bosques nublados.

#### Población

INEI (2007), a partir del Censo 2007 la población de San Pedro de Carpish fue de 202 habitantes

#### - Agroforesteria

SALINAS (2005), menciona que es la principal actividad económica practicada, los campos de cultivo están ubicados por debajo de los 2800m de altitud donde la tierra es relativamente apta. Se cultiva papa, olluco, llacón, rocoto, Arracacha, té y coca.

El mismo autor menciona que en la búsqueda y preparación de más campos de cultivos los pobladores de San Pedro de Carpish deforestan la zona y extraen también madera para ser comercializada en el mercado local como combustible.

### - Ganadería

SALINAS (2005), menciona que se practica la ganadería vacuna y últimamente la ovina aunque ambas están restringidas por la topografía del lugar.

#### - Acuicultura

Existen seis (06) criaderos piscícolas artesanales que hasta la fecha están funcionando y dos (02) hogares que vende alimentos a base de la

trucha arcoíris; sin embargo, esta actividad es rentable económicamente puesto que los dueños declararon que la venta promedio de lunes a jueves es aproximadamente de 50unidades aproximadamente y de viernes a domingo incluyendo feriados la venta aumenta hasta 150unidades aproximadamente.

## 3.2. Materiales y equipos

En la elaboración de la presente investigación se utilizó los siguientes materiales y equipos:

#### 3.2.1. Materiales

Vísceras de trucha arcoíris, estiércol bovino, agua, ceniza de leña, microorganismos del bosque montano de San Pedro de Carpish, melaza, humus, manguera, baldes de 20 L., botellas descartables y guantes.

## **3.2.2. Equipos**

pH-metro Hanna HI 98127, termómetro duve CVQ 20400, balanza electrónica digital Clever, licuadora Oster BRLY07-Roo, GPS Garmin 82 map, cámara fotográfica Canon T6, computadora Hp e impresora multifuncional Canon Pixma G3100.

#### 3.3. Método

La fase experimental de la presente investigación se realizó en la localidad de San Pedro de Carpish, provincia Huánuco y región Huánuco. La materia prima se obtuvo de los criaderos piscícolas existentes en la zona.

Se realizó las coordinaciones con los dueños de los criaderos piscícolas de San Pedro de Carpish con la finalidad de establecer los

cronogramas de trabajo de campo, asesoramiento en cuanto a la problemática existente y apoyo en cuanto a la información disponible.

### Porcentaje (%) de vísceras de trucha arco iris.

Para la determinación de este factor se consideró la relación de materia orgánica agua (MO/Agua) que puede existir en un biol.

Cuadro 5. Dosificación de vísceras.

Tratamiento	Relación MO/Agua	M.O %Visceras	Agua	Aditivos
T1	25-75	21.42%	64.28%	14.3%
T2	35-65	30%	55.71%	14.3%
Т3	50-50	42.85%	42.85%	14.3%

En el cuadro 5. Se explica el porcentaje de relación materia orgánica agua al 100%, por consiguiente para el biol se usó diferentes porcentaje de materia orgánica de vísceras de trucha arcoíris, agua y aditivos (microorganismo, humus, leche, melaza y ceniza) en los tratamientos.

#### - Tratamientos

Las interacciones de los niveles dan lugar a la formación de tres tratamientos además del testigo y tres repeticiones cada uno así también el tiempo de fermentación anaerobia de noventa (90) días. En el Cuadro 6, se indica las dosis de todos los componentes y aditivos de cada uno de los

tratamientos  $(T_1,T_2,T_3)$  en estudio incluido el testigo  $(T_0)$  que posteriormente fueron sometidos a un proceso de fermentación anaerobio.

Cuadro 6. Tratamiento en estudio

<u></u>	(b)	cha (L)				Aditivo	S		
Tratamiento	Estiercol (kg)	Visceras de trucha	Agua (L)	Microorganimo s (kg)	Humus (kg)	Leche (L)	Melaza (L)	Ceniza (kg)	Total (L)
T1	0	4.284	12.856	0.144	1.428	0.57	0.284	0.434	20.0
T2	0	6	11.142	0.144	1.428	0.57	0.284	0.434	20.0
Т3	0	8.57	8.57	0.144	1.428	0.57	0.284	0.434	20.0
ТО	4.284	0	12.856	0.144	1.428	0.57	0.284	0.434	20.0

El proceso de fermentación de los biodigestores fue de noventa (90) días a partir de la instalación del biol de los cuales se tomó datos de temperatura y pH

## 3.3.1. Identificación y cuantificación de microorganismos

Una vez concluida el biol se procedió a identificar la presencia de microorganismos presentes en la descomposición de los insumos para la cuantificación de microganismos se usó el método de enumeración de microorganismos aerobios viables, enumeración de microorganismos coliformes totales, enumeración de coliformes termotolerantes y enumeración de fungis y levadura; y para su cuantificación se realizó la determinación de

Salmonella, Staphylococus aureus, Vibrión Choleraea. La metodología se sacó de manual para el control de calidad de los alimentos, la garantía de la calidad en el laboratorio microbiológico del control de los alimentos según la FAO (FAO, 1992).

### • Enumeración de microorganismos aerobios viables

Se sacó 10ml y se depositara en un matraz de 90ml de caldo peptonado al 0.1% que va ser la dilución, 10-1 luego se sacó 1ml y se llevó a un tubo con caldo peptonado con 9ml que va ser la dilución 10-2, de igual modo para la dilución 10-3 y 10-4, de la última dilución se sacó 1 inoculo de 1ml y se llevó a una placa esterilizada vacía duplicada, se adiciona el Agar platy count y se homogenizó girándolo 5 veces a la derecha, 5 veces a la izquierda, formando el número 8 y se dejó solidificar, luego se incubó a temperatura de 37°C por un tiempo de 24 – 48 horas. Se hizo el conteo respectivo en el contador de colonias y se aplicó la siguiente formula.

Microorganismo/ml de agua = (Numero de colonias x inoculo de siembra x factor de la dilución)

Se sacó el promedio de las 2 placas y se encuentra el número de microorganismos.

#### • Enumeración de microorganismos coliformes totales

De la muestra orgánica se sacó 10ml a un matraz de 90ml de caldo peptonado que va ser la dilución 10<sup>-1</sup>, luego se saca 1ml para la dilución 10<sup>-2</sup> para la **prueba presuntiva**, se reporta 1ml en 3 tubos de caldo Brilla con sus

tubitos de Durham – invertido para las diluciones 10<sup>-3</sup> y 10<sup>-4</sup>. De igual manera se llevó a 35°C – 37°C por 24 – 48 horas, se verificó la producción de gas en los tubitos de Durham cada 24 horas. Se determinó el índice NMP de la tabla y se calculó el NMP por 100ml con la fórmula:

NMP/100ml = Índice NMP (tabla) x dilución intermedia/100

Para la **prueba confirmada**, se utilizó tubos con 9ml de caldo lactosado con tubitos de Durham invertidos, se tomó una asada de los tubos de Brilla positivos a gas y se repicó en caldo lactosado. Se llevó a incubación a 35°C – 37°C por 24 – 48 horas. Se determinó el índice encontrado.

Para **la prueba completada**, los tubos positivos se siembran en medios sólidos, EMB, Agar Endo o Macconker, se llevó a incubación a 37°C por 24 horas, si aparece colonias lactosa positivas quiere decir que son coliformes.

#### Enumeración de coliformes termotolerantes -

Se sacó 10ml de la muestra orgánica y se lleva a un matraz de 90ml de caldo peptonado al 0.1%, va ser la dilución 10<sup>-1</sup>, luego se saca 1ml para la dilución 10<sup>-2</sup>.

Para la **prueba presuntiva**, se sembró en 3 tubos con 9ml de caldo lactosa Bilis Verde brillante (Brilla) o caldo triptosa o lauril sulfato y tubitos de Durham invertidas hasta la dilución de 10<sup>-4</sup>, se llevó a incubar a 35°C o 37°C por 24 – 48 horas. Se verificó la producción de gas en los tubitos de Durham cada 24 horas.

Para la **prueba confirmada**, se utiliza tubos con 9ml de caldo de E. Coli (E.C.) en tubitos de Durham invertido. Se tomó una osada de los tubos Brilla positivos o gas y se repica en caldo E. Coli. Luego se llevóra a incubación 44.5°C – 45.5°C por 24 – 48 horas. Se observó la producción de gas atrapado en los tubitos Durham, se determinara el índice de NMP de la tabla y se calculó el NMP por 100ml con la siguiente formula:

NMP/100 = Índice NMP (tabla) x dilución intermedia / 100

Para la **prueba completada**, de los tubos positivos se siembra en EMB/ENDO Macconker, se llevó a incubación a 37°C por 24 – 48 horas, las colonias lactosa positivo con brillo metálico se repicó en medios del IMVIC y TSI. Si los son Indol +, ORM +, VP -, CITRATO -, TSI, A/A gas + H<sub>2</sub>S y Escherichia coli.

## Numeración de Fungí (mohos y levaduras)

De la muestra orgánica se sacó 10ml y se depositó en un matraz de 90ml de caldo peptonado al 0.1% que va ser la dilución 10<sup>-1</sup>; luego se sacó 1ml y se llevó a un tubo con caldo peptonado con 9ml que va ser la dilución 10<sup>-2</sup>; de igual modo para la dilución 10<sup>-3</sup> y 10<sup>-4</sup> de la última dilución, se llevó a placas vacías esterilizadas un inoculo de 1ml, luego se adicionó de 10 a 20ml de Agar Saburaud glucosada al 4% más antibiótico. Solidificó las placas con el medio Saburaud, se incubó las placas e incubar a temperatura ambiente 24 – 72 horas, verificar presencia de colonias de fungí. Para la identificación de los fungí se identificó por medio del microcultivo que consiste en una placa Petri

contenido un soporte de vidrio en forma de herradura, un porta objeto y un cubre objeto todos bien esterilizados.

Para Petri con medio de Agar de Saburaud – glucosa de 4%dividido en cubitos de 20x20x10 mm, cada cubito se colocó sobre el porta objeto dentro de la placa de microcultivo.

Se necesitó el cultivo primario de un fungí aislado de la muestra de investigación, se elige la colonia de fungí con la ayuda de una onza micológica, tomar un inoculo de la misma y trasladarla sobre el cubito del medio de Saburaud que se ha colocado sobre el porta objeto dentro de la placa de microcultivo. Colocar el cubre objeto sobre el cubito de Agar, poner dentro de la placa un algodón húmedo, luego se llevó la placa de microcultivo a incubar a temperatura ambiente por 3 o 5 días. Cada día se verificó si el algodón aún sigue húmedo. Al término de la incubación, con ayuda de una pinza se debe retirar suavemente el cubre objeto de la placa de microcultivo y colocarla sobre un porta objeto limpio y desengrasado, al que se ha colocado previamente 2 a 3 gotas de azul de Amma con papel secante, observar el exceso de colorante, sellar los lados con bálsamo de canada diluido o esmalte de uña transparente.

Luego se eliminó el cubito de media Saburaud llevándole a un recipiente con solución sulfucromica, retirar el porta objeto de la placa de microcultivo y agregar de 2 a 3 gotas de azul de Amma, añadió un cubre objeto limpio y desengrasado con papel secante que absorberá el exceso de colorante.

Sellar los lados laterales con bálsamo de canada diluido con esmalte de uña transparente.

#### • Determinación de Salmonella

Para la **prueba de pre enriquecimiento**, de la muestra orgánica se sacó de 10 – 25ml y se deposita en un matraz de 90 – 225ml de caldo peptonado al 1% y se lleva a incubar a 37°C por 24 – 48 horas.

Para la **prueba de enriquecimiento selectivo**, se sacó 10ml y se siembra en caldo tetrationato y celenito cistina, y y se incuba en los matraces entre 42 – 43°C por 24 – 48 horas verificó el desarrollo.

Para la **prueba selección**, se sembró con ansa en placas con agar verde brillante con rojo de fenol (UBRF) y/o agar sulfito de Bismuto (SB) por duplicado, incubar por 24 – 48 horas a 37°C, se utilizó el Agar SS. En el Agar SS se observó colonias no fermentadoras de lactosa con el centro oscuro.

Para la **prueba de confirmación presuntivo**, se repicó en TSI, si da K/A gas (burbujas) es positivo,  $H_2S$  (color negro) si da positivo es salmonella.

Para la **prueba de confirmación bioquímica**, se repicó sobre medios de identificación bioquímica.

Indol negativo (–); RM positivo (+); VP negativo (–); Urea negativo (–); Citrato positiva (+); Lia descarboxilación positivo (color purpura) K/K.

## Determinación de Staphylococus aureus

De la muestra orgánica se sacó 10ml y se lleva a un matraz de 90ml de caldo peptonado al 0.1% que va ser la dilución 10<sup>-1</sup>; se saca 1ml y se

deposita en un tubo con 9ml de caldo peptonado al 0.1% que va ser la dilución  $10^{-2}$ ; de igual manera para la dilución  $10^{-3}$  de la última dilución, se sembrara con el arasá un inoculo de 0.25ml de manitol salado en placas por estrías, incubar a 37°C por 24 – 48 horas. Luego se hizo la lectura, si hay fermentación del manitol se observara colores amarillos que va ser *Staphylococus aéreos*; si son colores blanquecinos son *Staphylococus epidermides*, determinó la presencia y/o ausencia.

#### Determinación de Vibrión Choleraea

De la muestra orgánica se tomó 10ml y se depositó en un matraz con 90ml de cloruro de sodio al 4%, que va ser la dilución 10<sup>-1</sup>; luego se sacó 1ml y se llevó a un tubo con 9ml de NaCl que va ser la dilución 10<sup>-2</sup>; de igual manera para la dilución 10<sup>-3</sup>. Luego hizo el proceso de inoculación en tubos con caldo GSTB por cada dilución, incubar a 35°C por 18 horas.

Sembrar en agar de sucrosa sal bilar, citrato y tiosulfato (TcBS) por estrías de 24 – 48 horas, verificar los resultados donde se verá colonias redondas de 3mm con centro azul o verde o amarillo. GSTB = caldo de TEEPOL. Sal y glucosa (GSTB). Hacer el conteo de presencia y ausencia.

Ensayos bioquímicos. Sembrar en agar TSI – Alc. Sin gas, sin H<sub>2</sub>S.

### 3.3.2. Determinación de características fisicoquímicas del biol.

Concluido el proceso de fermentación de los biodigestores se tomó datos de temperatura y pH cada siete (07) días por un tiempo de noventa (90) días.

# - Determinación de la temperatura

Una vez iniciado el proceso fermentativo en los biodigestores artesanales se tomó el parámetro de temperatura cada siete (07) días, utilizando un termómetro manual.

# Determinación del pH

Se realizó la determinación de este parámetro en cada una de las unidades experimentales, utilizando un pH-metro, cada siete (07) días.

#### - Calidad nutricional del biol

Una vez terminado el tiempo de fermentación se tomó una muestra de cada unidad experimental y se envió a realizar análisis químicos a laboratorio para determinar el contenido de N, P, S, K, Ca, Mg, Zn, Fe, Cu, B. Cuadro 7. Métodos empleados en el análisis de nutrientes en el biol

Parámetro	Método de Análisis
рН	Potenciometria
Materia Orgánica	Walkley y Black o Dicromato de potasio
Nitrógeno total	00
Fósforo	Amarillo del vanadato Molibdato
Potasio, calcio, magnesio, sodio, hierro, cobre, zinc, manganeso	Espectrometría de Absorción Atómica

Fuente: UNAS (2017).

# - Análisis de Varianza (ANVA)

Se distribuyó las variables estadísticas y tratamientos de acuerdo al diseño experimental, se utilizó el diseño completamente azar (DCA), para un nivel de significancia del 5%.

Cuadro 8. Análisis de Variancia para un diseño completamente al azar.

Fuente de variación	Grados de Libertad	Suma de Cuadrado	Cuadrado Medio	Fcal	Ftab
Tratamientos	t-1	$\sum_{i=1}^{k} \frac{Y_i^2}{r_i} - FC$	$\frac{SC_{Trat}}{k-1}$	$\frac{CM_{Trat}}{CM_{Error}}$	$F_{\alpha}(v_{1,}v_{2})$
Error	$\sum\nolimits_{i=1}^{t} r_i - t$	$SC_{Tot.} - SC_{Trat.}$	$\frac{SC_{Trat.}}{GL_{error}}$		
Total	$\sum\nolimits_{i=1}^{t} r_i - 1$	$\sum_{i=1}^{t} \sum_{j=1}^{r_i} Y_{ij}^2$ $-FC$			

Fuente: LÓPEZ (2008).

Se calculó el coeficiente de variación (C.V.), prueba de Tukey al 5% entre tratamientos.

#### 3.3.3. Determinación de costos

El costo del biol se determinó por medio del registro de los gastos realizados durante el proceso de elaboración y obtención del producto final que tuvo mejor calidad fisicoquímica para lo cual se usó el programa S10 en el cual las actividades fueron la recolección de materia prima e insumos, dosificación, maduración, envasado y etiquetado; considerando un gasto general del 10% y utilidades 5%.

## IV. RESULTADOS

# 4.1. Identificación y cuantificación de microorganismos

# 4.1.1. Identificación de microorganismos

Cuadro 9. Microorganismos identificados en el biol.

Microorganismos heterótrofos	Especies identificadas
1. Bacteria	Bacillus sp., Staphylococcus aureus.
2. Fungi	Actinomyces sp, Aspergilius sp., Peninciium sp

Fuente: SERVICIO DE DIAGNÓSTICO MICROBIOLÓGICO (2017).

# 4.1.2. Cuantificación de microorganismos

Cuadro 10. Microorganismos identificados en el biol.

		- Promedio			
Determinación	T <sub>o</sub> (UFC/g)	T₁ (UFC/g)	T <sub>2</sub> (UFC/g)	T <sub>3</sub> (UFC/g)	(UFC/g)
Enumeración Microorganismos Aerobios Viables	21 x 10 <sup>3</sup>	33 x 10 <sup>3</sup>	27 x 10 <sup>3</sup>	24 x 10 <sup>3</sup>	26x10 <sup>3</sup>
Enumeración de Fungí (mohos y Levaduras)	3 x 10 <sup>3</sup>	4 x 10 <sup>3</sup>	3 x 10 <sup>3</sup>	3x10 <sup>3</sup>	3x10 <sup>3</sup>
Enumeración de Actinomicetos	12x10 <sup>3</sup>	13x 10 <sup>3</sup>	12x 10 <sup>3</sup>	8x10 <sup>3</sup>	11x10 <sup>3</sup>

UFC/g: Unidades formadoras de colonias/gramo

## **4.2.** Determinación de las características fisicoquímicas en el biol

# • Temperatura interna



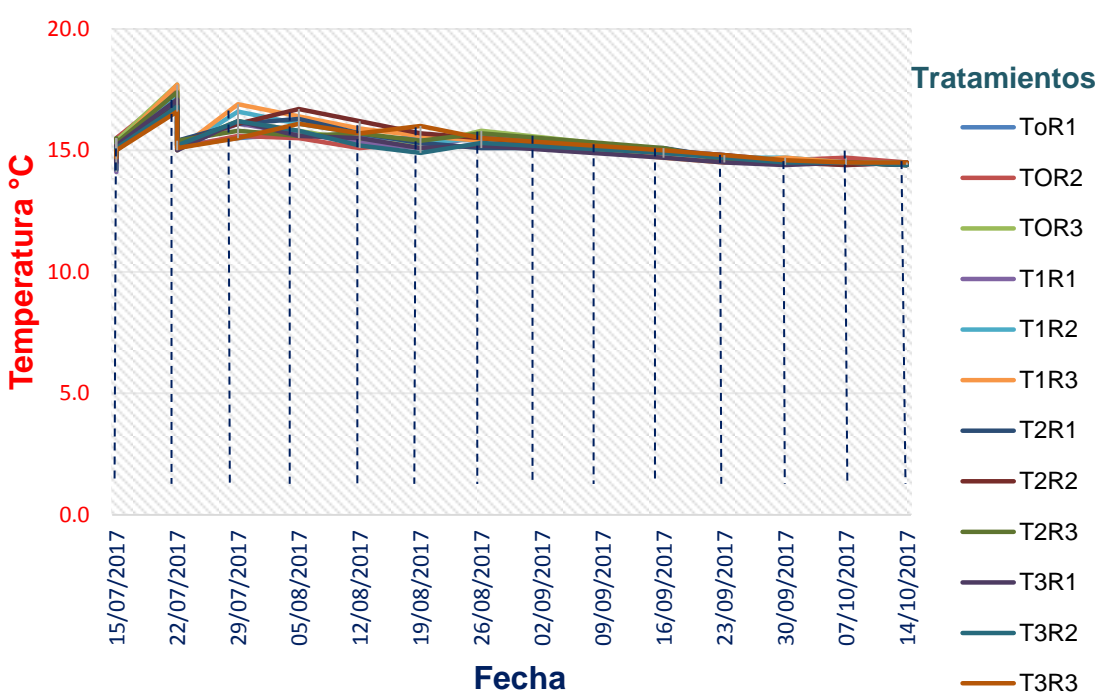


Figura 2. Variación de temperatura (°C) en los tratamientos.

En la Figura 2, se observa la variación de la temperatura interna en el biol en los diversos tratamientos en estudio desde el 15 de agosto del 2017 al 14 de octubre del 2017 siendo un total de noventa (90) dias, en el cual se visualizó un aumento de temperatura interna el cual llega al punto más alto durante todo el tiempo de fermentación anaerobia, sin embargo la curva decae después de la segunda obtención de datos y fluctúa valores entre un rango de 15°C a 17°C, además en la décima obtención de muestreo la temperatura en los tratamientos llega a un punto constante cercano a 15°C y finalmente una curva constante y homogénea hasta el dia de la cosecha para su posterior análisis.

## .pH

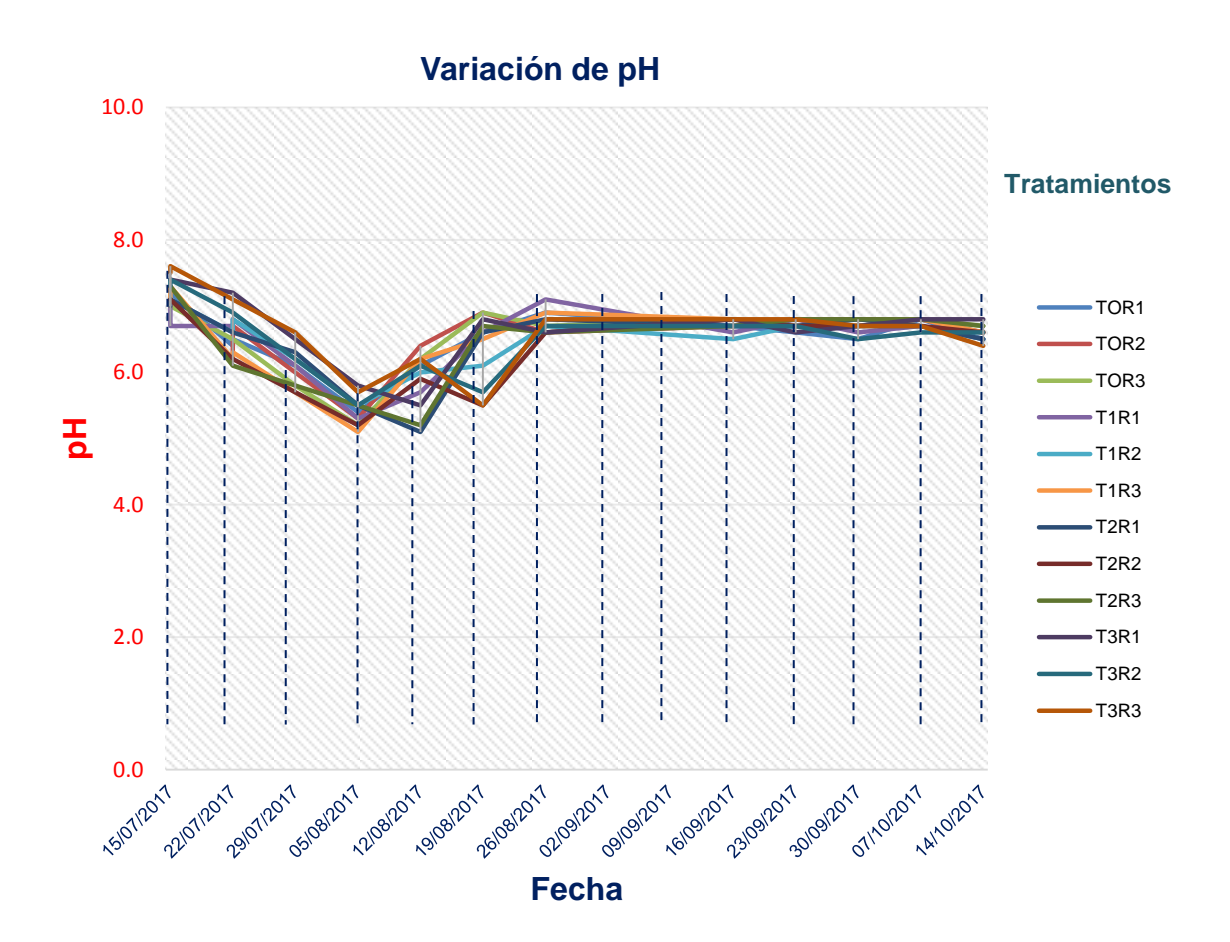


Figura 3. Variación de pH en los tratamientos.

En la Figura 3, se observa la variación del pH en los diferentes tratamientos incluido el testigo con sus respectivas repeticiones desde el 15 de agosto del 2017 al 14 de octubre del 2017, en donde el ph desciende en el primer mes (desde el primer monitoreo hasta el cuarto monitoreo) se observa una decreciente de la curva de pH) produciéndose la etapa de acidogénesis dentro del proceso de fermentación anaerobia el cual alcanzó un valor de pH de 5.0 aproximado, sin embargo, posteriormente en el segundo mes el pH asciende a 6.3 aproximadamente y finalmente el pH fluctuó en un medio neutro hasta el día de la cosecha.

# Nitrógeno (base húmeda)

Hipótesis:

 $H0_N : T_0 = T_1 = T_2 = T_3 ; F \le F_{tab}$ 

 $Hi_N : T_0 \neq T_1 \neq T_2 \neq T_3 ; F > F_{tab}$ 

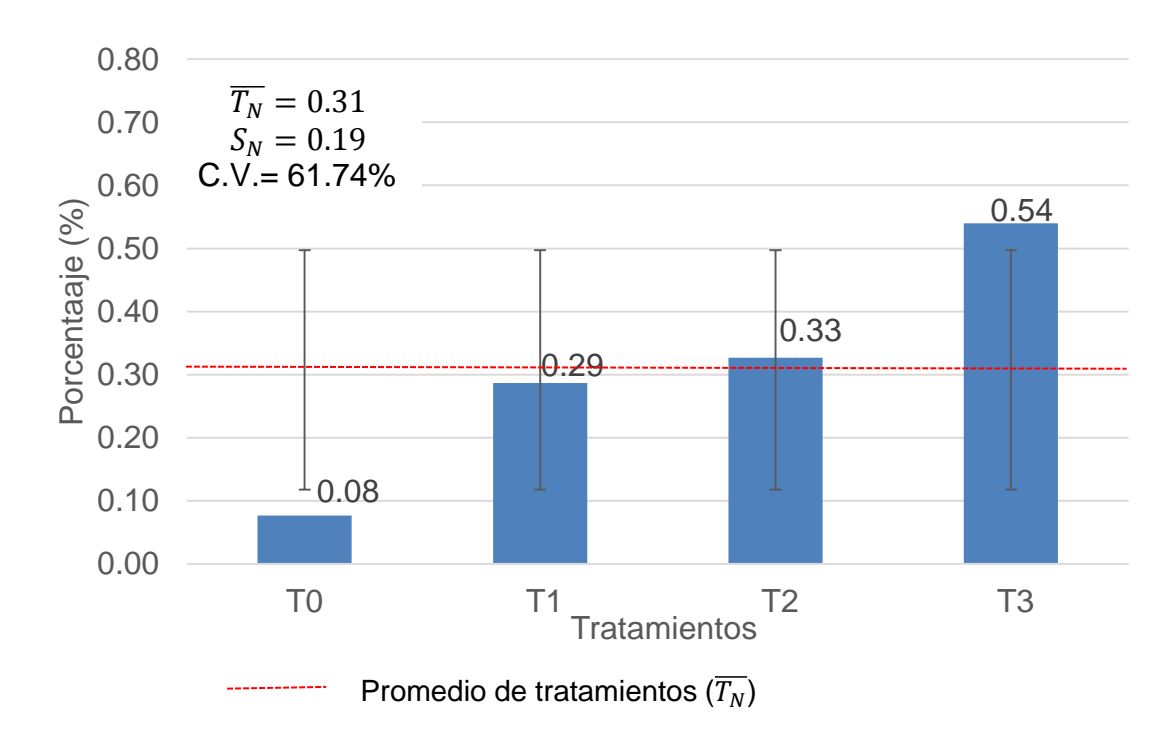


Figura 4. Porcentaje base húmeda del nitrógeno de los tratamientos en el biol.

En la Figura 4, se observa el porcentaje del nitrógeno (base húmeda) en los diferentes tratamientos con un promedio de 0.31% una desviación estándar de 0.19% y el coeficiente de variación entre tratamientos de 61.74% el cual indica que entre tratamiento son muy heterogéneos.

En el Cuadro 11, se calculó el coeficiente de variación del contenido de base húmeda de nitrógeno entre repeticiones de cada tratamiento, en el cual las repeticiones de los tratamientos  $T_0$ ,  $T_1$  y $T_3$  son homogéneos sin embargo, para el tratamiento  $T_2$  existe heterogeneidad entre sus repeticiones

Cuadro 11. Coeficiente de variación del contenido de base húmeda de nitrógeno.

Variable estadística	$T_0$	$T_1$	$T_2$	$T_3$
$\overline{T_{l}}$	0.08	0.29	0.33	0.54
$S_i$	0.01	0.03	0.10	0.03
C.V. (%)	7.53	8.78	29.73	5.56

 $<sup>\</sup>overline{T_i}$ : Promedio por tratamiento

C.V.: Coeficiente de Variación.

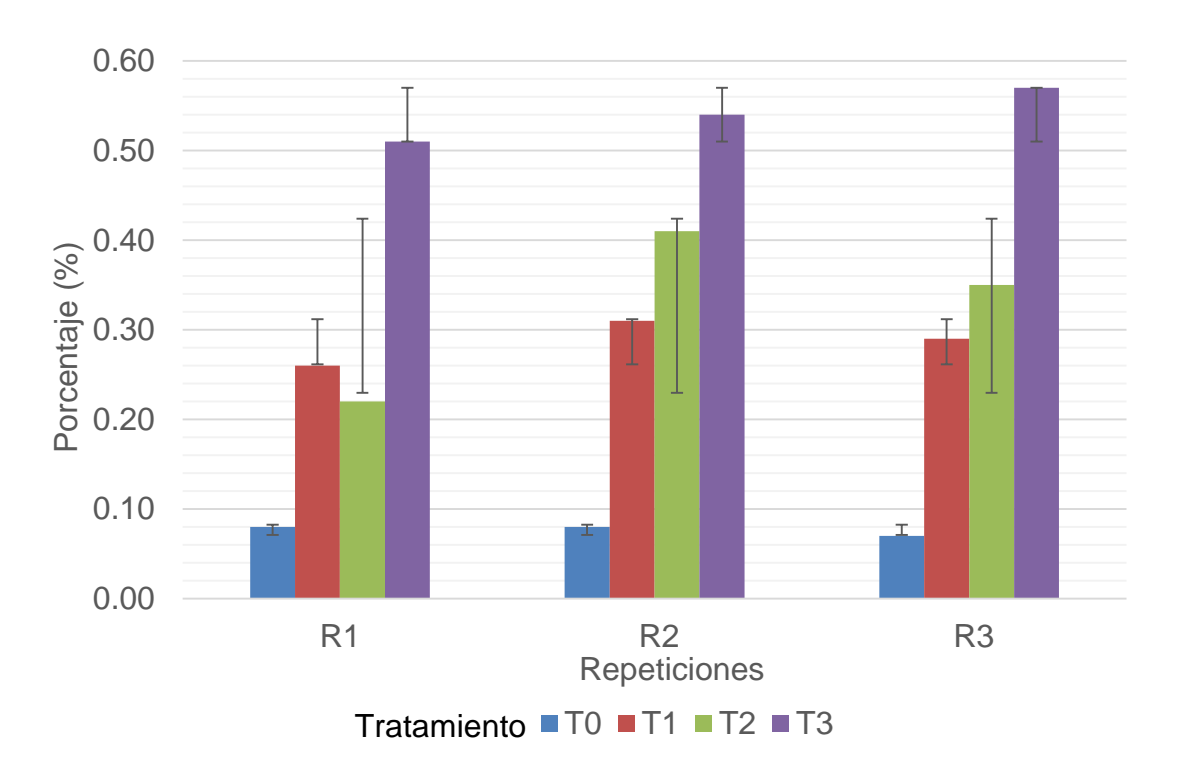


Figura 5. Base húmeda del nitrógeno en los tratamientos y repeticiones del biol

En la Figura 5, se observa la desviación estándar entre los diferentes tratamientos y sus repeticiones en el contenido de base húmeda del nitrógeno.

 $S_i$ : Desviación estándar

En el Cuadro 12, se calculó el análisis de varianza para el contenido de base humedad de nitrógeno para aceptar o rechazar la hipótesis nula  $(H_0)$  a una probabilidad del 95%.

Cuadro 12. Análisis de varianza del contenido de base húmeda de nitrógeno.

Fuente de Variación	Suma de Cuadrado		Cuadrado Medio.	Fisher (F)	Probabilidad	Fisher tabulado
Tratamiento	0.324	3	0.108	39.324	3.90x 10 <sup>-5</sup>	4.066
Error	0.022	8	0.003			
Total	0.346	11				

En el análisis de varianza para en nitrógeno en base húmeda resultó que el F calculado es mayor al F tabulado (F>  $F_{tab}$ ) con una probabilidad menor a 0.05, entonces se rechazó la hipótesis nula ( $H_0$ ). Se realizó la prueba de Tukey con una diferencia honestamente significativa a 0.12 (Cuadro 13).

Cuadro 13. Prueba de Tukey para el contenido de base húmeda de nitrógeno.

Tratamientos	T <sub>0</sub>	T <sub>1</sub>	T <sub>2</sub>	T <sub>3</sub>
To		0.21	0.25	0.46
T <sub>1</sub>			0.04	0.25
T <sub>2</sub>				0.21
T <sub>3</sub>				

La prueba de Tukey se demuestra que existe homogeneidad en el T1 y T2 sin embargo, estos varían con el T0 y el T3 existiendo heterogeneidad.

# Nitrógeno (base seca %)

Hipótesis:

 $H0_N$ :  $T_0=T_1=T_2=T_3$ ;  $F \le F_{tab}$ 

 $Hi_N: T_0 \neq T_1 \neq T_2 \neq T_3$ ;  $F > F_{tab}$ 

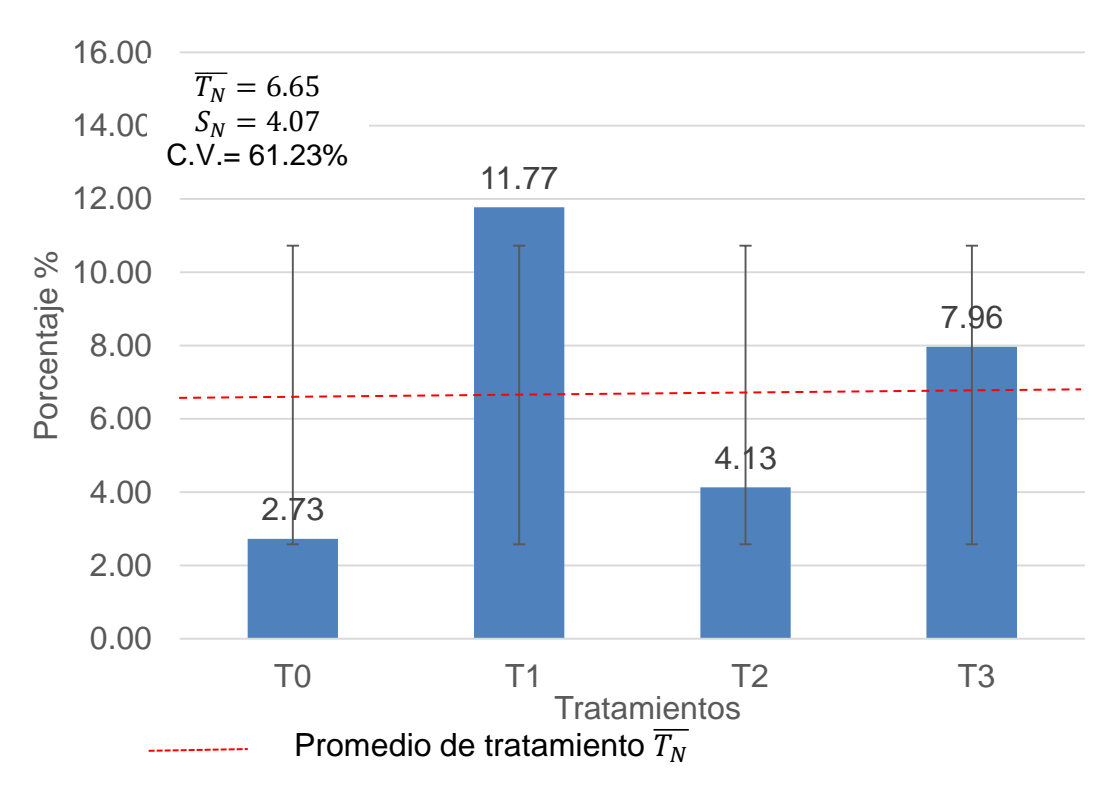


Figura 6. Porcentaje base seca del nitrógeno de los tratamientos en el biol.

En la Figura 6, se observa el porcentaje del nitrógeno (base seca) en los diferentes tratamientos con un promedio de 6.65% una desviación estándar de 4.07% y el coeficiente de variación entre tratamientos de 61.23% el cual indica que entre tratamiento son heterogéneos.

En el Cuadro 14, se calculó el coeficiente de variación del contenido de base seca de nitrógeno entre repeticiones de cada tratamiento, en el cual para el  $T_1$  y  $T_3$  son homogéneos sin embargo, para el  $T_0$  y  $T_2$ , existen heterogeneidad entre repeticiones.

Cuadro 14. Coeficiente de variación del contenido de base seca de nitrógeno.

Variable estadística	$T_0$	$T_1$	$T_2$	$T_3$
$\overline{T}_{t}$	2.73	11.77	4.13	7.96
S	0.71	2.07	1.13	1.56
C.V.	25.89	17.59	27.46	19.56

 $<sup>\</sup>overline{T}_{i}$ : Promedio por tratamiento

C.V.: Coeficiente de Variación.

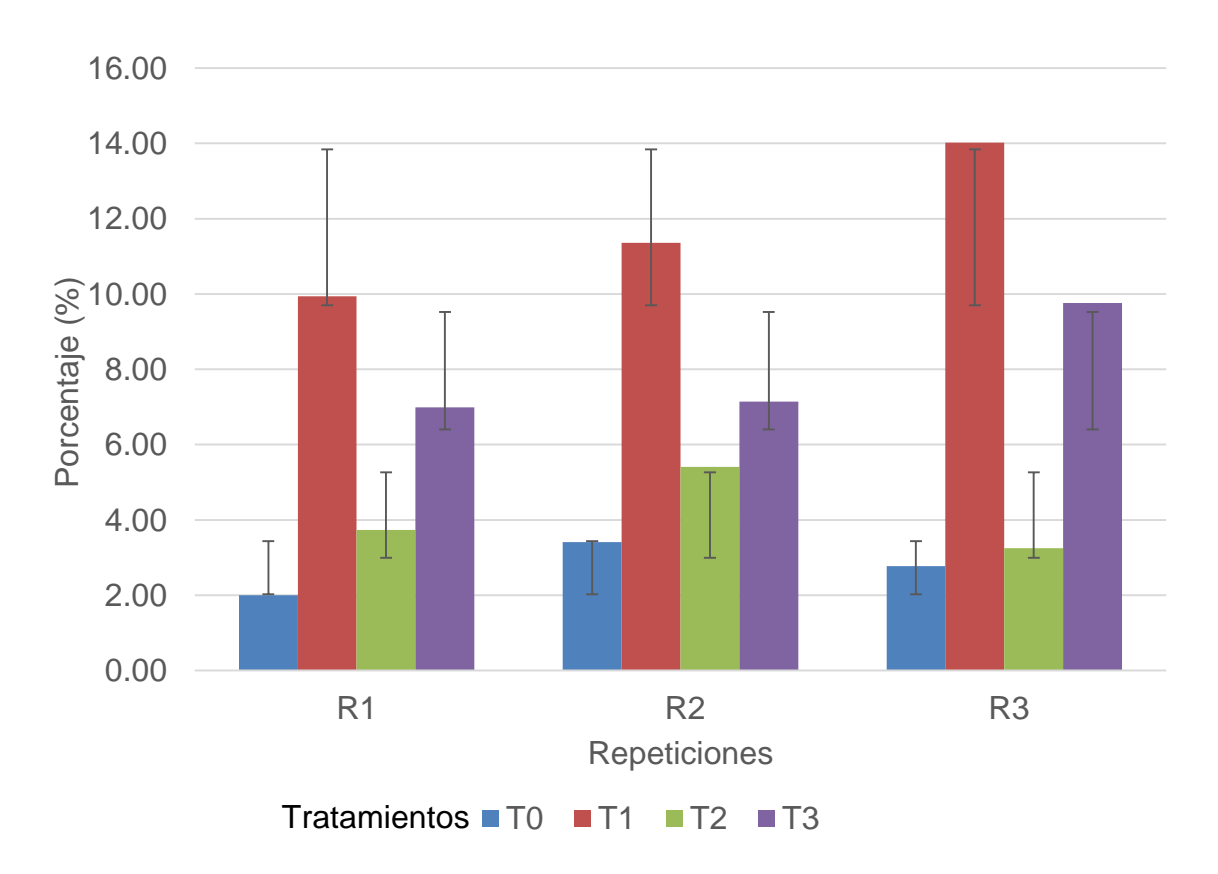


Figura 7. Base seca del nitrógeno de los tratamientos y repeticiones en el biol

En la Figura 7, se observa la desviación estándar entre los diferentes tratamientos y sus repeticiones en el contenido de base seca del nitrógeno.

 $S_i$ : Desviación estándar

En el Cuadro 14, se calculó el análisis de varianza para el contenido de base humedad de nitrógeno para aceptar o rechazar la hipótesis nula ( $H_0$ ) a una probabilidad del 95%.

Cuadro 15. Análisis de varianza del contenido de base seca de nitrógeno.

Fuente de Variación	Suma de Cuadrado			Fisher (F)	Probabilidad	Fisher tabulado
Tratamiento	149.149	3	49.716	23.392	0.00025856	4.066
Error	17.002	8	2.125			
Total	166.151	11				

En el análisis de varianza para en nitrógeno en base húmeda resultó que el F calculado es mayor al F tabulado ( $F > F_{tab}$ ) con una probabilidad menor al 0.05, entonces se rechazó la hipótesis nula ( $H_0$ ) Se realizó la prueba de Tukey con una diferencia honestamente significativa de 3.30 (Cuadro 16). Cuadro 16. Prueba de Tukey para el contenido de base seca de nitrógeno.

La prueba de Tukey se demuestra que existe homogeneidad en el  $T_0$  y  $T_2$  sin embargo, estos varían con el  $T_1$  y el  $T_3$  existiendo heterogeneidad.

# Fósforo (P g/L)

Hipótesis:

$$HO_P: T_0=T_1=T_2=T_3 \; ; \; F \leq F_{tab}$$
 $Hi_P: T_0 \neq T_1 \neq T_2 \neq T_3 \; ; \; F > F_{tab}$ 

0.70

 $\overline{T_P} = 0.34$ 
 $S_P = 0.11$ 
 $C.V.= 30.90\%$ 

0.40

0.40

0.40

0.40

0.27

0.25

0.10

To T1 TratamientosT2 T3

Promedio de tratamiento  $\overline{T_P}$ 

Figura 8. Cantidad de fósforo en los bioles.

En la Figura 8, se observa la cantidad de fósforo en los diferentes tratamientos con un promedio de 0.34 g/L, una desviación estándar de 0.11 g/L y el coeficiente de variación entre tratamientos de 30.90% el cual indica que entre tratamiento son heterogéneos.

En el Cuadro 16, se calculó el coeficiente de variación del contenido de fósforo entre repeticiones de cada tratamiento, resultando el  $T_0$  homogéneo pero para el  $T_1$ ,  $T_2$  y  $T_3$  existe heterogeneidad entre repeticiones

Cuadro 17. Coeficiente de variación del contenido de fósforo.

Variable estadística	$T_0$	$T_1$	$T_2$	$T_3$
$\overline{T}_t$	0.27	0.48	0.25	0.36
S	0.04	0.26	0.12	0.14
C.V.	13.85	53.65	49.96	37.47

 $<sup>\</sup>overline{T}_{i}$ : Promedio por tratamiento

C.V.: Coeficiente de Variación.

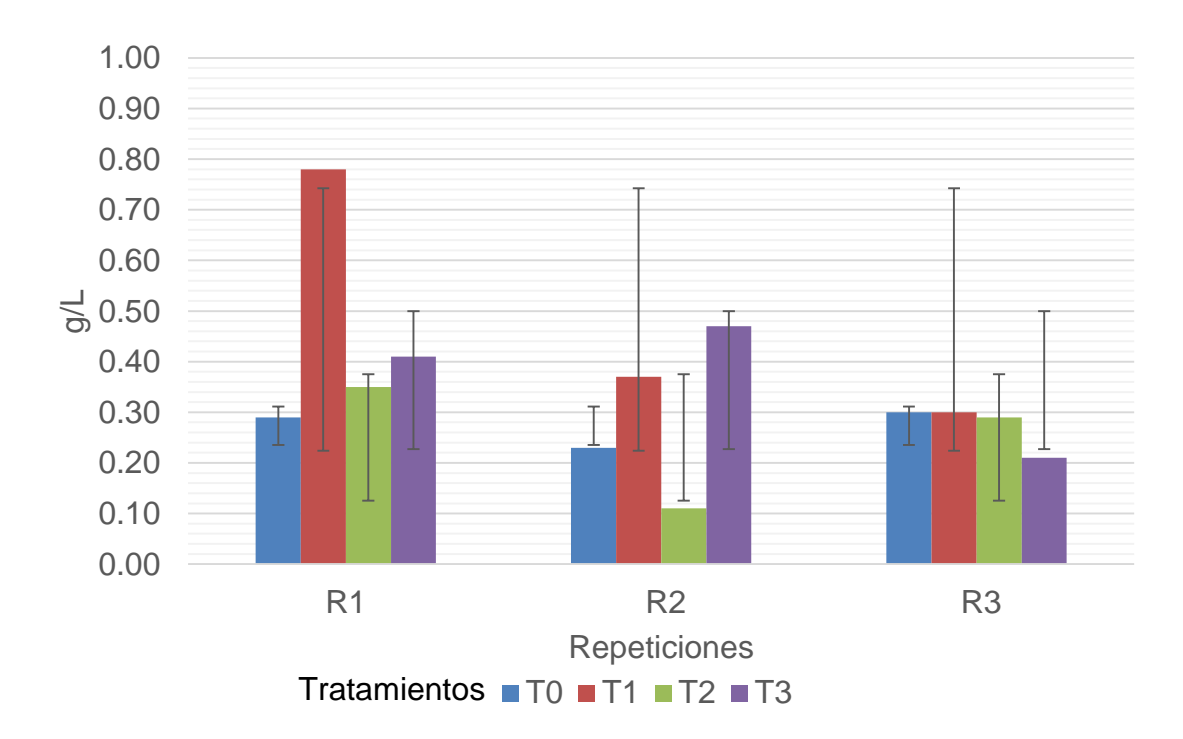


Figura 9. Cantidad de fósforo en los tratamientos y repeticiones en el biol

En la Figura 9, se observa la desviación estándar entre los diferentes tratamientos y sus repeticiones en el contenido de fosforo en el cual entre repeticiones de cada tratamiento son heterogéneos.

En el Cuadro 18, se calculó el análisis de varianza para el contenido de fósforo para aceptar o rechazar la hipótesis nula (H<sub>0</sub>).

 $S_i$ : Desviación estándar

Cuadro 18. Análisis de varianza del contenido de fósforo.

Fuente de Variación		Grado de Libertad.	Cuadrado Medio.	Fisher (F)	Probabilidad	Fisher tabulado
Tratamiento	0.101	3	0.034	1.308	0.337	4.066
Error	0.206	8	0.026			
Total	0.306	11				

En el análisis de varianza con una probabilidad del 95% para en fósforo resultó que el F calculado es menor que F tabulado ( $F < F_{tab}$ ) con una probabilidad mayor al 0.05, entonces se aceptó la hipótesis nula (H0).

# • Calcio (Ca mg/L)

# Hipótesis:

$$H0_{Ca}: T_0=T_1=T_2=T_3; F \le F_{tab}$$

$$Hi_{Ca}: T_0 \neq T_1 \neq T_2 \neq T_3$$
; F >  $F_{tab}$ 

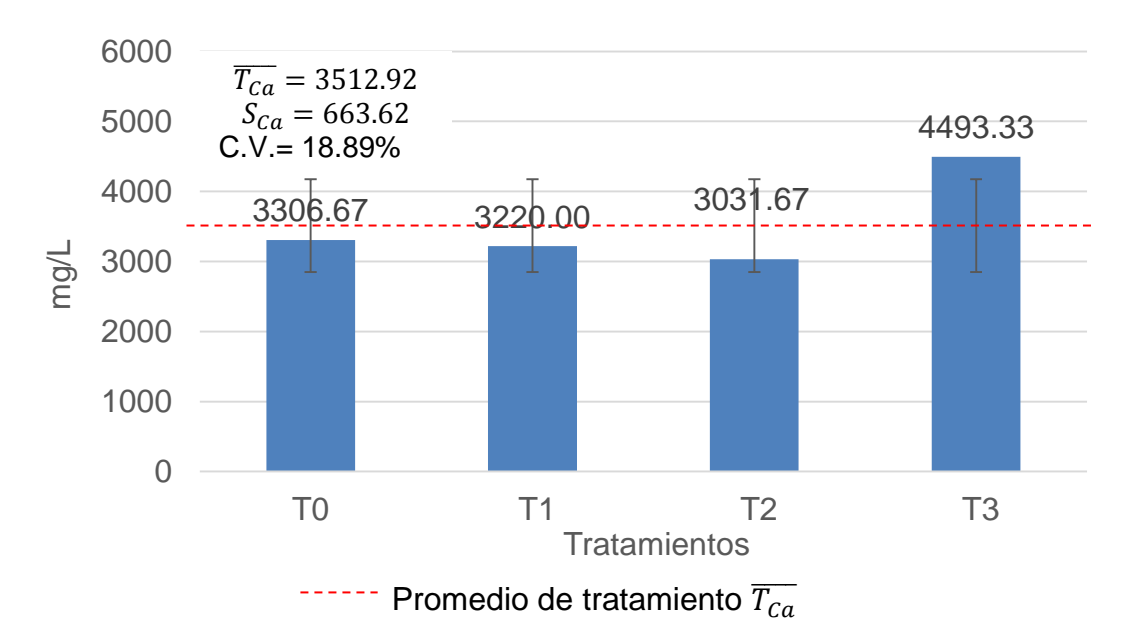


Figura 10. Cantidad de calcio en los tratamientos en el biol.

En la Figura 10, se observa la cantidad de calcio en los diferentes tratamientos con un promedio de 3512.92 mg/L, una desviación estándar de 663.62 mg/L y el coeficiente de variación entre tratamientos de 18.89% el cual indica que entre tratamiento son homogéneos.

. En el Cuadro 19, se calculó el coeficiente de variación del contenido de fósforo entre repeticiones de cada tratamiento, resultando el  $T_0$ ,  $T_1$  y  $T_2$  homogéneos pero para el  $T_3$  existe heterogeneidad entre repeticiones Cuadro 19. Coeficiente de variación del contenido de calcio.

Variable estadística	$T_0$	$T_1$	$T_2$	$T_3$
$\overline{T}_{\iota}$	3306.67	3220.00	3031.67	4493.33
S	212.62	338.67	123.32	3124.37
<i>C.V.</i>	6.43	10.52	4.07	69.53

 $<sup>\</sup>overline{T}_i$ : Promedio por tratamiento

C.V.: Coeficiente de Variación.

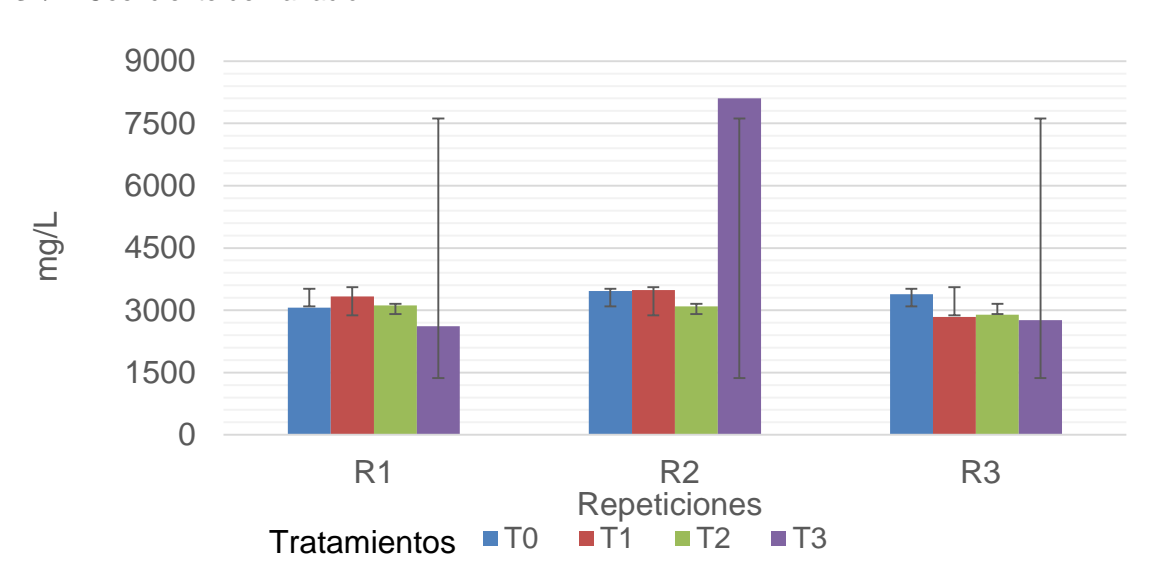


Figura 11. Cantidad de calcio en los tratamientos y repeticiones en el biol

 $S_i$ : Desviación estándar

En la Figura 11, se observa la desviación estándar entre los diferentes tratamientos y sus repeticiones en el contenido de calcio.

Cuadro 20. Análisis de varianza del contenido de calcio.

Fuente de Variación	Suma de Cuadrado	Grado de Libertad.	Cuadrado Medio.	Fisher (F)	Probabilidad	Fisher tabulado
Tratamiento	3963472.9	3	1321157.6	0.532	0.673	4.066
Error	19873550.0	8	2484193.8			
Total	23837022.9	11				

En el análisis de varianza para en calcio resultó que el F calculado es menor que F tabulado (F<F<sub>tab</sub>) se aceptó la hipótesis nula (H<sub>0</sub>).

# Potasio (K mg/L)

# Hipótesis:

$$H0_{K}: T_{0}=T_{1}=T_{2}=T_{3} ; F \leq F_{tab}$$
  $Hi_{K}: T_{0}\neq T_{1}\neq T_{2}\neq T_{3} ; F > F_{tab}$ 

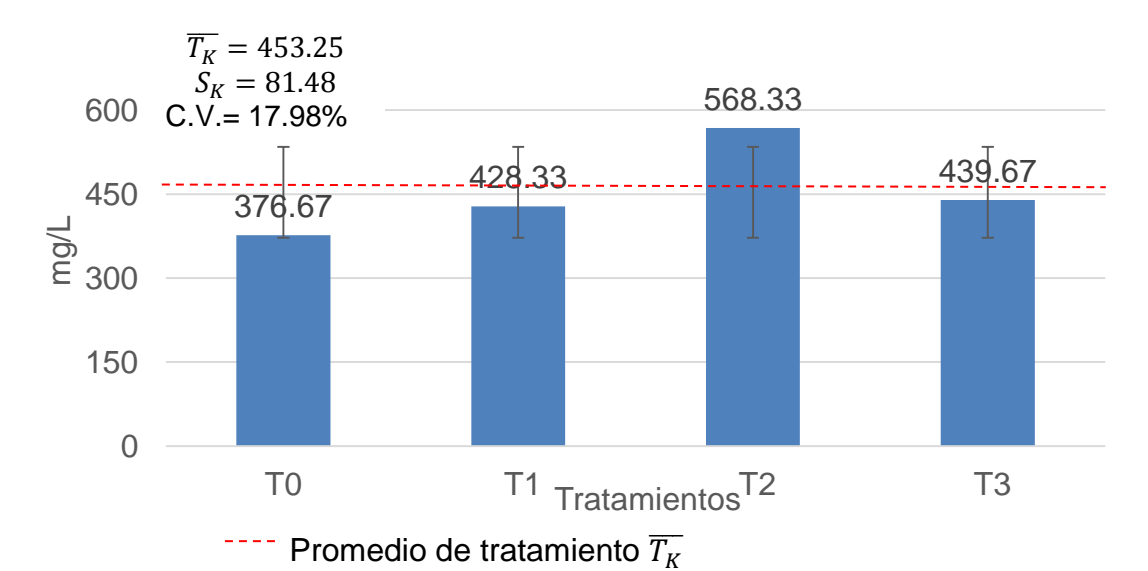


Figura 12. Cantidad de potasio en los bioles.

En la Figura 12, se observa la cantidad de fósforo en los diferentes tratamientos con un promedio de 453.25 mg/L, una desviación estándar de 81.48 mg/L y el coeficiente de variación entre tratamientos de 17.98% el cual indica que entre tratamiento son homogéneos.

En el Cuadro 21, se calculó el coeficiente de variación del contenido de potasio entre repeticiones de cada tratamiento, resultando el  $T_0$ , y  $T_3$  homogéneos pero para el  $T_1$  y $T_3$  existe heterogeneidad entre sus repeticiones.

Cuadro 21. Coeficiente de variación del contenido de potasio.

Variable estadística	$T_0$	$T_1$	$T_2$	$T_3$
$\overline{T_{\iota}}$	376.67	428.33	568.33	439.67
S	53.46	140.48	309.89	13.43
<i>C.V.</i>	14.19	32.80	54.53	3.05

 $<sup>\</sup>overline{T}_i$ : Promedio por tratamiento

C.V.: Coeficiente de Variación.

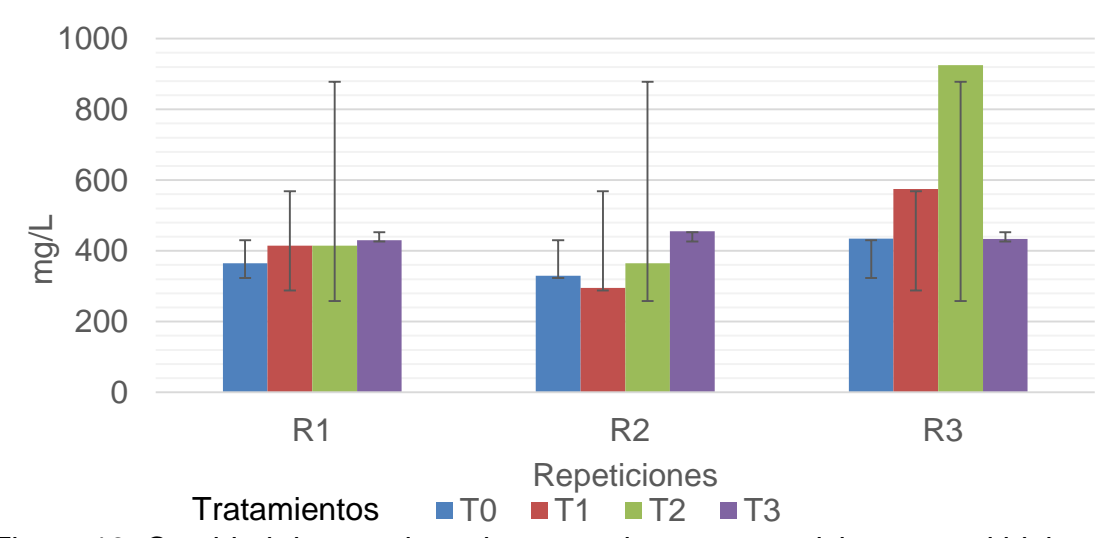


Figura 13. Cantidad de potasio en los tratamientos y repeticiones en el biol

 $S_i$ : Desviación estándar

En la Figura 13, se observa la desviación estándar entre los diferentes tratamientos y sus repeticiones en el contenido de potasio.

Cuadro 22. Análisis de varianza del contenido de potasio.

Fuente de Variación		Grado de Libertad.	Cuadrad o Medio.	Fisher (F)	Probabilida d	Fisher tabulado
Tratamiento	59743.6	3	19914.53	0.67	0.594	4.06
Error	237610.6	8	29701.33			
Total	297354.2	11				

En el análisis de varianza para el potasio resultó que el F calculado es menor que F tabulado ( $F < F_{tab}$ ) se aceptó la hipótesis nula (H0).

# Sodio (Na mg /L)

 $H0_{Na}: T_0=T_1=T_2=T_3; F \le F_{tab}$ 

# Hipótesis:

 $Hi_{Na}: T_0 \neq T_1 \neq T_2 \neq T_3$ ; F >  $F_{tab}$  $\overline{T_{Na}} = 1.62$   $S_{Na} = 0.63$ C.V.= 39.09% 3.00 2.03 1.73 2.<del>0</del>3 2.00 mg/L 1.00 0.69 0.00 T0 T1 T2 Т3 Tratamientos Promedio de tratamiento  $\overline{T_{Na}}$ 

Figura 14. Cantidad de sodio en los bioles.

En la Figura 14, se observa la cantidad de sodio en los diferentes tratamientos con un promedio de 1.62 una desviación estándar de 0.63 y el coeficiente de variación entre tratamientos de 39.09% el cual indica que entre tratamiento son heterogéneos.

En el Cuadro 23, se calculó el coeficiente de variación del contenido de potasio entre repeticiones de cada tratamiento, resultando el  $T_2$  es homogéneo pero para el  $T_0$  y  $T_1$  existe heterogeneidad entre sus repeticiones y para el  $T_3$  existe mucha heterogeneidad entre sus datos.

Cuadro 23. Coeficiente de variación del contenido de sodio.

Variable estadística	$T_0$	$T_1$	$T_2$	$T_3$
$\overline{T}_{t}$	2.03	1.73	2.03	0.69
S	0.55	0.68	0.07	0.68
C.V.	27.28	39.30	3.36	98.18

 $<sup>\</sup>overline{T}_i$ : Promedio por tratamiento

C.V.: Coeficiente de Variación.

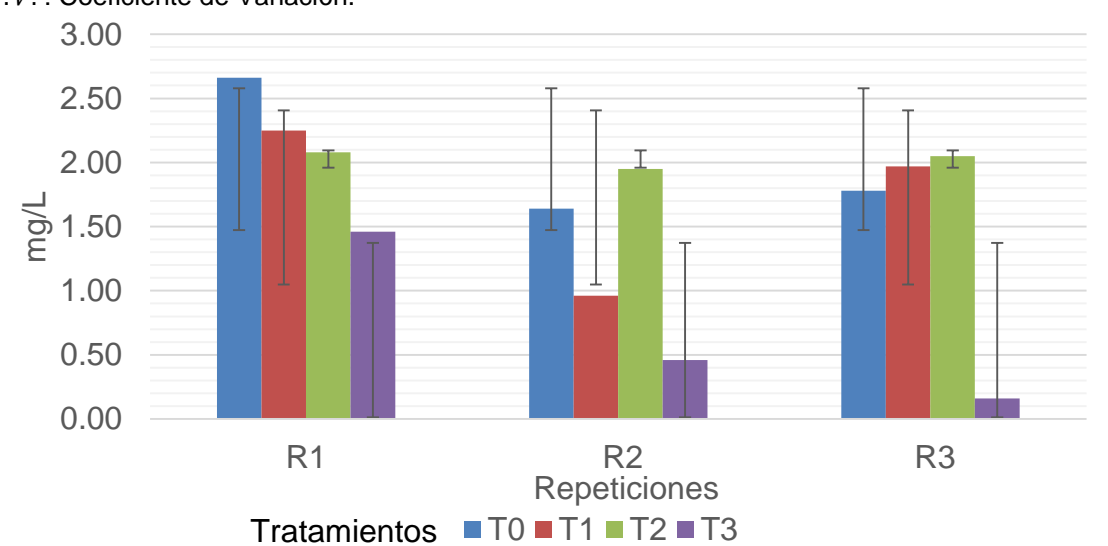


Figura 15. Cantidad de sodio en los tratamientos y repeticiones en el biol

 $S_i$ : Desviación estándar

En la Figura 15, se observa la desviación estándar entre los diferentes tratamientos y sus repeticiones en el contenido de sodio.

En el Cuadro 23, se calculó el análisis de varianza para el contenido de sodio para aceptar o rechazar la hipótesis nula (H<sub>0</sub>).

Cuadro 24. Análisis de varianza del contenido de sodio.

Fuente de Variación	Suma de Cuadrado		Cuadrado Medio.	Fisher (F)	Probabilidad	Fisher tabulado
Tratamiento	3.60	3	1.201	3.9	0.055	4.06
Error	2.47	8	0.309			
Total	6.07	11				

En el análisis de varianza para el sodio resultó que el F calculado es menor al F tabulado ( $F < F_{tab}$ ) con una probabilidad mayor al 0.05, entonces se aceptó la hipótesis nula ( $H_0$ ).

Se realizó la prueba de Tukey con una diferencia honestamente significativa de 1.25 (Cuadro 25).

Cuadro 25. Prueba de Tukey para el contenido de sodio.

Tratamientos	T <sub>0</sub>	T <sub>1</sub>	T <sub>2</sub>	T <sub>3</sub>
To		0.30	0.00	1.33
T <sub>1</sub>			0.30	1.03
T <sub>2</sub>				1.33
T <sub>3</sub>				

# Magnesio (Mg mg / L)

Hipótesis:

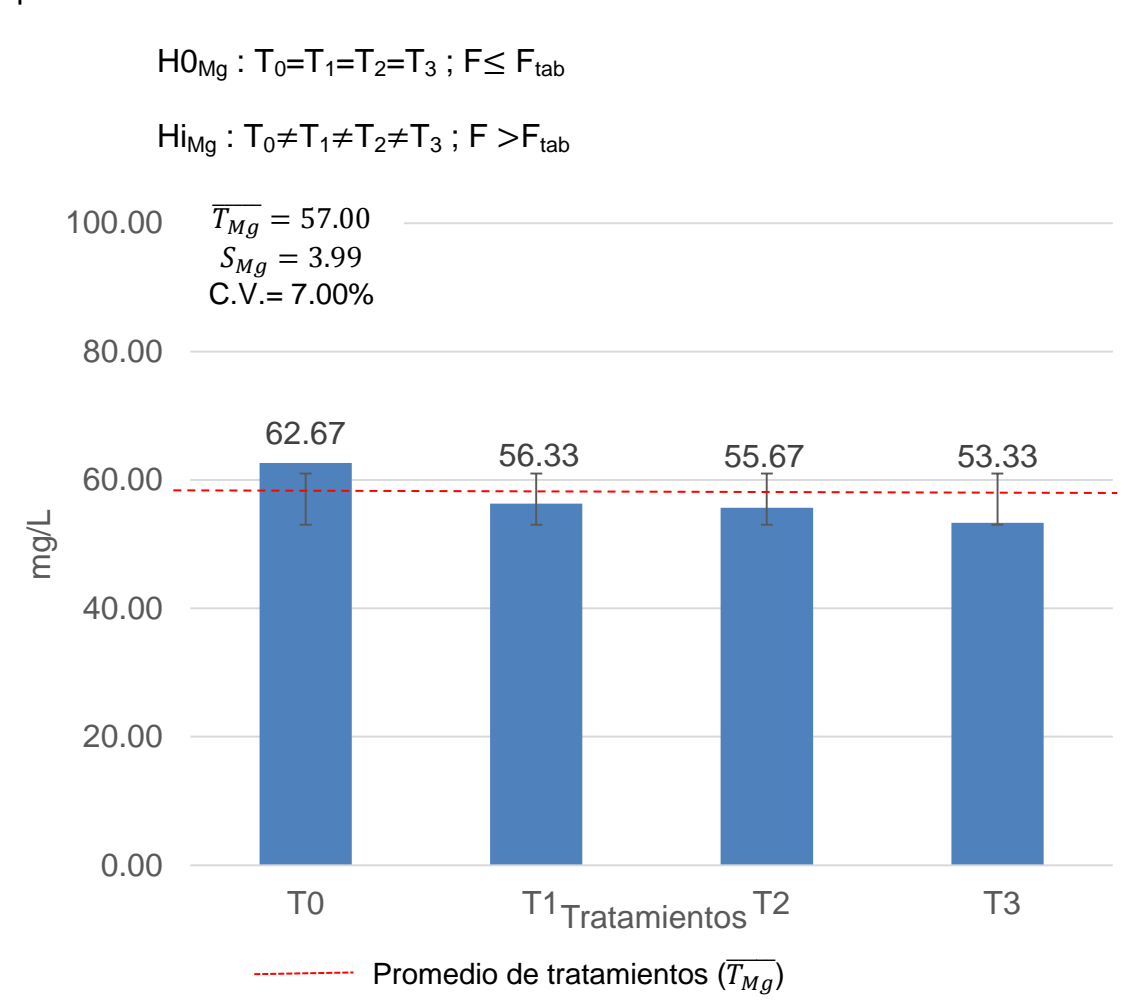


Figura 16. Cantidad de magnesio en los bioles.

En la Figura 16, se observa la cantidad de magnesio en los diferentes tratamientos con un promedio de 57 mg/L, una desviación estándar de 3.99 mg/L y el coeficiente de variación entre tratamientos de 7.00% el cual indica que entre tratamiento son homogéneos

En el Cuadro 26, se calculó el coeficiente de variación del contenido de magnesio entre repeticiones de cada tratamiento, resultando que todos los tratamientos son homogéneos.

Cuadro 26. Coeficiente de variación del contenido de magnesio.

Variable estadística	$T_0$	$T_1$	$T_2$	$T_3$
$\overline{T}_t$	62.67	56.33	55.67	53.33
S	4.51	5.69	2.31	3.51
C.V.	7.20	10.09	4.15	6.58

 $<sup>\</sup>overline{T}_i$ : Promedio por tratamiento

C.V.: Coeficiente de Variación.

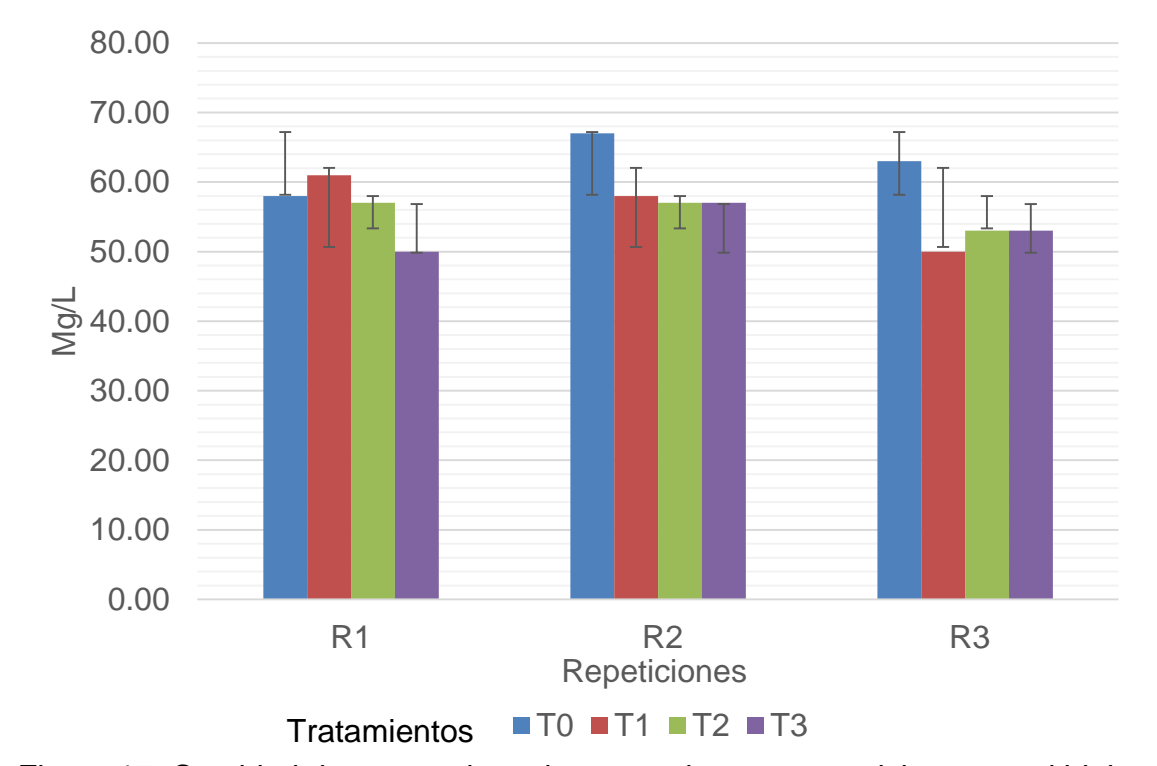


Figura 17. Cantidad de magnesio en los tratamientos y repeticiones en el biol

En la Figura 17, se observa la desviación estándar entre los diferentes tratamientos y sus repeticiones en el contenido de magnesio en el cual entre repeticiones de cada tratamiento son homogéneos.

 $S_i$ : Desviación estándar

En el Cuadro 27, se calculó el análisis de varianza para el contenido de magnesio para aceptar o rechazar la hipótesis nula  $(H_0)$ .

Cuadro 27. Análisis de varianza del contenido de magnesio.

Fuente de Variación	Suma de Cuadrado	Grado de Libertad.	Cuadrado Medio.	F.	Probabilidad	Fisher tabulado
Tratamiento	143.3	3	47.7	2.72	0.115	4.06
Error	140.7	8	17.6			
Total	284	11				

En el análisis de varianza para el magnesio resultó que el F calculado es menor al F tabulado ( $F < F_{tab}$ ) con una probabilidad mayor al 0.05, entonces se aceptó la hipótesis nula ( $H_0$ ).

# • Cobre (Cu mg/L)

#### Hipótesis:

$$H0_{Cu}: T_0=T_1=T_2=T_3 ; F \le F_{tab}$$

$$Hi_{Cu}: T_0 \neq T_1 \neq T_2 \neq T_3$$
; F >  $F_{tab}$ 

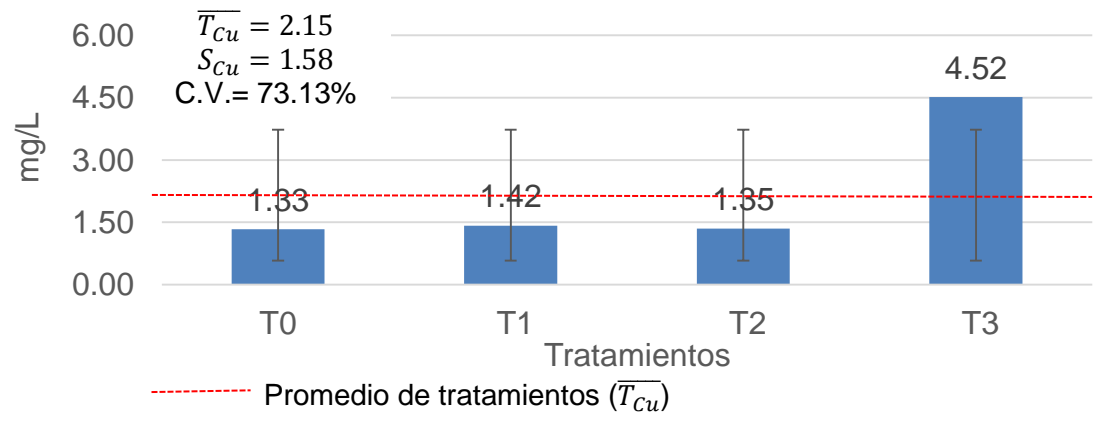


Figura 18. Cantidad de cobre en los bioles.

En la Figura 18, se observa la cantidad de fósforo en los diferentes tratamientos con un promedio de 2.15 mg/L, una desviación estándar de 1.58 mg/L y el coeficiente de variación entre tratamientos de 73.13% el cual indica que entre tratamiento son heterogéneos.

En el Cuadro 28, se calculó el coeficiente de variación del contenido de cobre entre repeticiones de cada tratamiento, resultando que todos los tratamientos son heterogéneos.

Cuadro 28. Coeficiente de variación del contenido de cobre

Variable estadística	$T_0$	$T_1$	$T_2$	$T_3$
$\overline{T}_{t}$	1.33	1.42	1.35	4.52
S	0.29	1.38	0.56	2.15
C.V.	21.65	97.19	41.74	47.62

 $<sup>\</sup>overline{T}_i$ : Promedio por tratamiento

C.V.: Coeficiente de Variación.

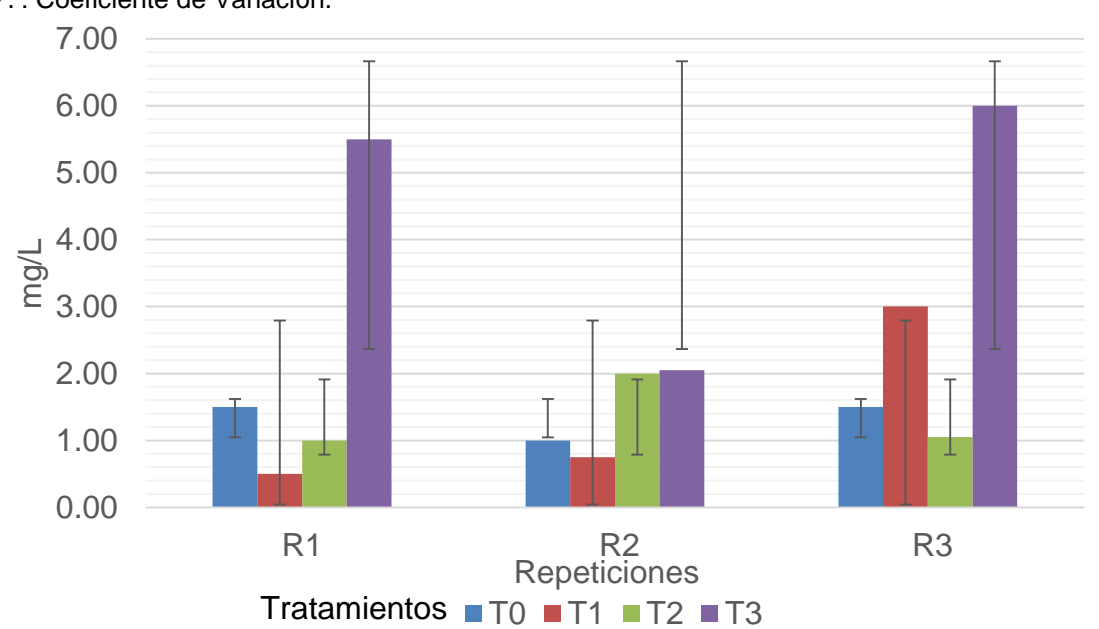


Figura 19. Cantidad de cobre en los tratamientos y repeticiones en el biol

 $S_i$ : Desviación estándar

En la Figura 19, se observa la desviación estándar entre los diferentes tratamientos y sus repeticiones en el contenido de cobre en el cual entre repeticiones de cada tratamiento son heterogéneos.

En el Cuadro 29, se calculó el análisis de varianza para el contenido de cobre para aceptar o rechazar la hipótesis nula (H<sub>0</sub>).

Cuadro 29. Análisis de varianza del contenido de cobre.

Fuente de Variación	Suma de Cuadrado	Grado de Libertad.	Cuadrado Medio.	F	Probabilidad	Fisher tabulado
Tratamiento	22.34	3	7.45	4.3	0.044	4.066
Error	13.84	8	1.73			
Total	36.18	11				

En el análisis de varianza para el cobre resultó que el F calculado es mayor al F tabulado (F> F<sub>tab</sub>) con una probabilidad menor al 0.05, entonces se rechazó la hipótesis nula (H<sub>0</sub>). Se realizó la prueba de Tukey con una diferencia honestamente significativa de 2.98 (Cuadro 30).

Cuadro 30. Prueba de Tukey para el contenido de cobre.

Tratamientos	T <sub>0</sub>	T <sub>1</sub>	T <sub>2</sub>	T <sub>3</sub>
T <sub>O</sub>		0.08	0.02	3.18
T <sub>1</sub>			0.07	3.10
T <sub>2</sub>				3.17
T <sub>3</sub>				

# • Hierro (Fe mg/L)

Hipótesis:

$$H0_{Fe}: T_0=T_1=T_2=T_3$$
;  $F \le F_{tab}$ 

$$Hi_{Fe}: T_0 \neq T_1 \neq T_2 \neq T_3$$
;  $F > F_{tab}$ 

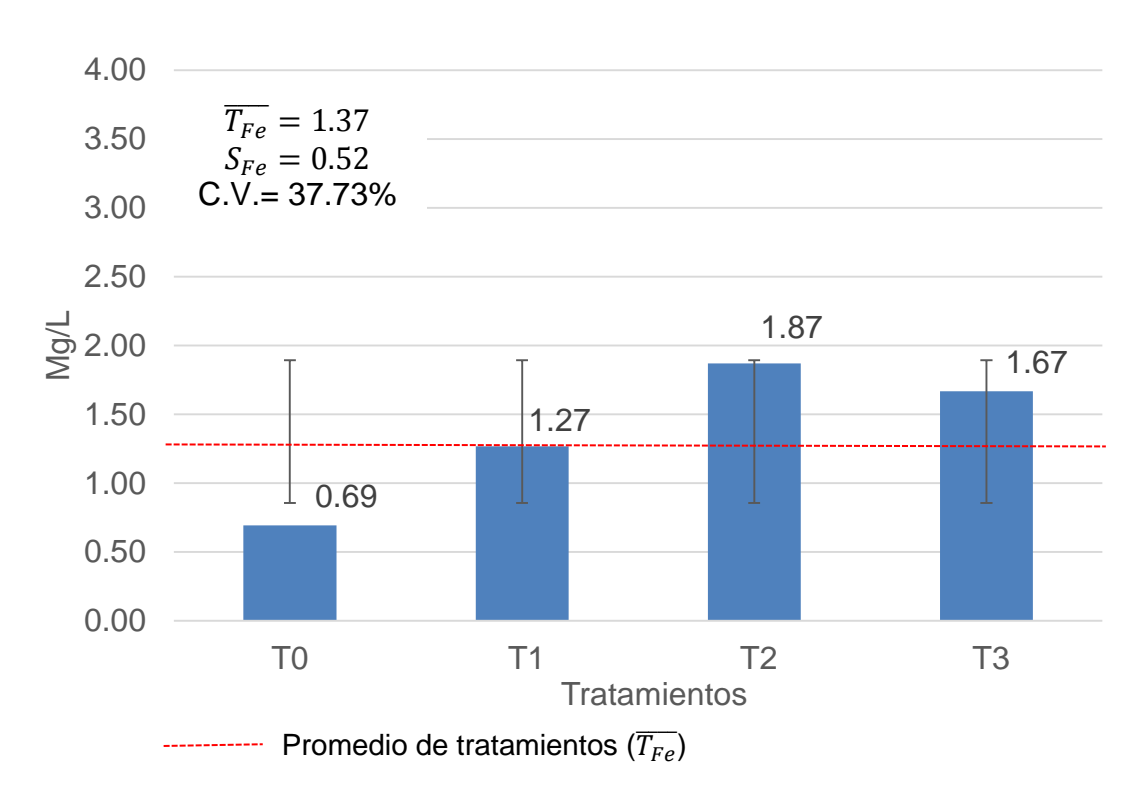


Figura 20. Cantidad de hierro en los bioles.

En la Figura 20, se observa la cantidad de hierro en los diferentes tratamientos con un promedio de 1.37 una desviación estándar de 0.52 y el coeficiente de variación entre tratamientos de 37.73% el cual indica que entre tratamiento son heterogéneos.

En el Cuadro 31, se calculó el coeficiente de variación del contenido de base húmeda de nitrógeno entre repeticiones de cada tratamiento, en el cual las repeticiones de los tratamientos  $T_0$ ,  $T_1$  y $T_3$  son homogéneos sin embargo, para el tratamiento  $T_2$  existe heterogeneidad entre sus repeticiones

Cuadro 31. Coeficiente de variación del contenido de hierro.

Variable estadística	$T_0$	$T_1$	$T_2$	$T_3$
$\overline{T}_{t}$	0.69	1.27	1.87	1.67
S	0.92	0.23	0.19	0.29
<i>C.V.</i>	131.99	17.80	10.24	17.32

 $<sup>\</sup>overline{T}_i$ : Promedio por tratamiento

C.V.: Coeficiente de Variación.

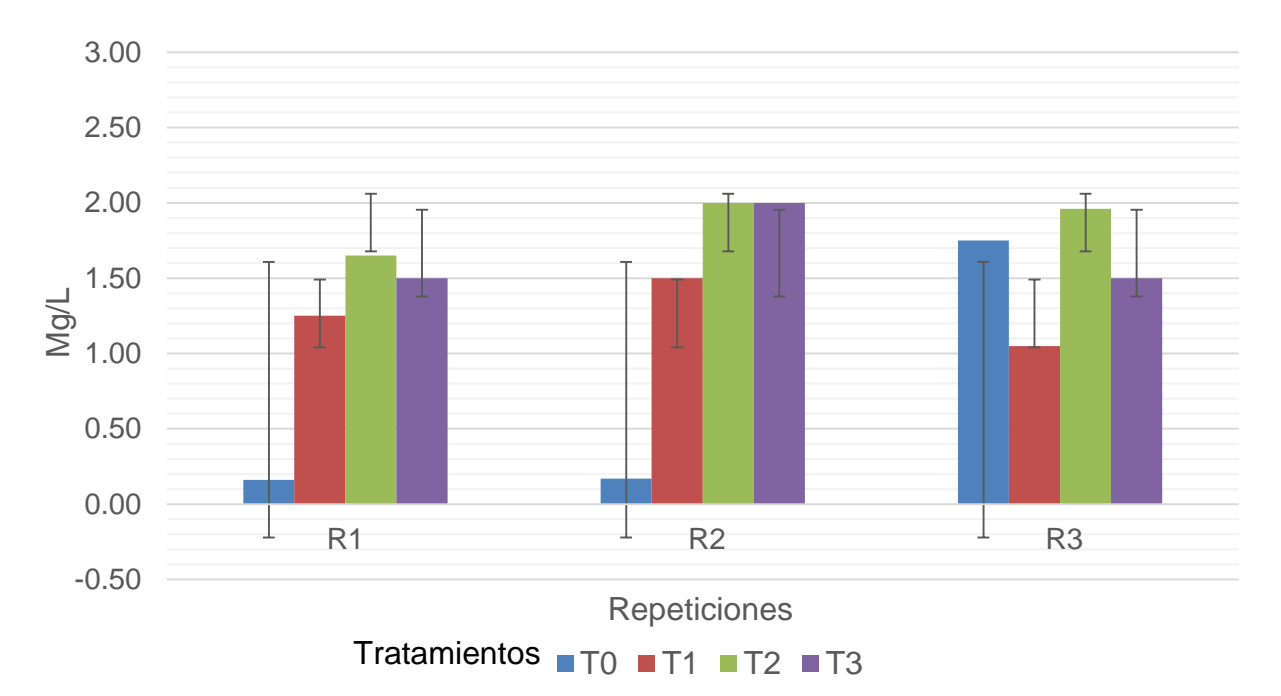


Figura 21. Contenido de hierro en los tratamientos y repeticiones en el biol

En la Figura 21, se observa la desviación estándar entre los diferentes tratamientos y sus repeticiones en el contenido de base húmeda del nitrógeno en el cual entre repeticiones de cada tratamiento son homogéneos.

En el Cuadro 32, se calculó el análisis de varianza para el contenido de hierro para aceptar o rechazar la hipótesis nula (H<sub>0</sub>).

 $S_i$ : Desviación estándar

Cuadro 32. Análisis de varianza del contenido de hierro.

Fuente de Variación	Suma de Cuadrado		Cuadrado Medio.	F	Probabilidad	Fisher tabulado
Tratamiento	2.42	3	0.806	3.2	0.08	4.06
Error	2.01	8	0.252			
Total	4.43	11				

En el análisis de varianza para el hierro resultó que el F calculado es menos al F tabulado (F< F<sub>tab</sub>) con una probabilidad mayor al 0.05, entonces se acepta la hipótesis nula (H<sub>0</sub>).

# • Zinc (Zn mg/ L)

# Hipótesis:

$$H0_{Zn}: T_0=T_1=T_2=T_3 \; ; \; F \leq F_{tab}$$

$$Hi_{Zn}: T_0 \neq T_1 \neq T_2 \neq T_3$$
; F >  $F_{tab}$ 

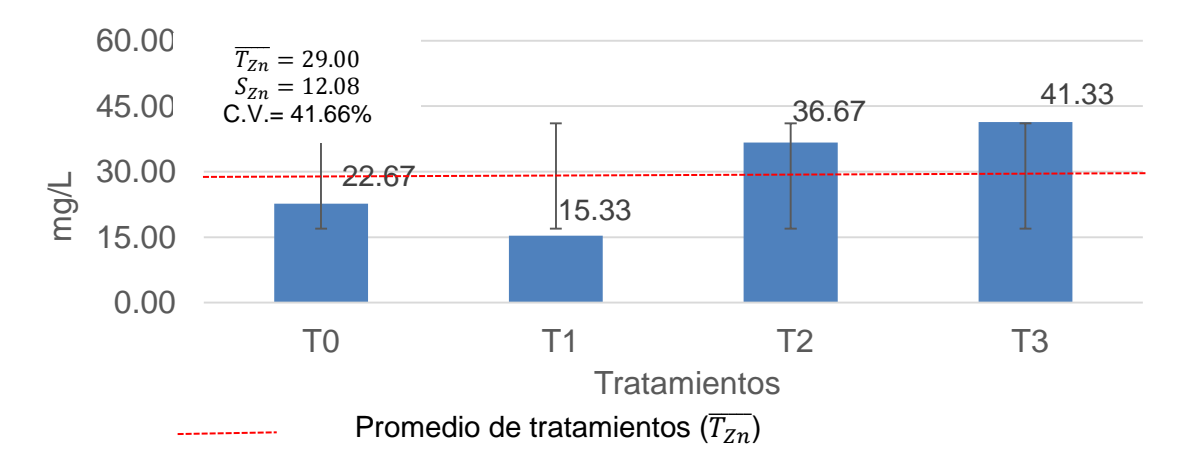


Figura 22. Cantidad de zinc en los bioles.

En la Figura 22, se observa la cantidad de zinc en los diferentes tratamientos con un promedio de 29.00 mg/L, una desviación estándar de 12.08 mg/L y el coeficiente de variación entre tratamientos de 41.66% el cual indica que entre tratamiento son heterogéneos.

En el Cuadro 33, se calculó el coeficiente de variación del contenido de zinc entre repeticiones de cada tratamiento, resultando que el  $T_0$  y  $T_2$  son homogéneos y el  $T_1$  y $T_3$  son heterogéneos.

Cuadro 33. Coeficiente de variación del contenido de zinc.

Variable estadística	$T_0$	$T_1$	$T_2$	$T_3$
$\overline{T_{\iota}}$	22.67	15.33	36.67	41.33
S	3.79	1.15	10.41	11.93
C.V.	16.70	7.53	28.39	28.86

 $<sup>\</sup>overline{T}_{i}$ : Promedio por tratamiento

C.V.: Coeficiente de Variación.

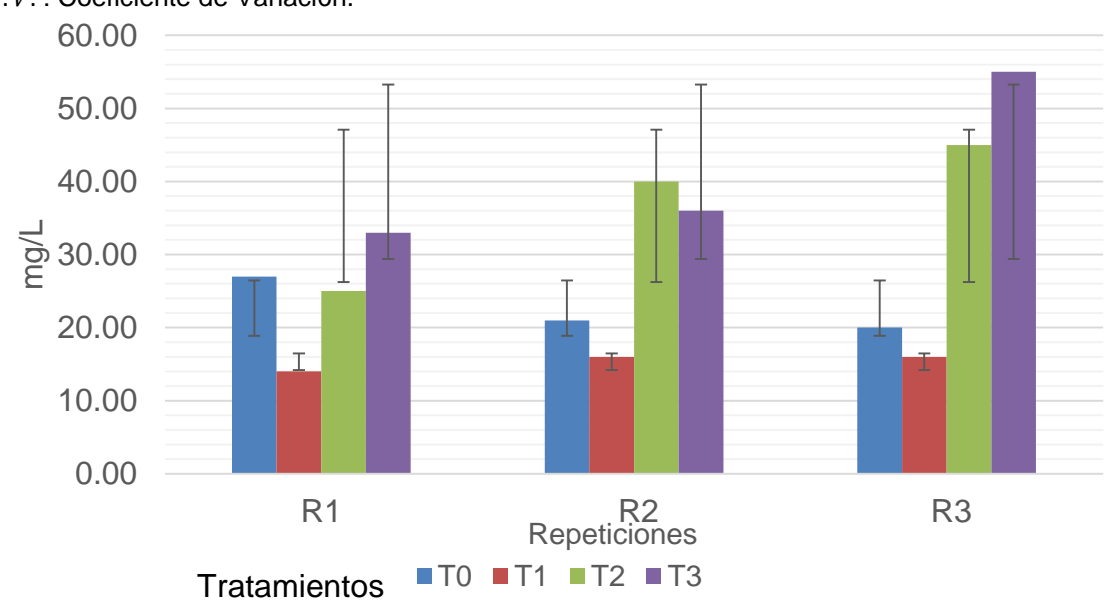


Figura 23. Contenido de zinc en los tratamientos y repeticiones en el biol

 $S_i$ : Desviación estándar

En la Figura 23, se observa la desviación estándar entre los diferentes tratamientos y sus repeticiones en el contenido zinc en el cual entre repeticiones de cada tratamiento son heterogéneos.

En el Cuadro 34, se calculó el análisis de varianza para el contenido de zinc para aceptar o rechazar la hipótesis nula  $(H_0)$ .

Cuadro 34. Análisis de varianza del contenido de zinc.

Fuente de Variación	Suma de Cuadrado		Cuadrado Medio.	F	Probabilidad	Fisher tabulado
Tratamiento	1313.3	3	437.7	6.57	0.015	4.066
Error	532.7	8	66.58			
Total	1846	11				

En el análisis de varianza para el zinc resultó que el F calculado es mayor al F tabulado ( $F > F_{tab}$ ) con una probabilidad menor al 0.05, entonces se rechazó la hipótesis nula ( $H_0$ ). Se realizó la prueba de Tukey con una diferencia honestamente significativa de 18.48 (Cuadro 35).

Cuadro 35. Prueba de Tukey para el contenido de zinc.

Tratamientos	T <sub>0</sub>	T <sub>1</sub>	T <sub>2</sub>	T <sub>3</sub>
To		7.33	14.00	18.67
T <sub>1</sub>			21.33	26.00
T <sub>2</sub>				4.67
T <sub>3</sub>				

# Manganeso (Mn mg/L)

### Hipótesis:

 $H0_{Mn}: T_0=T_1=T_2=T_3 ; F \le F_{tab}$ 

 $Hi_{Mn} : T_0 \neq T_1 \neq T_2 \neq T_3 ; F > F_{tab}$ 

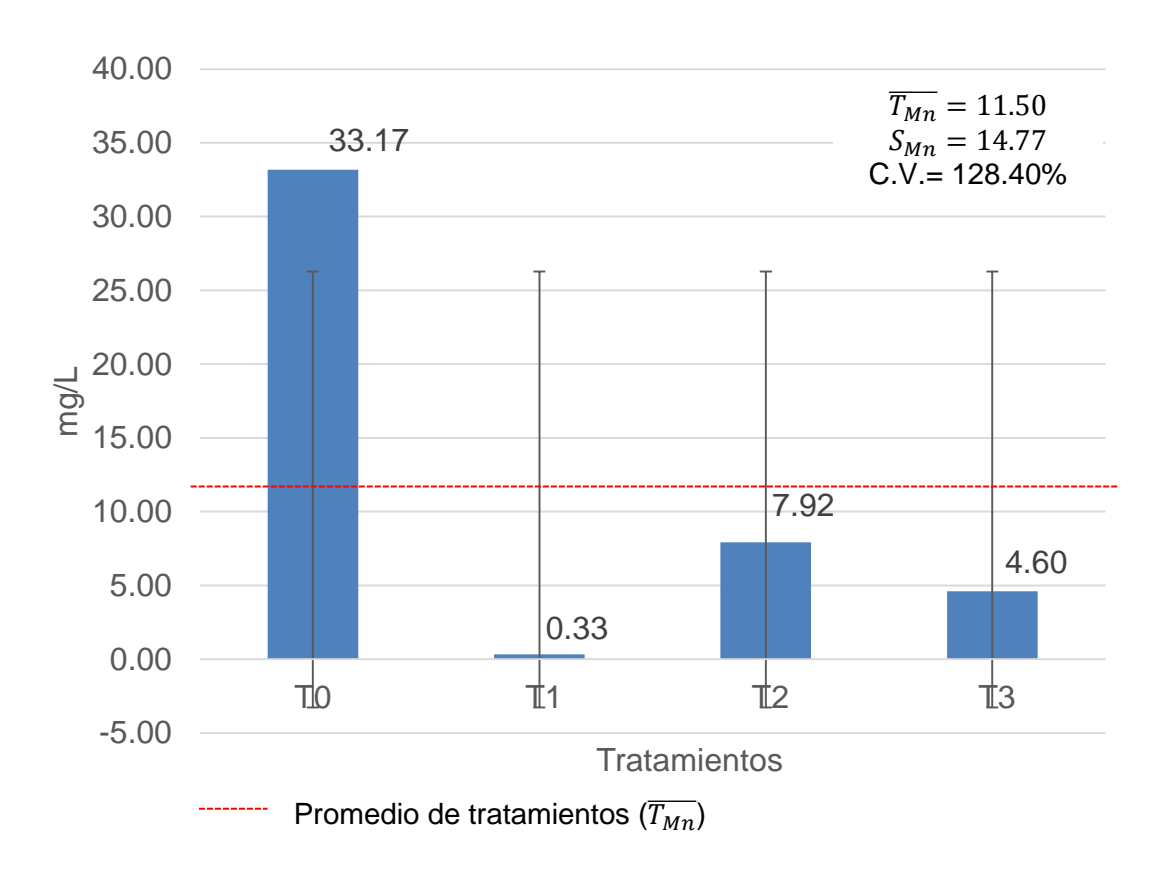


Figura 24. Cantidad de manganeso en los bioles.

En la Figura 24, se observa la cantidad de manganeso en los diferentes tratamientos con un promedio de 11.50 mg/L, una desviación estándar de 14.77 mg/L y el coeficiente de variación entre tratamientos de 128.40% el cual indica que entre tratamiento son heterogéneos.

En el Cuadro 36, se calculó el coeficiente de variación del contenido de manganeso entre repeticiones de cada tratamiento resultó heterogéneo.

Cuadro 36. Coeficiente de variación del contenido de manganeso.

Variable estadística	$T_0$	$T_1$	$T_2$	$T_3$
$\overline{T}_{\iota}$	33.17	0.33	7.92	4.60
S	9.75	0.20	4.98	4.95
<i>C.V.</i>	29.40	58.66	62.93	107.75

 $<sup>\</sup>overline{T_i}$ : Promedio por tratamiento  $S_i$ : Desviación estándar

 $<sup>\</sup>tilde{C.V.}$ : Coeficiente de Variación.

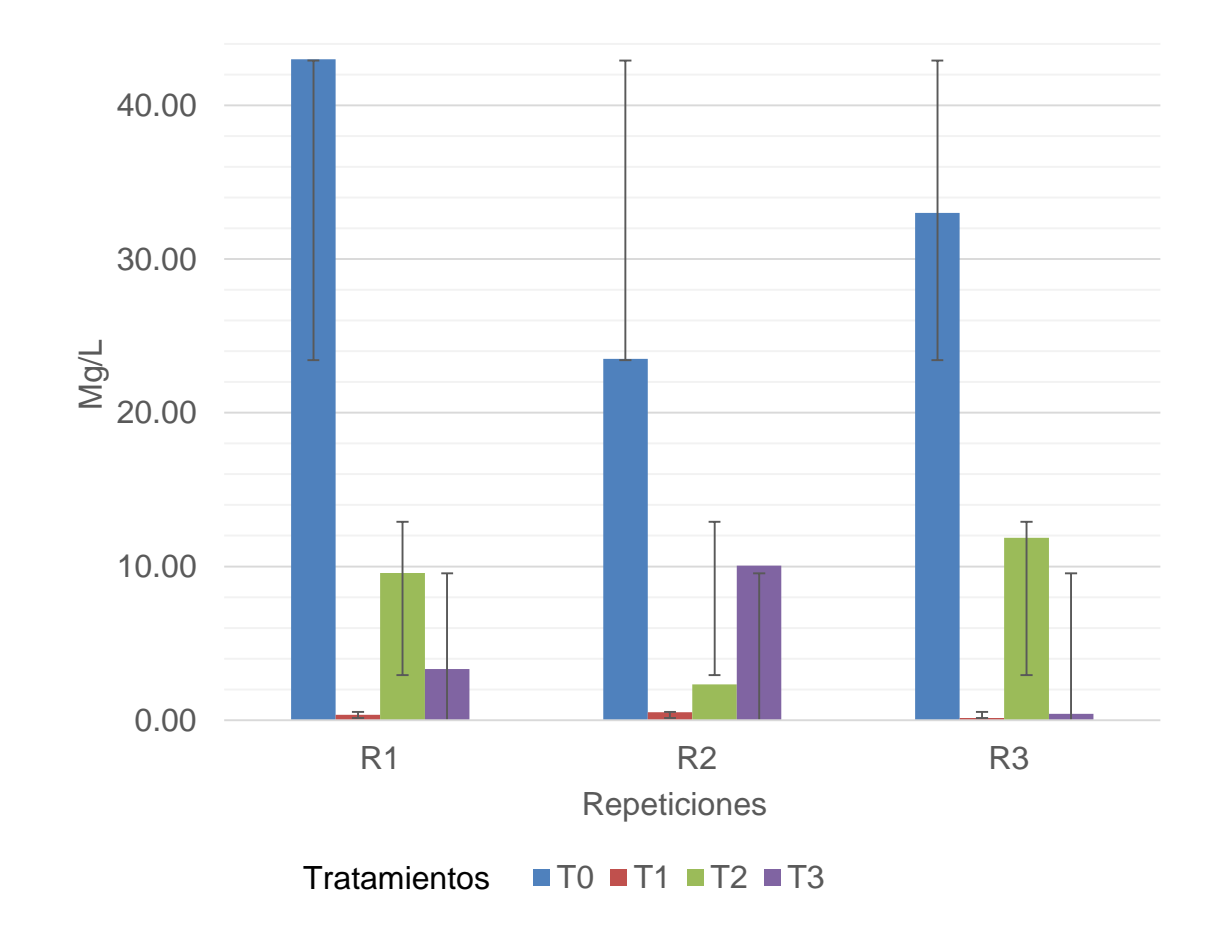


Figura 25. Contenido de manganeso en los tratamientos y repeticiones en el biol

En el Cuadro 25, se calculó el análisis de varianza para el contenido de manganeso para aceptar o rechazar la hipótesis nula  $(H_0)$ .

Cuadro 37. Análisis de varianza del contenido de manganeso.

Fuente de Variación	Suma de Cuadrado	Grado de Libertad.	Cuadrado Medio.	F	Probabilidad	Fisher tabulado
Tratamiento	1963.83	3	654.611	18.1	0.001	4.066
Error	288.99	8	36.124			
Total	2252.83	11				

En el análisis de varianza para el manganeso resultó que el F calculado es mayor al F tabulado ( $F > F_{tab}$ ) con una probabilidad menor al 0.05, entonces se rechazó la hipótesis nula ( $H_0$ ). Se realizó la prueba de Tukey con una diferencia honestamente significativa de 13.61 (Cuadro 38).

Cuadro 38. Prueba de Tukey para el contenido de manganeso.

Tratamientos	T <sub>0</sub>	T <sub>1</sub>	T <sub>2</sub>	T <sub>3</sub>
To		32.83	25.25	28.57
T <sub>1</sub>			7.59	4.26
T <sub>2</sub>				3.32
T <sub>3</sub>				

La prueba de Tukey se demuestra que existe homogeneidad en el  $T_1$ ,  $T_2$  y  $T_3$  sin embargo, estos varían con el  $T_0$  existiendo heterogeneidad.

Cuadro 39. Interpretación de los resultados del biol.

_	Nitróg	jeno N	<b>(D)</b>	(0-)	(14)	(NI-)	/B.4 \	(O )	<b>(5</b> - <b>)</b>	( <b>7</b> .)	(1.4.)	T. ( - 1
Ti	Base H.	Base S.	(P)	(Ca)	(K)	(Na)	(Mg)	(Cu)	(Fe)	(Zn)	(Mn)	Total
T <sub>0</sub>												20
T <sub>1</sub>												22
T <sub>2</sub>												21
T <sub>3</sub>												24

En el Cuadro 38, se cuantificada los resultados obtenidos estadísticamente de la calidad del biol, en el cual la coloración amarilla es un nivel bajo con un valor de uno (1), la coloración verde es un nivel medio con un valor de dos (2) y la coloración roja es un nivel alto con un valor de tres (3).

Para el contenido de Nitrógeno, cobre y zinc se tiene que el tratamiento T<sub>3</sub> (42.85%visceras, 42.85% agua, microorganismo eficientes del bosque de San Pedro de Carpish) adquiere valores más altos de contenido de estos nutrientes, con relación al testigo elaborado a partir de estiércol de bovino.

Para los micro nutrientes de fosforo, calcio, potasio magnesio y hierro se tiene que los valores de los tratamientos no son significativos estadísticamente con respecto al testigo

Para el contenido de manganeso el testigo elaborado a partir de estiércol de bovino adquieren los contenidos más altos en comparación con los

tratamiento elaborados a partir de vísceras de trucha arcoíris adquieren valores más próximos al testigo.

# 4.3. Determinación del costo de producción del biol

Cuadro 40. Presupuesto para la elaboración del mejor biol.

Ítem	Descripción	Und.	Metrado	Precio S/.	Parcial S/.
1	Costo de produccion del biol (módulo de 20lts)				192.36
1.01	Recolección de materia prima e insumos	UND	1.00	56.11	56.11
1.02	Dosificación	UND	1.00	73	73
1.03	Maduración	UND	1.00	50	50
1.04	Envasado y etiquetado	UND	1.00	13.25	13.25
	Costo directo				192.36
	Gasto Generales (10%)				19.24
	Utilidad (5%)				9.62
					221.22

En el Cuadro 40, se expone el presupuesto de producción del biol T<sub>3</sub> (42.85% visceras, 42.85% agua) que resultó el de mejor calidad en nutrientes con un costo de producción de 221.22 nuevo soles por 20L de biol sin embargo el precio por litro fue de 11.00 nuevo soles (ver Anexo C).

# V. DISCUSIÓN

RESTREPO (2007) menciona que el estiércol tiene principalmente la función de aportar ingredientes vivos para que ocurra la fermentación del biol aporta principalmente inóculos de levadura, hongos, protozoos y bacterias quienes son los responsables de digerir, metabolizar y colocar en forma disponible para las plantas y el suelo todos los elementos nutritivos que se encuentran en el tanque de fermentación. En el análisis microbiológico se encontró *Bacillus sp, Staphylococcus aureus, Actinomices sp Aspergilius sp y Penincilium sp.*, los cuales sirvieron como organismos beneficiosos en el biol.

HUYATA (2006) señala que los microorganismos beneficiosos contienen principalmente cuatro géneros principales: bacterias fototróficas, levaduras, bacterias productoras de ácido láctico y hongos de fermentación. En el análisis realzado se encontró bacterias y fungie.

SÁNCHEZ (2003) menciona que la agricultura orgánica por su parte propone alimentar los microorganismos del suelo para que estos a su vez de manera indirecta alimenten a las plantas. Cabe mencionar que la tierra se sacó de San Pedro de Carpish que son suelos de alta cantidad microbiana por ende la presencia de microorganismos en el biol elaborado.

FAO (2011) menciona que el pH desciende en los primeros días hasta un valor de 5.0 por la producción de ácidos orgánicos, la fabricación de este tipo de abono, requiere que el pH oscile entre un 6 y 7, los valores

extremos inhiben la actividad microbiológica durante el proceso de la degradación de los materiales. En la figura 3 se observa la variación del pH en el cual entre la cuarta y quinta toma hubo una disminución alcanzando un pH aproximado de 5 y posterior a ello el pH estuvo constante en un rango de 6 y 7.

HUYATA (2006), menciona que el incremento de la actividad microbiológica del abono, que comienza después de la mezcla de todos los ingredientes, aproximadamente, después de 12 horas de haberlo preparado, el abono debe presentar temperatura que puede superar fácilmente los 50°C, lo que es buena señal para continuar con las demás etapas del proceso. En la toma de temperatura se observó un aumento notorio y posterior a ello se mantuvo constante hasta el día de la cosecha del biol.

BASANTES (2009), menciona en la elaboración de dos tipos de abonos y su aplicación en el cultivo de brócoli, en la que se pudo determinar que la mejor formulación para obtener un abono con buenas características fisicoquímicas es la formulación en la que interviene 50% de estiércol, 30% de harina de sangre, 10% de roca fosfórica, 10% de ceniza, humus, melaza, leche, alfalfa, levadura y agua. El mejor tratamiento fue aquel que tuvo un 42.85% vísceras con 42.85% agua, siento la relación de materia orgánica y agua 50%.

AGROSCIENCE (2014), menciona que el biol elaborado con fertilizante foliar el cual el precio por litro es de S/.20.00 nuevo soles en cual posee Calcio Boro Magnesio y Zinc en comparación con el biol con vísceras de trucha arcoíris el precio por litro S/.11.00 el cual contiene nitrógeno, fosforoso, calcio potasio, sodio, magnesio, cobre, hierro, zinc y manganeso los cuales ejercen impactos positivos.

#### VI. CONCLUSION

- Presencia de Bacillus sp, Staphylooccus aureus, Actinomyces sp.,
   Aspergilius sp y Peninclium sp. En el cual la enumeración
   microorganismos aerobios viables fue 26 x 10<sup>3</sup> UFC/g, la enumeración
   de fungí (mohos y Levaduras) fue 3 x 10<sup>3</sup> UFC/g y la enumeración de
   Actinomicetos fue 11 x 10<sup>3</sup> UFC/g del mejor biol.
- 2. El biol más recomendado fue el T<sub>3</sub> (42.85%visceras, 42.85% agua, microorganismo eficientes del bosque de San Pedro de Carpish) con un promedio de pH 6.6, una matera seca a 6.90%, una humedad Relativa 93.10%, N (base húmeda) 0.54%, N (base seca) 7.96 %, P 0.36 g/L, Ca 449 mg/L, K 439 mg/L, Na 0.69 mg/L, Mg 53 mg/L, Cu 4.52 mg/L, Fe 1.67 mg/L, Zn 41mg/L y Mn 4.58 mg/L.
- El costo de producción de acuerdo a la calidad del mejor biol es de S/.11.00 nuevo soles por litro.

#### VII. RECOMENDACIONES

- 1. Dar de conocimiento mediante talleres de capacitación referente a la elaboración, aplicación e importancia del biol en cultivos puesto que con los resultados obtenidos darán óptimos resultado para la calidad del cultivo, y así prevenir con mayor eficacia el ataque de plagas y enfermedades asi como también los efectos adversos del clima.
- 2. Puesto que no existe una normativa ni guía especifica que exponga las variables fisicoquímicas para calificar un buen biol se recomienda producir nuevas concentraciones con vísceras de trucha para el aprovechamiento de este sustrato e incluir en su preparación otros desechos agropecuarios.
- Tratar que la materia en estudio no entre en contacto con ningún compuesto que pueda tener algún agente contaminante y no pueda dar un resultado deseado.

#### VIII. ABSTRACT

A fermented liquid organic fertilizer (biol) was elaborated, from the viscera of Oncorhynchus mykiis rainbow trout in San Pedro de Carpish, province and Huánuco region with the purpose of contributing to the use of organic fertilizer in agriculture and minimizing environmental problems. The investigation began with the collection of materials that underwent a period of anaerobic decomposition for a period of ninety days. At the end of the biological fermentation process, the microorganisms present were identified and characterized, the physicochemical parameters and the cost of production per liter of the best treatment were determined. For the statistical measurement of the variables under study, three treatments and a control with three repetitions each were experimented. The area of the research site was adapted to avoid the interferences of external variables and the use of a completely randomized block design. The treatment made from 42.85% of rainbow trout viscera with 42.85% water and efficient microorganisms from the San Pedro de Carpish forest was identified as the best treatment with the presence of Bacillus sp., Staphylococcus aureus, Actinomyces sp., Aspergillus sp. and Peninciilium sp.; a high nutritional quality, a neutral pH of 6.6 and the cost per liter of S/.11.00 nuevos soles

Key words: Biol, anaerobic, trout viscera, microorganism, nutrients

#### IX. REFERENCIA BIBLIOGRAFICA

- AGROSCIENCE. 2014. Calcio Boro fertilizante foliar líquido (ficha técnica).
- ALVAREZ, F. 2010. Manual preparación y uso del biol. Perú. 30 p.
- APARCANA, S. 2008. Estudio sobre el valor fertilizante de los productores del proceso de fermentación anaerobia para la producción de biogás.10 p.
- AYOVÍ, F. 2010. Manual de gestión y control Ambiental. Ecuador: R.N Industria gráfica.
- BARRERA, J. HERNANDEZ, M., MELGAREJO, L., MARTINEZ, O., FERNANDEZ, J. 2008. Nutrición mineral: Experimento en fisiología vegetal. Universidad de Colombia Bogotá, Colombia.106 p.
- BASANTES, E. 2009. Elaboración y aplicación de dos tupos de biol en el cultivo de brócoli, Riobamba Ecuador 119 p.
- BLANCO, M. 1984. La trucha Cría industrial. Ediciones Mundi-Prensa Madrid. 239 p.
- BOTERO, R. 1987. Biodigestor de bajo costo para la producción de combustible y fertilizante a partir de estiércol. Costa Rica.
- CEPE. 2007. Protocolo sobre la evaluación estratégica del medio ambiente en la conservación sobre la evaluación del impacto ambiental. Perú.
- CÉSPEDES, C. 2005. Agricultura orgánica principios y prácticas de producción.

  Chile: Centro regional de investigación QUILAMAPU.

- DIREPRO. 2015. Tecnologías aplicables para el reaprovechamiento de residuos hidrobiológicos. Perú.
- FAO. 2011. Manual de biogas. Chile. 119 p.
- FOSERO, G. 2005. Granja Integral Autosuficiente. Bogotá.
- GIERTH, M., MASER P. 2007. Transportadores de potasio en plantas participación en K adquisición, redistribución y homeostasis federación de bioquímica europea. Heidelberg, Alemania. 2356 p.
- GÓMEZ, A., TOVAR, X. 2008. Elaboración de un abono orgánico fermentado a partir de residuos de flores (pétalos de rosa) y su caracterización para el uso en la producción de albahaca (*Ocimum basilicum*). Bogotá 113p.
- HUET, M. 1983. Tratado de piscicultura. Ediciones Mundi-Prensa. Zaragoza, España 753 p.
- HUYATA, R. 2006. Manual de elaboración de abono foliar. Cuzco Perú.40 p.
- INIA. 2008. Agricultura Orgánica Principios y Prácticas de Producción. Chile.116 p.
- KALAYCIA, M., TORUMB, B., EKERB, S., AYDINA, M., OZTURKB, L. CAKMAK, I. 1999. Rendimiento de grano, eficiencia de zinc y concentración de zinc en cultivares de trigo cultivados en un suelo calcáreo deficiente en zinc en campo e invernadero. Investigación de cultivos de campo. Oxford, Reino Unido. Nº 63, 87- 98 p.
- KATIUSKA, A. 2005. Proceso de refinación del aceite de palma en la agroindustria diana C.A. Venezuela. 25 p.
- KOVACIK, J., KLEJDUS, B., BACKOR, M., REPCAK, M. 2007. Actividad de fenilalanina amoniacos y acumulación de compuestos fenólicos en

- Matricaria deficiente en nitrógeno rosetas de hoja de chamomilla. Ciencia de las plantas. Oxford, Reino Unido 399 p.
- LITTKE, K., ZABOWAKI, D. 2007. Influencia de la fertilización con calcio en foliar de abeto de douglas nutrición, disponibilidad de nutrientes en el suelo y sinuosidad en la costa de Washington. Bosque Ecología y Gestión. Oxford, Reino Unido. 247 p.
- LÓPEZ, E. (2008). Diseño y análisis de experimentos. Fundamentos y aplicaciones en agronomía. Guatemala. 176 p.
- MARSCHNER, H. 1995. Nutrición mineral de plantas superiores (2ª ed.),
  Academic Press, Londres, Inglaterra. 889 p.
- MAROTO, E. 2010. Horticultura herbácea especial. Madrid: Mundiprensa.
- MENDOZA, R., PALOMINO, A. 2004. Manual de cultivo de trucha arcoíris en Jaula, Peru.123 p.
- MEDINA A. 2000. El biol y el biosol en la agricultura. 47 p.
- MURRAY, 1968. Clasificación de los microorganismos. 62 p.
- NEBEL, B. 2005. Ecología y desarrollo sostenible. Perú.
- NOREÑA, J. 2017. Evaluación del estiércol de cuy de la granja montero y agua residuales del camal municipal de Huánuco para la producción de bol mediante biodigestores del tipo semicontinuo Perú. 111 p.
- PALTRINIERI, G. 2009. Sub productos animales, suelos y agua. México: Trillas.
- PÉREZ, P., VINIEGRA, G. 2007. Potencial del uso de estiércol en la alimentación de bovinos. México: UNA.

- PÍA, P., VINIEGRA, G. 2007. Potencial del uso de estiércol en la alimentación de bovinos. México: UNA.
- RESTREPO, J. 2007. Elaboración de abonos orgánicos fermentados y biofertilizantes foliares. Costa Rica: ILCA.
- ROMERO, A. 2010. Contaminación Ambiental. México: Trillas.
- SALAYA, J. 2010. Elaboración artesanal de dos abonos orgánicos líquidos fermentados y su efectividad en la producción de plántulas de chile habanero. Tabasco.
- SALGADO, G., NUÑEZ, E. 2010. Respuesta a la soca de caña de azúcar a la fertilización N, P K. Argentina.
- SÁNCHEZ, C. 2003. Los abonos orgánicos-Abonos orgánicos y lombricultura. Ecuador: Servilibros.
- SÁNCHEZ, J. 2010. Fertilizantes el alimento de nuestros alimentos. México: Trillas.
- SENAMHI. 2016. Boletín semanal de Iluvia. Perú. 12 p.
- SHENKER, M., PLESSNER O. y TELOR, E. 2004. Manganeso efectos de la nutrición en tomate crecimiento, concentración de clorofila y actividad de superóxido dismutasa. Fisiología. ESTADOS UNIDOS. 202 p.
- SMITH, G, STERLEY, R. 1999. The Classification and Scientific Names of Rainbow and Cutthroat Trouls Fisheries. USA.
- SUQUILANDA, M. 2006. Agricultura orgánica alternativa tecnológica del futuro Quito Ecuador.
- SZTERN, D., PRAVIA, M. 2009. Manual para la elaboración de compost bases conceptuales y procedimientos. 69 p.

- TOMPKINS, P. 2002. Manual para la elaboración de Compost. Estados Unidos. WOESE, C. 1987. Bacterial evolution. Microbiological Reviews. 271 p.
- XIANG WEN, P., WEN BIN, L., QIU YING, Z., YAN HUA, L., MING SHAN, L. (2008). Evaluación de las características de eficiencia de fósforo de genotipos de soja en Suelos deficientes en fósforo. Ciencias agrícolas en China. Beijing, China. 969 p.
- ZAMORA F., TORRES D. 2008. Evaluación de fuentes orgánicas sobre el desarrollo de los vegetales. Costa Rica.





Cuadro 41. Control de Temperatura en el proceso de fermentación en la elaboración del Biol.

	TRATAMIENTOS											
FECHA	T <sub>O</sub> R <sub>1</sub>	T <sub>O</sub> R <sub>2</sub>	T <sub>O</sub> R <sub>3</sub>	T <sub>1</sub> R <sub>1</sub>	T <sub>1</sub> R <sub>2</sub>	T <sub>1</sub> R <sub>3</sub>	T <sub>2</sub> R <sub>1</sub>	T <sub>2</sub> R <sub>2</sub>	T <sub>2</sub> R <sub>3</sub>	T <sub>3</sub> R <sub>1</sub>	T <sub>3</sub> R <sub>2</sub>	T <sub>3</sub> R <sub>3</sub>
15/07/2017	15.1	15.3	15.0	14.1	15.2	15.1	14.2	15.2	15.5	14.5	14.8	14.7
22/07/2017	17.2	17.5	17.7	16.8	17.2	17.7	16.9	16.8	17.4	17.1	16.8	16.6
29/07/2017	15.5	15.6	16.2	16.1	16.6	16.9	16.1	16.1	15.8	16.2	16.2	15.5
05/08/2017	15.7	15.5	15.8	15.7	16.1	16.4	16.3	16.7	15.6	15.6	15.8	16.1
12/08/2017	15.5	15.1	15.4	15.3	15.7	15.9	15.7	16.2	15.7	15.5	15.2	15.7
19/08/2017	15.5	15.3	15.2	15.1	15.3	15.6	15.3	15.7	15.4	15.1	14.9	16.0
26/08/2017	15.4	15.7	15.8	15.6	15.5	15.4	15.1	15.5	15.7	15.2	15.3	15.5
15/07/2017	15.5	15.5	15.4	15.3	15.3	15.2	15.0	15.2	15.3	15.2	15.1	15.0
22/07/2017	15.2	15.1	15.2	15.1	15.0	15.0	15.4	15.3	15.4	15.0	15.2	15.1
16/09/2017	15.0	14.8	15.0	15.0	14.8	14.7	15.1	14.9	15.1	14.7	14.9	15.0
23/09/2017	14.8	14.7	14.6	14.8	14.7	14.5	14.7	14.8	14.6	14.5	14.7	14.8
30/09/2017	14.5	14.6	14.5	14.6	14.7	14.7	14.5	14.5	14.5	14.4	14.5	14.6
07/10/2017	14.6	14.7	14.5	14.4	14.5	14.5	14.5	14.4	14.5	14.5	14.5	14.5
14/10/2017	14.5	14.5	14.4	14.5	14.5	14.4	14.4	14.5	14.4	14.4	14.4	14.5

Cuadro 42. Control de pH en los distintos tratamientos en el proceso de fermentación en la elaboración del Biol.

FECHA					TR	ATAM	IENTO	os				
LOTIA	T <sub>O</sub> R <sub>1</sub>	T <sub>O</sub> R <sub>2</sub>	T <sub>O</sub> R <sub>3</sub>	T <sub>1</sub> R <sub>1</sub>	T <sub>1</sub> R <sub>2</sub>	T <sub>1</sub> R <sub>3</sub>	T <sub>2</sub> R <sub>1</sub>	T <sub>2</sub> R <sub>2</sub>	T <sub>2</sub> R <sub>3</sub>	T <sub>3</sub> R <sub>1</sub>	T <sub>3</sub> R <sub>2</sub>	T <sub>3</sub> R <sub>3</sub>
15/07/2017	7.0	7.1	7.0	7.0	7.3	7.0	7.0	7.1	7.3	7.4	7.3	7.5
22/07/2017	6.4	6.2	6.5	6.7	6.6	6.2	6.6	6.2	6.1	7.2	6.9	7.1
29/07/2017	6.1	6.0	5.8	6.1	6.2	5.7	6.3	5.7	5.8	6.5	6.2	6.6
05/08/2017	5.4	5.3	5.2	5.3	5.5	5.1	5.5	5.2	5.5	5.8	5.5	5.7
12/08/2017	6.1	6.4	6.2	5.7	6.0	6.2	5.1	5.9	5.2	5.5	6.1	6.2
19/08/2017	6.6	6.9	6.9	6.6	6.1	6.5	6.6	5.5	6.7	6.8	5.7	5.5
26/08/2017	6.9	6.6	6.7	7.1	6.7	6.9	6.8	6.6	6.6	6.6	6.7	6.8
15/07/2017	7.2	7.1	7.0	6.7	7.1	7.3	7.1	7.1	7.3	7.4	7.4	7.6
22/07/2017	6.5	6.7	6.5	6.8	6.8	6.3	6.6	6.2	6.1	7.2	6.9	7.1
16/09/2017	6.7	6.7	6.8	6.6	6.5	6.8	6.7	6.8	6.7	6.8	6.7	6.8
23/09/2017	6.6	6.8	6.7	6.8	6.7	6.7	6.7	6.7	6.8	6.6	6.7	6.8
30/09/2017	6.5	6.8	6.7	6.6	6.7	6.7	6.8	6.7	6.8	6.7	6.5	6.7
07/10/2017	6.8	6.8	6.8	6.7	6.7	6.8	6.7	6.7	6.8	6.8	6.6	6.7
14/10/2017	6.5	6.6	6.7	6.5	6.5	6.6	6.5	6.6	6.7	6.8	6.6	6.4

# Cuadro 43. Análisis fisicoquímico del biol (T<sub>0</sub> = estiércol de bovino)



Cuadro 44. Análisis fisicoquímico del biol (T<sub>1</sub> = viceras de trucha al 21.42%)



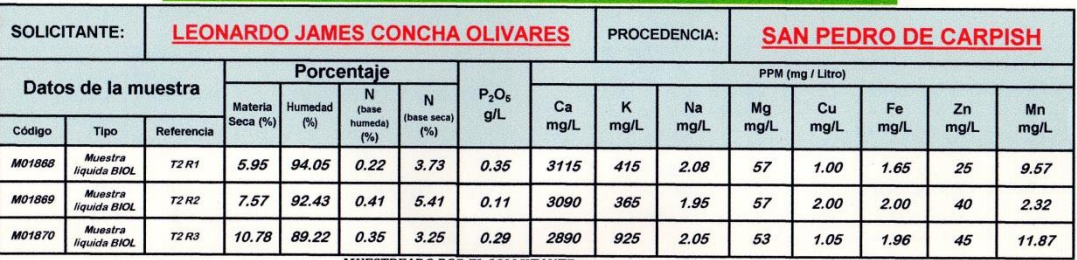
Cuadro 45. Análisis fisicoquímico del biol (T<sub>2</sub> = viceras de trucha al 30%)



# UNIVERSIDAD NACIONAL AGRARIA DE LA SELVA

Facultad de Agronomía - Laboratorio de Análisis de Suelos

Av. Universitaria s/n Telef. (062) 562342 - Celular 941531359 - Aptdo. 156 analisisdesuelosunas@hotmail.com



MUESTREADO POR EL SOLICITANTE

FECHA: 28 de diciembre 2017 Recibo Nº 0524299





Cuadro 46. Análisis fisicoquímico del biol ( $T_1$  = viceras de trucha al 42.85%)



# UNIVERSIDAD NACIONAL AGRARIA DE LA SELVA

Facultad de Agronomía - Laboratorio de Análisis de Suelos

Av. Universitaria s/n Telef. (062) 562342 - Celular 941531359 - Aptdo. 156

# ANALISIS ESPECIAL

SOLICI	TANTE:	LEON	IARDO	) JAM	ES CC	NCHA	OLIVA	RES	PROCE	DENCIA:	SA	N PED	RO DE	CAR	PISH
				Porce	entaje						PPM (	mg / Litro)			
Dato	s de la m	uestra	Materia	Humedad	N (base	N (base seca)	P <sub>2</sub> O <sub>5</sub> g/L	Ca	к	Na	Mg	Cu	Fe	Zn	Mn
Código	Tipo	Referencia	Seca (%)	(%)	humeda) (%)	(%)		mg/L	mg/L	mg/L	mg/L	mg/L	mg/L	mg/L	mg/L
M01871	Muestra liquida BIOL	T3 R1	7.28	92.72	0.51	6.99	0.41	2615	430	1.46	50	5.50	1.50	33	3.33
M01872	Muestra liquida BIOL	T3 R2	7.58	92.42	0.54	7.14	0.47	8100	455	0.46	57	2.05	2.00	36	10.06
M01873	Muestra liquida BIOL	T3 R3	5.84	94.16	0.57	9.76	0.21	2765	434	0.16	53	6.00	1.50	55	0.40

MUESTREADO POR EL SOLICITANTE FECHA: 28 de diciembre 2017

Recibo Nº 0524299





### Cuadro 47. Análisis microbiológico del biol T<sub>0</sub>R<sub>1</sub>



# Universidad Nacional Agraria de la Selva Laboratorio de Microbiología General Tingo María

# Servicio de Diagnóstico Microbiológico (Tesis)

Muestra

: BIOL - Biol ToR1

Procedencia

: SAN PEDRO DE CARPISH - CHINCHAO.

Atención

: LEONARDO JAMES CONCHA OLIVARES.

Fecha recepción

: 05 de Diciembre 2017

Análisis solicitados

- Enumeración Microorganismos Aerobios Viables

- Enumeración de Fungi (Mohos y Levaduras)

- Enumeración de Actinomicetos

- Coliformes totales

- Coliformes Termotolerantes (E.coli)

- Investigación de Salmonella

- Investigación de Vibrion choleraea

#### RESULTADOS:

Determinación	Resultado	Valor referencial
- Enumeración Microorganismos Aerobios Viables	25 x 10 <sup>3</sup> UFC/g	$3 - 7 \times 10^3$ m.o./g
- Enumeración de Fungi (Mohos y Levaduras)	2 x 103 UFC/g	$1 - 3 \times 10^3$ m.o./g
- Enumeración de Actinomicetos	8 x 10 <sup>3</sup> UFC/g	$2 - 3 \times 10^3$ m.o./g
- Numero Más Probable de Coliformes Totales	Ausencia	Ausencia
- Número Más Probable Coliformes Termotolerantes	Ausencia	Ausencia
- Investigación de Salmonella	Ausencia / 25g	Ausencia/25 g
-Investigación de Vibrion choleraea	Ausencia	Ausencia

#### **CONCLUSIONES:**

La muestra analizada presenta un número moderado de microorganismos aerobios viables, fungi y actinomicetos.

Tingo Maria, 27 de diciembre del 2017

Msc. Victor Manuel Beteta Alvarado

Jefe (e) del Laboratorio Microbiología General - UNAS

### Cuadro 48. Análisis microbiológico del biol T<sub>0</sub>R<sub>2</sub>



## Universidad Nacional Agraria de la Selva Laboratorio de Microbiología General Tingo María

# Servicio de Diagnóstico Microbiológico (Tesis)

Muestra

Procedencia

Atención Fecha recepción Análisis solicitados

: BIOL - Biol ToR2

: SAN PEDRO DE CARPISH - CHINCHAO. : LEONARDO JAMES CONCHA OLIVARES.

OF de Disissabas 0047

: 05 de Diciembre 2017

Enumeración Microorganismos Aerobios Viables
Enumeración de Fungi (Mohos y Levaduras)

- Enumeración de Actinomicetos

- Coliformes totales

- Coliformes Termotolerantes (E.coli)

- Investigación de Salmonella

- Investigación de Vibrion choleraea

#### **RESULTADOS:**

Determinación	Resultado	Valor referencial	
- Enumeración Microorganismos Aerobios Viables	20 x 103 UFC/g	3 - 7 x 10 <sup>3</sup> m.o./g	
- Enumeración de Fungi (Mohos y Levaduras)	3 x 10 <sup>3</sup> UFC/g	1 – 3 x 10 <sup>3</sup> m.o./g	
- Enumeración de Actinomicetos	5 x 103 UFC/g	2 - 3 x 10 <sup>3</sup> m.o./g	
- Numero Más Probable de Coliformes Totales	Ausencia	Ausencia	
- Número Más Probable Coliformes Termotolerantes	Ausencia	Ausencia	
- Investigación de Salmonella	Ausencia / 25g	Ausencia/25 g	
-Investigación de Vibrion choleraea	Ausencia	Ausencia	

#### **CONCLUSIONES:**

La muestra analizada presenta un número moderado de microorganismos aerobios viables, fungi y actinomicetos.

Tingø María, 27 de diciembre del 2017

### Cuadro 49. Análisis microbiológico del biol T<sub>0</sub>R<sub>3</sub>



## Universidad Nacional Agraria de la Selva Laboratorio de Microbiología General Tingo María

# Servicio de Diagnóstico Microbiológico (Tesis)

Muestra

: BIOL - Biol ToR3

Procedencia

: SAN PEDRO DE CARPISH - CHINCHAO.

Atención

: LEONARDO JAMES CONCHA OLIVARES.

Fecha recepción : Análisis solicitados :

: 05 de Diciembre 2017

- Enumeración Microorganismos Aerobios Viables

- Enumeración de Fungi (Mohos y Levaduras)

- Enumeración de Actinomicetos

- Coliformes totales

- Coliformes Termotolerantes (E.coli)

- Investigación de Salmonella

- Investigación de Vibrion choleraea

#### RESULTADOS:

Determinación	Resultado	Valor referencial 3 – 7 x 10 <sup>3</sup> m.o./g	
- Enumeración Microorganismos Aerobios Viables	17 x 103 UFC/g		
- Enumeración de Fungi (Mohos y Levaduras)	4 x 10 <sup>3</sup> UFC/g	1 – 3 x 10 <sup>3</sup> m.o./g	
- Enumeración de Actinomicetos	7 x 10 <sup>3</sup> UFC/g	2 - 3 x 10 <sup>3</sup> m.o./g	
- Numero Más Probable de Coliformes Totales	Ausencia	Ausencia	
- Número Más Probable Coliformes Termotolerantes	Ausencia	Ausencia	
- Investigación de Salmonella	Ausencia / 25g	Ausencia/25 g	
-Investigación de Vibrion choleraea	Ausencia	Ausencia	

## **CONCLUSIONES:**

La muestra analizada presenta un número moderado de microorganismos aerobios viables , fungi y actinomicetos.

Tingo María, 27 de diciembre del 2017

## Cuadro 50. Análisis microbiológico del biol T<sub>1</sub>R<sub>1</sub>



# Universidad Nacional Agraria de la Selva Laboratorio de Microbiología General Tingo María

# Servicio de Diagnóstico Microbiológico (Tesis)

Muestra

: BIOL - Biol T1R1

Procedencia

: SAN PEDRO DE CARPISH – CHINCHAO.

Atención

: LEONARDO JAMES CONCHA OLIVARES.

Fecha recepción Análisis solicitados : 05 de Diciembre 2017

.

Enumeración Microorganismos Aerobios Viables
Enumeración de Fungi (Mohos y Levaduras)

- Enumeración de Actinomicetos

- Coliformes totales

- Coliformes Termotolerantes (E.coli)

- Investigación de Salmonella

- Investigación de Vibrion choleraea

#### RESULTADOS:

Determinación	Resultado	Valor referencial	
- Enumeración Microorganismos Aerobios Viables	39 x 103 UFC/g	$3 - 7 \times 10^3$ m.o./g	
- Enumeración de Fungi (Mohos y Levaduras)	5 x 103 UFC/g	$1 - 3 \times 10^3$ m.o./g	
- Enumeración de Actinomicetos	12 x 103 UFC/g	$2 - 3 \times 10^3$ m.o./g	
<ul> <li>Numero Más Probable de Coliformes Totales</li> </ul>	Ausencia	Ausencia	
- Número Más Probable Coliformes Termotolerantes	Ausencia	Ausencia	
- Investigación de Salmonella	de Salmonella Ausencia / 25g		
-Investigación de Vibrion choleraea	Ausencia	Ausencia	

## **CONCLUSIONES:**

La muestra analizada presenta un número moderado de microorganismos aerobios viables, fungi y actinomicetos.

Tingo María, 27 de diciembre del 2017

Msc. Victor Manuel Beteta Alvarado

Jefe (e) del Laboratorio Microbiología General - UNAS

## Cuadro 51. Análisis microbiológico del biol T<sub>1</sub>R<sub>2</sub>



# Universidad Nacional Agraria de la Selva Laboratorio de Microbiología General Tingo María

# Servicio de Diagnóstico Microbiológico (Tesis)

Muestra

: BIOL - Biol T<sub>1</sub>R<sub>2</sub>

Procedencia

: SAN PEDRO DE CARPISH - CHINCHAO.

Atención

: LEONARDO JAMES CONCHA OLIVARES.

Fecha recepción

: 05 de Diciembre 2017

Análisis solicitados

Enumeración Microeraniomes

Enumeración Microorganismos Aerobios Viables
Enumeración de Fungi (Mohos y Levaduras)

- Enumeración de Actinomicetos

- Coliformes totales

- Coliformes Termotolerantes (E.coli)

- Investigación de Salmonella

- Investigación de Vibrion choleraea

#### RESULTADOS:

Determinación	Resultado	Valor referencial	
- Enumeración Microorganismos Aerobios Viables	31 x 103 UFC/g	$3 - 7 \times 10^3$ m.o./g	
- Enumeración de Fungi (Mohos y Levaduras)	4 x 103 UFC/g	$1 - 3 \times 10^3$ m.o./g	
- Enumeración de Actinomicetos	15 x 10 <sup>3</sup> UFC/g	$2 - 3 \times 10^3$ m.o./g	
- Numero Más Probable de Coliformes Totales	Ausencia	Ausencia	
- Número Más Probable Coliformes Termotolerantes	Ausencia	Ausencia	
- Investigación de Salmonella	Ausencia / 25g	Ausencia/25 g	
-Investigación de Vibrion choleraea	Ausencia	Ausencia	

### **CONCLUSIONES:**

La muestra analizada presenta un número moderado de microorganismos aerobios viables, fungi y actinomicetos.

Tingo María, 27 de diciembre del 2017

## Cuadro 52. Análisis microbiológico del biol T<sub>1</sub>R<sub>3</sub>



## Universidad Nacional Agraria de la Selva Laboratorio de Microbiología General Tingo María

# Servicio de Diagnóstico Microbiológico (Tesis)

Muestra

: BIOL - Biol T<sub>1</sub>R<sub>3</sub>

Procedencia

: SAN PEDRO DE CARPISH – CHINCHAO.

Atención Fecha recepción ; LEONARDO JAMES CONCHA OLIVARES.

Análisis solicitados :

: 05 de Diciembre 2017

- Enumeración Microorganismos Aerobios Viables

- Enumeración de Fungi (Mohos y Levaduras)

- Enumeración de Actinomicetos

- Coliformes totales

- Coliformes Termotolerantes (E.coli)

- Investigación de Salmonella

- Investigación de Vibrion choleraea

#### RESULTADOS:

Determinación	Resultado	Valor referencial	
- Enumeración Microorganismos Aerobios Viables	28 x 103 UFC/g	$3 - 7 \times 10^3$ m.o./g	
- Enumeración de Fungi (Mohos y Levaduras)	3 x 103 UFC/g	$1 - 3 \times 10^3$ m.o./g	
- Enumeración de Actinomicetos	12 x 103 UFC/g	2 - 3 x 10 <sup>3</sup> m.o./g	
- Numero Más Probable de Coliformes Totales	robable de Coliformes Totales Ausencia		
- Número Más Probable Coliformes Termotolerantes	Ausencia	Ausencia	
- Investigación de Salmonella	Ausencia / 25 g	Ausencia/25 g	
-Investigación de Vibrion choleraea	Ausencia	Ausencia	

#### **CONCLUSIONES:**

La muestra analizada presenta un número moderado de microorganismos aerobios viable, fungi y actinomicetos.

Tingo Maria, 27 de diciembre del 2017

### Cuadro 53. Análisis microbiológico del biol T<sub>2</sub>R<sub>1</sub>



## Universidad Nacional Agraria de la Selva Laboratorio de Microbiología General Tingo María

# Servicio de Diagnóstico Microbiológico (Tesis)

Muestra

: BIOL - Biol T<sub>2</sub>R<sub>1</sub>

Procedencia Atención : SAN PEDRO DE CARPISH – CHINCHAO.

Fecha recepción

: LEONARDO JAMES CONCHA OLIVARES.

Análisis solicitados :

: 05 de Diciembre 2017

- Enumeración Microorganismos Aerobios Viables
  Enumeración de Fungi (Mohos y Levaduras)
- Enumeración de Actinomicetos
- Coliformes totales
- Coliformes Termotolerantes (E.coli)
- Investigación de Salmonella
- Investigación de Vibrion choleraea

#### **RESULTADOS:**

Determinación	Resultado	Valor referencial	
- Enumeración Microorganismos Aerobios Viables	24 x 103 UFC/g	$3 - 7 \times 10^3$ m.o./g	
- Enumeración de Fungi (Mohos y Levaduras)	5 x 10 <sup>3</sup> UFC/g	1 – 3 x 10 <sup>3</sup> m.o./g	
- Enumeración de Actinomicetos	10 x 103 UFC/g	2 - 3 x 10 <sup>3</sup> m.o./g	
- Numero Más Probable de Coliformes Totales	Ausencia	Ausencia	
- Número Más Probable Coliformes Termotolerantes	Ausencia	Ausencia	
- Investigación de Salmonella	Ausencia / 25 g	Ausencia/25 g	
-Investigación de Vibrion choleraea	Ausencia	Ausencia	

#### **CONCLUSIONES:**

La muestra analizada presenta un número moderado de microorganismos aerobios viables, fungi y actinomicetos.

Tingo María, 27 de diciembre del 2017

## Cuadro 54. Análisis microbiológico del biol T<sub>2</sub>R<sub>2</sub>



## Universidad Nacional Agraria de la Selva Laboratorio de Microbiología General Tingo María

## Servicio de Diagnóstico Microbiológico (Tesis)

Muestra

Procedencia Atención

Fecha recepción

: BIOL - Biol T2R2 : SAN PEDRO DE CARPISH - CHINCHAO.

: LEONARDO JAMES CONCHA OLIVARES. : 05 de Diciembre 2017

Análisis solicitados :

- Enumeración Microorganismos Aerobios Viables - Enumeración de Fungi (Mohos y Levaduras)

- Enumeración de Actinomicetos

- Coliformes totales

- Coliformes Termotolerantes (E.coli)

- Investigación de Salmonella

- Investigación de Vibrion choleraea

#### RESULTADOS:

Determinación	Resultado	Valor referencial	
- Enumeración Microorganismos Aerobios Viables	22 x 103 UFC/g	$3 - 7 \times 10^3$ m.o./g	
- Enumeración de Fungi (Mohos y Levaduras)	3 x 10 <sup>3</sup> UFC/g	$1 - 3 \times 10^3$ m.o./g	
- Enumeración de Actinomicetos	12 x 10 <sup>3</sup> UFC/g	$2 - 3 \times 10^3$ m.o./g	
- Numero Más Probable de Coliformes Totales	Ausencia	Ausencia	
- Número Más Probable Coliformes Termotolerantes	Ausencia	Ausencia	
- Investigación de Salmonella	Ausencia / 25 g	Ausencia/25 g	
-Investigación de Vibrion choleraea	Ausencia	Ausencia	

#### **CONCLUSIONES:**

La muestra analizada presenta un número moderado de microorganismos aerobios viables, fungi y actinomicetos.

Tingo María, 27 de diciembre del 2017

Msc. Victor Manuel Beteta Alvarado

Jefe (e) del Laboratorio Microbiología General - UNAS

## Cuadro 55. Análisis microbiológico del biol T<sub>2</sub>R<sub>3</sub>



## Universidad Nacional Agraria de la Selva Laboratorio de Microbiología General Tingo María

# Servicio de Diagnóstico Microbiológico (Tesis)

Muestra

: BIOL - Biol T2R3

Procedencia

: SAN PEDRO DE CARPISH - CHINCHAO.

Atención

: LEONARDO JAMES CONCHA OLIVARES.

Fecha recepción : Análisis solicitados :

: 05 de Diciembre 2017

Enumeración Microorganismos Aerobios Viables
Enumeración de Fungi (Mohos y Levaduras)

- Enumeración de Actinomicetos

- Coliformes totales

- Coliformes Termotolerantes (E.coli)

- Investigación de Salmonella

- Investigación de Vibrion choleraea

#### RESULTADOS:

Determinación	Resultado	Valor referencial	
- Enumeración Microorganismos Aerobios Viables	36 x 103 UFC/g	$3-7 \times 10^3 \text{ m.o./g}$	
- Enumeración de Fungi (Mohos y Levaduras)	2 x 103 UFC/g	$1 - 3 \times 10^3$ m.o./g	
- Enumeración de Actinomicetos	15 x 10 <sup>3</sup> UFC/g	$2 - 3 \times 10^3$ m.o./g	
- Numero Más Probable de Coliformes Totales	Ausencia	Ausencia	
- Número Más Probable Coliformes Termotolerantes	Ausencia	Ausencia	
- Investigación de Salmonella	Ausencia / 25 g	Ausencia/25 g	
-Investigación de Vibrion choleraea	Ausencia	Ausencia	

#### **CONCLUSIONES:**

La muestra analizada presenta un número moderado de microorganismos aerobios viables, fungi y actinomicetos.

Tingo María, 27 de diciembre del 2017

## Cuadro 56. Análisis microbiológico del biol T<sub>3</sub>R<sub>1</sub>



## Universidad Nacional Agraria de la Selva Laboratorio de Microbiología General Tingo María

# Servicio de Diagnóstico Microbiológico (Tesis)

Muestra

Procedencia Atención

Fecha recepción : Análisis solicitados :

: BIOL - Biol T<sub>3</sub>R<sub>1</sub>

: SAN PEDRO DE CARPISH - CHINCHAO. : LEONARDO JAMES CONCHA OLIVARES.

: 05 de Diciembre 2017

- Enumeración Microorganismos Aerobios Viables- Enumeración de Fungi (Mohos y Levaduras)

- Enumeración de Actinomicetos

- Coliformes totales

- Coliformes Termotolerantes (E.coli)

- Investigación de Salmonella

- Investigación de Vibrion choleraea

#### **RESULTADOS:**

Determinación	Resultado	Valor referencial
- Enumeración Microorganismos Aerobios Viables	23 x 103 UFC/g	$3 - 7 \times 10^3 \text{ m.o./g}$
- Enumeración de Fungi (Mohos y Levaduras)	4 x 103 UFC/g	$1 - 3 \times 10^3$ m.o./g
- Enumeración de Actinomicetos	11 x 103 UFC/g	$2 - 3 \times 10^3$ m.o./g
- Numero Más Probable de Coliformes Totales	Ausencia	Ausencia
- Número Más Probable Coliformes Termotolerantes	Ausencia	Ausencia
- Investigación de Salmonella	Ausencia / 25g	Ausencia/25 g
-Investigación de Vibrion choleraea	Ausencia	Ausencia

#### **CONCLUSIONES:**

La muestra analizada presenta un número moderado de microorganismos aerobios viables, fungi y actinomicetos.

Tingo María, 27 de diciembre del 2017

## Cuadro 57. Análisis microbiológico del biol T<sub>3</sub>R<sub>2</sub>



## Universidad Nacional Agraria de la Selva Laboratorio de Microbiología General Tingo María

### Servicio de Diagnóstico Microbiológico (Tesis)

Muestra

Procedencia

Atención Fecha recepción Análisis solicitados :

: BIOL - Biol T<sub>3</sub>R<sub>2</sub>

: SAN PEDRO DE CARPISH - CHINCHAO. : LEONARDO JAMES CONCHA OLIVARES.

: 05 de Diciembre 2017

- Enumeración Microorganismos Aerobios Viables - Enumeración de Fungi (Mohos y Levaduras)

- Enumeración de Actinomicetos

- Coliformes totales

- Coliformes Termotolerantes (E.coli)

- Investigación de Salmonella

- Investigación de Vibrion choleraea

#### **RESULTADOS:**

Determinación	Resultado	Valor referencial	
- Enumeración Microorganismos Aerobios Viables	33 x 103 UFC/g	$3-7 \times 10^3 \text{ m.o./g}$	
- Enumeración de Fungi (Mohos y Levaduras)	3 x 10 <sup>3</sup> UFC/g	$1 - 3 \times 10^3$ m.o./g	
- Enumeración de Actinomicetos	9 x 10 <sup>3</sup> UFC/g	2 – 3 x 10 <sup>3</sup> m.o./g	
- Numero Más Probable de Coliformes Totales	Ausencia	Ausencia	
- Número Más Probable Coliformes Termotolerantes	Ausencia	Ausencia	
- Investigación de Salmonella	Ausencia / 25g	Ausencia/25 g	
-Investigación de Vibrion choleraea	Ausencia	Ausencia	

#### **CONCLUSIONES:**

La muestra analizada presenta un número moderado de microorganismos aerobios, fungi y actinomicetos.

Tingo María, 27 de diciembre del 2017

## Cuadro 58. Análisis microbiológico del biol T<sub>3</sub>R<sub>3.</sub>



## Universidad Nacional Agraria de la Selva Laboratorio de Microbiología General Tingo María

# Servicio de Diagnóstico Microbiológico (Tesis)

Muestra

: BIOL - Biol T<sub>3</sub>R<sub>3</sub>

Procedencia

: SAN PEDRO DE CARPISH - CHINCHAO.

Atención Fecha recepción : LEONARDO JAMES CONCHA OLIVARES.

Análisis solicitados :

: 05 de Diciembre 2017

Enumeración Microorganismos Aerobios Viables
Enumeración de Fungi (Mohos y Levaduras)

- Enumeración de Actinomicetos

- Coliformes totales

- Coliformes Termotolerantes (E.coli)

- Investigación de Salmonella

- Investigación de Vibrion choleraea

#### **RESULTADOS:**

Determinación	Resultado	Valor referencial	
- Enumeración Microorganismos Aerobios Viables	16 x 103 UFC/g	$3 - 7 \times 10^3$ m.o./g	
- Enumeración de Fungi (Mohos y Levaduras)	2 x 10 <sup>3</sup> UFC/g	$1 - 3 \times 10^3$ m.o./g	
- Enumeración de Actinomicetos	5 x 10 <sup>3</sup> UFC/g	$2 - 3 \times 10^3$ m.o./g	
- Numero Más Probable de Coliformes Totales	Ausencia	Ausencia	
- Número Más Probable Coliformes Termotolerantes	Ausencia	Ausencia	
- Investigación de Salmonella	Ausencia / 25g	Ausencia/25 g	
-Investigación de Vibrion choleraea	Ausencia	Ausencia	

### **CONCLUSIONES:**

La muestra analizada presenta un número moderado de microorganismos aerobios viables, fungi y actinomicetos.

Tingo María, 27 de diciembre del 2017

Msc. Victor Manuel Beteta Alvarado

Jefe (e) del Laboratorio Microbiología General – UNAS

Cuadro 59. Aislamiento e identificación de microorganismos en el biol.



# Universidad Nacional Agraria de la Selva Laboratorio de Microbiología General Tingo María

# Servicio de Diagnóstico Microbiológico (Tesis)

Muestra

: BIOL  $(T_0R_1, T_0R_2, T_0R_3, T_1R_1, T_1R_2, T_1R_3, T_2R_1, T_2R_2, T_2R_3, T_3R_1, T_3R_2, T_3R_3)$ 

Procedencia

: SAN PEDRO DE CARPISH – CHINCHAO

Atención a

: LEONARDO JAMES CONCHA OLIVARES

Fecha recepción

: 05 de Diciembre 2017

Análisis solicitados:

- Aislamiento e identificación de microorganismos.

## Microorganismos aislados:

**Bacterias** 

Bacillus sp., Staphylococcus aureus.

Actinomicetos

Actinomyces sp.

Fungi

Aspergillus sp., Penincilium sp.

**CONCLUSIONES:** Las muestras analizadas presentan un alto número de microorganismos heterótrofos aerobios, actinomicetos y fungi.

Tingo María, 27 de diciembre de 2017

Msc. Victor Manuel Beteta Alvarado

Jefe (e) del Laboratorio Microbiología General - UNAS





Figura 26. Recolección de vísceras de truchas de los criaderos piscícolas de San Pedro de Carpish,



Figura 27. Instalación de los biodigestores en el local comunal de San Pedro de Carpish.



Figura 28. Instalación de los biodigestores con los tratamientos en evaluación en el local comunal de San Pedro de Carpish.



Figura 29. Monitoreo del pH en los distintos tratamientos en evaluación.



Figura 30. Monitoreo de temperatura en los distintos tratamientos en evaluación.



Figura 31. Obtención de muestras para los análisis de microorganismos y nutrientes.



Figura 32. Análisis de microbiológico (Coliformes totales)



Figura 33. Análisis de microbiológico (Microorganismos aerobios viables)

ANEXO C – Presupuesto detallado para la producción de biol

Cuadro 60. Precios y cantidades de recursos requeridos.

Código	Descripción	Unidad	Cuadrilla	Cantidad	Precio S/.	Parcial S/.
			MANO	DE OBRA		
147000080	Supervisor	DIA	1.0000	0.125	70.00	8.75
147010135	Peon para trabajo agrícola	DIA	1.0000	2.250	50.00	112.50

# S/121.25

			MATERIALES		
147010177 5	Ceniza	KG	0.430	1.00	0.43
15252323	Pegamento	LT	0.500	3.00	1.50
41141352	Malla para filtro	M	0.500	2.00	1.00
14132456	Etiqueta	UND	15.000	0.10	1.50
147010181 8	Leche	LT	0.570	3.00	1.71
147010852 2	Melaza	LT	0.280	3.00	0.84
147010187 7	Agua	LT	8.500	2.00	17.00
147016114 4	Humus	KG	1.430	1.00	1.43

	Vísceras de trucha	LT	8	.500	1.00	8.50
						S/ 33.91
			EQUIPOS	3		
41251414	Balde de 20 Lts	UND	1	.000	7.00	7.00
553157232	Balanza	UND	1	.000	20.00	20.00
513572121	Jarra de plastico de 3 Lts	UND	1	.000	3.00	3.00
41241245	Manguera transparente 1/2"	M	1	.000	1.00	1.00
41241256	Silicona	UND	1	.000	3.00	3.00
31531663	Botella de plastico de 1Lt	UND	O	.200	1.00	0.20
87412525	Botella para enbasar de 1 Lt	UND	15	.000	0.20	3.00
						S/37.20
					Total	S/192.36

Cuadro 61. Análisis de precios unitarios

Partida	01.01	RECOLECCIÓN DE MATERIA PRIMA E INSUMOS				S/ 56.11	
Rendimiento	UND/DIA	M.O 8.0		E.Q.8.00			
Codigo	Descripcion	Unidad	Cuadrilla	Cantidad	Precio S/.	Parcial S/.	
	MANO DE OBRA						
147000080	Supervisor	DIA	1.0000	0.125	70.00	8.75	
147010135	Peon para trabajo agricola	DIA	1.0000	0.125	50.00	6.25	
						S/ 15.00	
		М	ATERIALES	5			
1470101775	Ceniza	KG		0.43	1.00	0.43	
1470101818	Leche	LT		0.57	3.00	1.71	
1470108522	Melaza	LT		0.28	3.00	0.84	
1470101877	Agua	LT		8.50	2.00	17.00	
1470161144	Humus	KG		1.43	1.00	1.43	
1470101463	Visceras de trucha	LT		8.50	1.00	8.50	
						S/ 9.91	
			EQUIPOS				

Rendimiento						
Dandimianta	UND/DIA	M.O 8.0 E.Q.8.0		50.00		
Partida	01.03 MADURACIÓN					S/
513572121	Jarra de plástico de 3 Lts	UND		1.000	3.00	3.00
553157232	Balanza	UND		1.000	20.00	20.00
	EQUIPOS					
147010135	Peón para trabajo agrícola	DIA	1.0000	1.0000	50.00	50.00
		МА				
Código	Descripción	Unidad	Cuadrilla	Cantidad	Precio S/.	Parcial S/.
Rendimiento	UND/DIA	M.O 8.0		E.Q.8.00		50.00
Partida	01.02	DOSIFICACIÓN		S/		
						S/11.20
31531663	Botella de plástico de 1Lt	UND		0.200	1.00	0.20
41241256	Silicona	UND		1.000	3.00	3.00
41241245	Manguera transparente 1/2"	M		1.000	1.00	1.00
41251414	Balde de 20 Lts	UND		1.000	7.00	7.00

	MANO DE OBRA						
147010135	Peón para trabajo agricola	DIA	1.0000	1.0000	50.00	50.00	
Partida	01.04 ENVASADO Y ETIQUETADO						
Rendimiento	UND/DIA	M.O 8.0		E.Q.8.0		- S/ 13.25	
Código	Descripcion	Unidad	Cuadrilla	Cantidad	Precio S/.	Parcial S/.	
		МА	NO DE OBR	RA			
147010135	Peón para trabajo agrícola	DIA	1.0000	0.1250	50.00	6.25	
						6.25	
		М	ATERIALES	5			
15252323	Pegamento	LT		0.500	3.00	1.50	
41141352	Malla para filtro	М		0.500	2.00	1.00	
14132456	Etiqueta	UND		15.000	0.10	1.50	
						4.00	
			EQUIPOS				
87412525	Botella para envasar de 1 Lt	UND		15.000	0.20	3.00	
						3.00	